

Luís Eduardo de Souza Robaina  
Romario Trentin  
Sandro Sidnei Vargas de Cristo  
Igor da Silva Knierin  
Anderson Augusto Volpato Scotti  
Carina Petsch  
Franciele Delevati Ben  
Giorge Gabriel Schnorr

# Série Atlas Municipais: Atlas Geoambiental de São Francisco de Assis



Luís Eduardo de Souza Robaina  
Romario Trentin  
Sandro Sidnei Vargas de Cristo  
Igor da Silva Knierin  
Anderson Augusto Volpato Scotti  
Carina Petsch  
Franciele Delevati Ben  
Giorge Gabriel Schnorr

# Série Atlas Municipais: Atlas Geoambiental de São Francisco de Assis

**Atena**  
Editora  
Ano 2021

**Editora Chefe**

Profª Drª Antonella Carvalho de Oliveira

**Assistentes Editoriais**

Natalia Oliveira

Bruno Oliveira

Flávia Roberta Barão

**Bibliotecária**

Janaina Ramos

**Projeto Gráfico e Diagramação**

Natália Sandrini de Azevedo

Camila Alves de Cremonesi

Luiza Alves Batista

Maria Alice Pinheiro

**Imagens da Capa**

Shutterstock

**Edição de Arte**

Luiza Alves Batista

**Revisão**

Os Autores

2021 by Atena Editora

Copyright © Atena Editora

Copyright do Texto © 2021 Os autores

Copyright da Edição © 2021 Atena Editora

Direitos para esta edição cedidos à Atena

Editora pelos autores.



Todo o conteúdo deste livro está licenciado sob uma Licença de Atribuição *Creative Commons*. Atribuição-Não-Comercial-NãoDerivativos 4.0 Internacional (CC BY-NC-ND 4.0).

O conteúdo dos artigos e seus dados em sua forma, correção e confiabilidade são de responsabilidade exclusiva dos autores, inclusive não representam necessariamente a posição oficial da Atena Editora. Permitido o *download* da obra e o compartilhamento desde que sejam atribuídos créditos aos autores, mas sem a possibilidade de alterá-la de nenhuma forma ou utilizá-la para fins comerciais.

Todos os manuscritos foram previamente submetidos à avaliação cega pelos pares, membros do Conselho Editorial desta Editora, tendo sido aprovados para a publicação com base em critérios de neutralidade e imparcialidade acadêmica.

A Atena Editora é comprometida em garantir a integridade editorial em todas as etapas do processo de publicação, evitando plágio, dados ou resultados fraudulentos e impedindo que interesses financeiros comprometam os padrões éticos da publicação. Situações suspeitas de má conduta científica serão investigadas sob o mais alto padrão de rigor acadêmico e ético.

**Conselho Editorial**

**Ciências Humanas e Sociais Aplicadas**

Prof. Dr. Alexandre Jose Schumacher – Instituto Federal de Educação, Ciência e Tecnologia do Paraná

Prof. Dr. Américo Junior Nunes da Silva – Universidade do Estado da Bahia

Prof. Dr. Antonio Carlos Frasson – Universidade Tecnológica Federal do Paraná

Prof. Dr. Antonio Gasparetto Júnior – Instituto Federal do Sudeste de Minas Gerais  
Prof. Dr. Antonio Isidro-Filho – Universidade de Brasília  
Prof. Dr. Carlos Antonio de Souza Moraes – Universidade Federal Fluminense  
Prof. Dr. Crisóstomo Lima do Nascimento – Universidade Federal Fluminense  
Profª Drª Cristina Gaio – Universidade de Lisboa  
Prof. Dr. Daniel Richard Sant’Ana – Universidade de Brasília  
Prof. Dr. Deyvison de Lima Oliveira – Universidade Federal de Rondônia  
Profª Drª Dilma Antunes Silva – Universidade Federal de São Paulo  
Prof. Dr. Edvaldo Antunes de Farias – Universidade Estácio de Sá  
Prof. Dr. Elson Ferreira Costa – Universidade do Estado do Pará  
Prof. Dr. Eloi Martins Senhora – Universidade Federal de Roraima  
Prof. Dr. Gustavo Henrique Cepolini Ferreira – Universidade Estadual de Montes Claros  
Profª Drª Ivone Goulart Lopes – Istituto Internazionele delle Figlie de Maria Ausiliatrice  
Prof. Dr. Jadson Correia de Oliveira – Universidade Católica do Salvador  
Prof. Dr. Julio Candido de Meirelles Junior – Universidade Federal Fluminense  
Profª Drª Lina Maria Gonçalves – Universidade Federal do Tocantins  
Prof. Dr. Luis Ricardo Fernandes da Costa – Universidade Estadual de Montes Claros  
Profª Drª Natiéli Piovesan – Instituto Federal do Rio Grande do Norte  
Prof. Dr. Marcelo Pereira da Silva – Pontifícia Universidade Católica de Campinas  
Profª Drª Maria Luzia da Silva Santana – Universidade Federal de Mato Grosso do Sul  
Profª Drª Paola Andressa Scortegagna – Universidade Estadual de Ponta Grossa  
Profª Drª Rita de Cássia da Silva Oliveira – Universidade Estadual de Ponta Grossa  
Prof. Dr. Rui Maia Diamantino – Universidade Salvador  
Prof. Dr. Urandi João Rodrigues Junior – Universidade Federal do Oeste do Pará  
Profª Drª Vanessa Bordin Viera – Universidade Federal de Campina Grande  
Prof. Dr. William Cleber Domingues Silva – Universidade Federal Rural do Rio de Janeiro  
Prof. Dr. Willian Douglas Guilherme – Universidade Federal do Tocantins

#### **Ciências Agrárias e Multidisciplinar**

Prof. Dr. Alexandre Igor Azevedo Pereira – Instituto Federal Goiano  
Profª Drª Carla Cristina Bauermann Brasil – Universidade Federal de Santa Maria  
Prof. Dr. Antonio Pasqualetto – Pontifícia Universidade Católica de Goiás  
Prof. Dr. Cleberton Correia Santos – Universidade Federal da Grande Dourados  
Profª Drª Daiane Garabeli Trojan – Universidade Norte do Paraná  
Profª Drª Diocléa Almeida Seabra Silva – Universidade Federal Rural da Amazônia  
Prof. Dr. Écio Souza Diniz – Universidade Federal de Viçosa  
Prof. Dr. Fábio Steiner – Universidade Estadual de Mato Grosso do Sul  
Prof. Dr. Fágner Cavalcante Patrocínio dos Santos – Universidade Federal do Ceará  
Profª Drª Girlene Santos de Souza – Universidade Federal do Recôncavo da Bahia  
Prof. Dr. Jael Soares Batista – Universidade Federal Rural do Semi-Árido  
Prof. Dr. Júlio César Ribeiro – Universidade Federal Rural do Rio de Janeiro  
Profª Drª Lina Raquel Santos Araújo – Universidade Estadual do Ceará  
Prof. Dr. Pedro Manuel Villa – Universidade Federal de Viçosa  
Profª Drª Raissa Rachel Salustriano da Silva Matos – Universidade Federal do Maranhão  
Prof. Dr. Ronilson Freitas de Souza – Universidade do Estado do Pará  
Profª Drª Talita de Santos Matos – Universidade Federal Rural do Rio de Janeiro  
Prof. Dr. Tiago da Silva Teófilo – Universidade Federal Rural do Semi-Árido

Prof. Dr. Valdemar Antonio Paffaro Junior – Universidade Federal de Alfenas

### **Ciências Biológicas e da Saúde**

Prof. Dr. André Ribeiro da Silva – Universidade de Brasília

Prof<sup>a</sup> Dr<sup>a</sup> Anelise Levay Murari – Universidade Federal de Pelotas

Prof. Dr. Benedito Rodrigues da Silva Neto – Universidade Federal de Goiás

Prof<sup>a</sup> Dr<sup>a</sup> Débora Luana Ribeiro Pessoa – Universidade Federal do Maranhão

Prof. Dr. Douglas Siqueira de Almeida Chaves – Universidade Federal Rural do Rio de Janeiro

Prof. Dr. Edson da Silva – Universidade Federal dos Vales do Jequitinhonha e Mucuri

Prof<sup>a</sup> Dr<sup>a</sup> Elizabeth Cordeiro Fernandes – Faculdade Integrada Medicina

Prof<sup>a</sup> Dr<sup>a</sup> Eleuza Rodrigues Machado – Faculdade Anhanguera de Brasília

Prof<sup>a</sup> Dr<sup>a</sup> Elane Schwinden Prudêncio – Universidade Federal de Santa Catarina

Prof<sup>a</sup> Dr<sup>a</sup> Eysler Gonçalves Maia Brasil – Universidade da Integração Internacional da Lusofonia Afro-Brasileira

Prof. Dr. Ferlando Lima Santos – Universidade Federal do Recôncavo da Bahia

Prof. Dr. Fernando Mendes – Instituto Politécnico de Coimbra – Escola Superior de Saúde de Coimbra

Prof<sup>a</sup> Dr<sup>a</sup> Gabriela Vieira do Amaral – Universidade de Vassouras

Prof. Dr. Gianfábio Pimentel Franco – Universidade Federal de Santa Maria

Prof. Dr. Helio Franklin Rodrigues de Almeida – Universidade Federal de Rondônia

Prof<sup>a</sup> Dr<sup>a</sup> Iara Lúcia Tescarollo – Universidade São Francisco

Prof. Dr. Igor Luiz Vieira de Lima Santos – Universidade Federal de Campina Grande

Prof. Dr. Jefferson Thiago Souza – Universidade Estadual do Ceará

Prof. Dr. Jesus Rodrigues Lemos – Universidade Federal do Piauí

Prof. Dr. Jônatas de França Barros – Universidade Federal do Rio Grande do Norte

Prof. Dr. José Max Barbosa de Oliveira Junior – Universidade Federal do Oeste do Pará

Prof. Dr. Luís Paulo Souza e Souza – Universidade Federal do Amazonas

Prof<sup>a</sup> Dr<sup>a</sup> Magnólia de Araújo Campos – Universidade Federal de Campina Grande

Prof. Dr. Marcus Fernando da Silva Praxedes – Universidade Federal do Recôncavo da Bahia

Prof<sup>a</sup> Dr<sup>a</sup> Maria Tatiane Gonçalves Sá – Universidade do Estado do Pará

Prof<sup>a</sup> Dr<sup>a</sup> Mylena Andréa Oliveira Torres – Universidade Ceuma

Prof<sup>a</sup> Dr<sup>a</sup> Natiéli Piovesan – Instituto Federaci do Rio Grande do Norte

Prof. Dr. Paulo Inada – Universidade Estadual de Maringá

Prof. Dr. Rafael Henrique Silva – Hospital Universitário da Universidade Federal da Grande Dourados

Prof<sup>a</sup> Dr<sup>a</sup> Regiane Luz Carvalho – Centro Universitário das Faculdades Associadas de Ensino

Prof<sup>a</sup> Dr<sup>a</sup> Renata Mendes de Freitas – Universidade Federal de Juiz de Fora

Prof<sup>a</sup> Dr<sup>a</sup> Vanessa Lima Gonçalves – Universidade Estadual de Ponta Grossa

Prof<sup>a</sup> Dr<sup>a</sup> Vanessa Bordin Viera – Universidade Federal de Campina Grande

### **Ciências Exatas e da Terra e Engenharias**

Prof. Dr. Adélio Alcino Sampaio Castro Machado – Universidade do Porto

Prof. Dr. Carlos Eduardo Sanches de Andrade – Universidade Federal de Goiás

Prof<sup>a</sup> Dr<sup>a</sup> Carmen Lúcia Voigt – Universidade Norte do Paraná

Prof. Dr. Cleiseano Emanuel da Silva Paniagua – Instituto Federal de Educação, Ciência e Tecnologia de Goiás

Prof. Dr. Douglas Gonçalves da Silva – Universidade Estadual do Sudoeste da Bahia

Prof. Dr. Eloi Rufato Junior – Universidade Tecnológica Federal do Paraná  
Profª Drª Érica de Melo Azevedo – Instituto Federal do Rio de Janeiro  
Prof. Dr. Fabrício Menezes Ramos – Instituto Federal do Pará  
Profª Dra. Jéssica Verger Nardeli – Universidade Estadual Paulista Júlio de Mesquita Filho  
Prof. Dr. Juliano Carlo Rufino de Freitas – Universidade Federal de Campina Grande  
Profª Drª Luciana do Nascimento Mendes – Instituto Federal de Educação, Ciência e Tecnologia do Rio Grande do Norte  
Prof. Dr. Marcelo Marques – Universidade Estadual de Maringá  
Prof. Dr. Marco Aurélio Kistemann Junior – Universidade Federal de Juiz de Fora  
Profª Drª Neiva Maria de Almeida – Universidade Federal da Paraíba  
Profª Drª Natiéli Piovesan – Instituto Federal do Rio Grande do Norte  
Profª Drª Priscila Tessmer Scaglioni – Universidade Federal de Pelotas  
Prof. Dr. Takeshy Tachizawa – Faculdade de Campo Limpo Paulista

### **Linguística, Letras e Artes**

Profª Drª Adriana Demite Stephani – Universidade Federal do Tocantins  
Profª Drª Angeli Rose do Nascimento – Universidade Federal do Estado do Rio de Janeiro  
Profª Drª Carolina Fernandes da Silva Mandaji – Universidade Tecnológica Federal do Paraná  
Profª Drª Denise Rocha – Universidade Federal do Ceará  
Prof. Dr. Fabiano Tadeu Grazioli – Universidade Regional Integrada do Alto Uruguai e das Missões  
Prof. Dr. Gilmei Fleck – Universidade Estadual do Oeste do Paraná  
Profª Drª Keyla Christina Almeida Portela – Instituto Federal de Educação, Ciência e Tecnologia do Paraná  
Profª Drª Miranilde Oliveira Neves – Instituto de Educação, Ciência e Tecnologia do Pará  
Profª Drª Sandra Regina Gardacho Pietrobon – Universidade Estadual do Centro-Oeste  
Profª Drª Sheila Marta Carregosa Rocha – Universidade do Estado da Bahia

### **Conselho Técnico Científico**

Prof. Me. Abraão Carvalho Nogueira – Universidade Federal do Espírito Santo  
Prof. Me. Adalberto Zorzo – Centro Estadual de Educação Tecnológica Paula Souza  
Prof. Dr. Adaylson Wagner Sousa de Vasconcelos – Ordem dos Advogados do Brasil/Secconal Paraíba  
Prof. Dr. Adilson Tadeu Basquerote Silva – Universidade para o Desenvolvimento do Alto Vale do Itajaí  
Prof. Dr. Alex Luis dos Santos – Universidade Federal de Minas Gerais  
Prof. Me. Alexsandro Teixeira Ribeiro – Centro Universitário Internacional  
Profª Ma. Aline Ferreira Antunes – Universidade Federal de Goiás  
Prof. Me. André Flávio Gonçalves Silva – Universidade Federal do Maranhão  
Profª Ma. Andréa Cristina Marques de Araújo – Universidade Fernando Pessoa  
Profª Drª Andreza Lopes – Instituto de Pesquisa e Desenvolvimento Acadêmico  
Profª Drª Andreza Miguel da Silva – Faculdade da Amazônia  
Profª Ma. Anelisa Mota Gregoleti – Universidade Estadual de Maringá  
Profª Ma. Anne Karynne da Silva Barbosa – Universidade Federal do Maranhão  
Prof. Dr. Antonio Hot Pereira de Faria – Polícia Militar de Minas Gerais  
Prof. Me. Armando Dias Duarte – Universidade Federal de Pernambuco  
Profª Ma. Bianca Camargo Martins – UniCesumar

Profª Ma. Carolina Shimomura Nanya – Universidade Federal de São Carlos  
Prof. Me. Carlos Antônio dos Santos – Universidade Federal Rural do Rio de Janeiro  
Prof. Me. Christopher Smith Bignardi Neves – Universidade Federal do Paraná  
Prof. Ma. Cláudia de Araújo Marques – Faculdade de Música do Espírito Santo  
Profª Drª Cláudia Taís Siqueira Cagliari – Centro Universitário Dinâmica das Cataratas  
Prof. Me. Clécio Danilo Dias da Silva – Universidade Federal do Rio Grande do Norte  
Prof. Me. Daniel da Silva Miranda – Universidade Federal do Pará  
Profª Ma. Daniela da Silva Rodrigues – Universidade de Brasília  
Profª Ma. Daniela Remião de Macedo – Universidade de Lisboa  
Profª Ma. Dayane de Melo Barros – Universidade Federal de Pernambuco  
Prof. Me. Douglas Santos Mezacas – Universidade Estadual de Goiás  
Prof. Me. Edevaldo de Castro Monteiro – Embrapa Agrobiologia  
Prof. Me. Eduardo Gomes de Oliveira – Faculdades Unificadas Doctum de Cataguases  
Prof. Me. Eduardo Henrique Ferreira – Faculdade Pitágoras de Londrina  
Prof. Dr. Edwaldo Costa – Marinha do Brasil  
Prof. Me. Eliel Constantino da Silva – Universidade Estadual Paulista Júlio de Mesquita  
Prof. Me. Ernane Rosa Martins – Instituto Federal de Educação, Ciência e Tecnologia de Goiás  
Prof. Me. Euvaldo de Sousa Costa Junior – Prefeitura Municipal de São João do Piauí  
Prof. Dr. Everaldo dos Santos Mendes – Instituto Edith Theresa Hedwing Stein  
Prof. Me. Ezequiel Martins Ferreira – Universidade Federal de Goiás  
Profª Ma. Fabiana Coelho Couto Rocha Corrêa – Centro Universitário Estácio Juiz de Fora  
Prof. Me. Fabiano Eloy Atílio Batista – Universidade Federal de Viçosa  
Prof. Me. Felipe da Costa Negrão – Universidade Federal do Amazonas  
Prof. Me. Francisco Odécio Sales – Instituto Federal do Ceará  
Profª Drª Germana Ponce de Leon Ramírez – Centro Universitário Adventista de São Paulo  
Prof. Me. Gevair Campos – Instituto Mineiro de Agropecuária  
Prof. Me. Givanildo de Oliveira Santos – Secretaria da Educação de Goiás  
Prof. Dr. Guilherme Renato Gomes – Universidade Norte do Paraná  
Prof. Me. Gustavo Krahl – Universidade do Oeste de Santa Catarina  
Prof. Me. Helton Rangel Coutinho Junior – Tribunal de Justiça do Estado do Rio de Janeiro  
Profª Ma. Isabelle Cerqueira Sousa – Universidade de Fortaleza  
Profª Ma. Jaqueline Oliveira Rezende – Universidade Federal de Uberlândia  
Prof. Me. Javier Antonio Albornoz – University of Miami and Miami Dade College  
Prof. Me. Jhonatan da Silva Lima – Universidade Federal do Pará  
Prof. Dr. José Carlos da Silva Mendes – Instituto de Psicologia Cognitiva, Desenvolvimento Humano e Social  
Prof. Me. Jose Elyton Batista dos Santos – Universidade Federal de Sergipe  
Prof. Me. José Luiz Leonardo de Araujo Pimenta – Instituto Nacional de Investigación Agropecuaria Uruguay  
Prof. Me. José Messias Ribeiro Júnior – Instituto Federal de Educação Tecnológica de Pernambuco  
Profª Drª Juliana Santana de Curcio – Universidade Federal de Goiás  
Profª Ma. Juliana Thaisa Rodrigues Pacheco – Universidade Estadual de Ponta Grossa  
Profª Drª Kamilly Souza do Vale – Núcleo de Pesquisas Fenomenológicas/UFGA  
Prof. Dr. Kárpio Márcio de Siqueira – Universidade do Estado da Bahia  
Profª Drª Karina de Araújo Dias – Prefeitura Municipal de Florianópolis

Prof. Dr. Lázaro Castro Silva Nascimento – Laboratório de Fenomenologia & Subjetividade/UFPR

Prof. Me. Leonardo Tullio – Universidade Estadual de Ponta Grossa

Profª Ma. Lilian Coelho de Freitas – Instituto Federal do Pará

Profª Ma. Liliani Aparecida Sereno Fontes de Medeiros – Consórcio CEDERJ

Profª Drª Lívia do Carmo Silva – Universidade Federal de Goiás

Prof. Dr. Lucio Marques Vieira Souza – Secretaria de Estado da Educação, do Esporte e da Cultura de Sergipe

Prof. Dr. Luan Vinicius Bernardelli – Universidade Estadual do Paraná

Profª Ma. Luana Ferreira dos Santos – Universidade Estadual de Santa Cruz

Profª Ma. Luana Vieira Toledo – Universidade Federal de Viçosa

Prof. Me. Luis Henrique Almeida Castro – Universidade Federal da Grande Dourados

Profª Ma. Luma Sarai de Oliveira – Universidade Estadual de Campinas

Prof. Dr. Michel da Costa – Universidade Metropolitana de Santos

Prof. Me. Marcelo da Fonseca Ferreira da Silva – Governo do Estado do Espírito Santo

Prof. Dr. Marcelo Máximo Purificação – Fundação Integrada Municipal de Ensino Superior

Prof. Me. Marcos Aurelio Alves e Silva – Instituto Federal de Educação, Ciência e Tecnologia de São Paulo

Profª Ma. Maria Elanny Damasceno Silva – Universidade Federal do Ceará

Profª Ma. Marileila Marques Toledo – Universidade Federal dos Vales do Jequitinhonha e Mucuri

Prof. Me. Pedro Panhoca da Silva – Universidade Presbiteriana Mackenzie

Profª Drª Poliana Arruda Fajardo – Universidade Federal de São Carlos

Prof. Me. Ricardo Sérgio da Silva – Universidade Federal de Pernambuco

Prof. Me. Renato Faria da Gama – Instituto Gama – Medicina Personalizada e Integrativa

Profª Ma. Renata Luciane Polsaque Young Blood – UniSecal

Prof. Me. Robson Lucas Soares da Silva – Universidade Federal da Paraíba

Prof. Me. Sebastião André Barbosa Junior – Universidade Federal Rural de Pernambuco

Profª Ma. Silene Ribeiro Miranda Barbosa – Consultoria Brasileira de Ensino, Pesquisa e Extensão

Profª Ma. Solange Aparecida de Souza Monteiro – Instituto Federal de São Paulo

Profª Ma. Taiane Aparecida Ribeiro Nepomoceno – Universidade Estadual do Oeste do Paraná

Prof. Me. Tallys Newton Fernandes de Matos – Faculdade Regional Jaguaribana

Profª Ma. Thatianny Jasmine Castro Martins de Carvalho – Universidade Federal do Piauí

Prof. Me. Tiago Silvio Dedoné – Colégio ECEL Positivo

Prof. Dr. Welleson Feitosa Gazel – Universidade Paulista



## Série atlas municipais: atlas geoambiental de São Francisco de Assis

**Editora Chefe:** Profª Drª Antonella Carvalho de Oliveira  
**Bibliotecária:** Janaina Ramos  
**Diagramação:** Camila Alves de Cremo  
**Correção:** Vanessa Mottin de Oliveira Batista  
**Edição de Arte:** Luiza Alves Batista  
**Revisão:** Os Autores  
**Autores:** Luís Eduardo de Souza Robaina  
Romario Trentin  
Sandro Sidnei Vargas de Cristo  
Igor da Silva Knierin  
Anderson Augusto Volpato Scoti  
Carina Petsch  
Franciele Delevati Ben  
George Gabriel Schnorr

### Dados Internacionais de Catalogação na Publicação (CIP)

S485 Série atlas municipais: atlas geoambiental de São Francisco de Assis / Luís Eduardo de Souza Robaina, Romario Trentin, Sandro Sidnei Vargas de Cristo, Igor da Silva Knierin, Anderson Augusto Volpato Scoti, Carina Petsch, Franciele Delevati Ben, George Gabriel Schnorr – Ponta Grossa - PR: Atena, 2021.

Formato: PDF

Requisitos de sistema: Adobe Acrobat Reader

Modo de acesso: World Wide Web

Inclui bibliografia

ISBN 978-65-5706-797-0

DOI 10.22533/at.ed.970212701

1. Atlas Geográfico. 2. Mapas. 3. Mapeamento Geoambiental. I. Robaina, Luís Eduardo de Souza. II. Trentin, Romario. III. Cristo, Sandro Sidnei Vargas de. IV. Título.

CDD 912

Elaborado por Bibliotecária Janaina Ramos – CRB-8/9166

### Atena Editora

Ponta Grossa – Paraná – Brasil

Telefone: +55 (42) 3323-5493

[www.atenaeditora.com.br](http://www.atenaeditora.com.br)

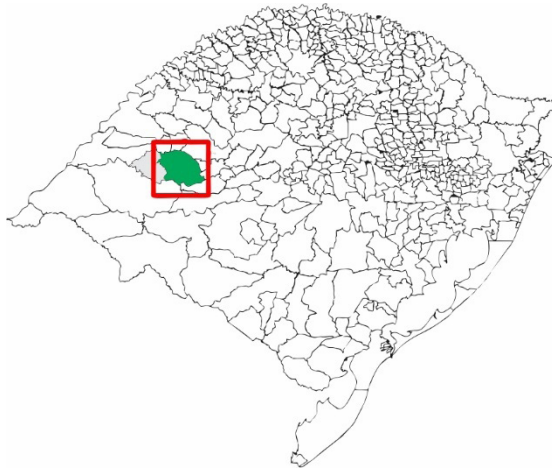
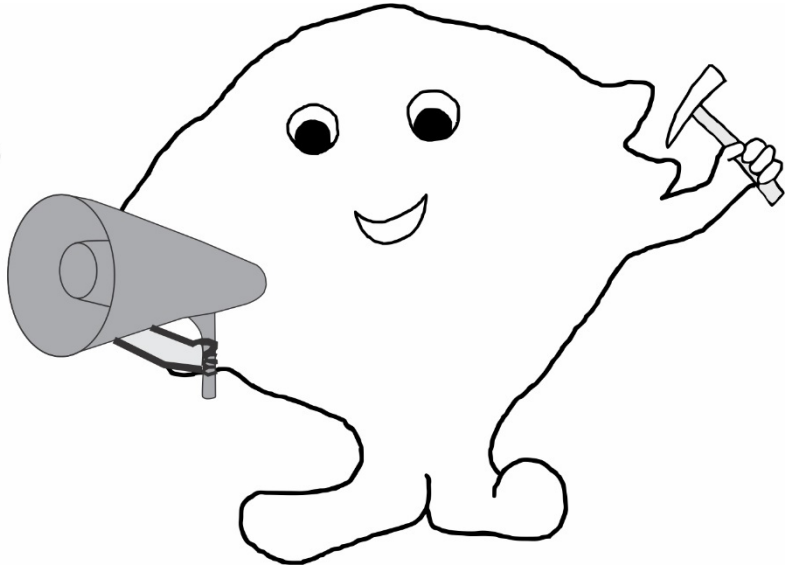
[contato@atenaeditora.com.br](mailto:contato@atenaeditora.com.br)

## DECLARAÇÃO DOS AUTORES

Os autores desta obra: 1. Atestam não possuir qualquer interesse comercial que constitua um conflito de interesses em relação ao artigo científico publicado; 2. Declaram que participaram ativamente da construção dos respectivos manuscritos, preferencialmente na: a) Concepção do estudo, e/ou aquisição de dados, e/ou análise e interpretação de dados; b) Elaboração do artigo ou revisão com vistas a tornar o material intelectualmente relevante; c) Aprovação final do manuscrito para submissão.; 3. Certificam que os artigos científicos publicados estão completamente isentos de dados e/ou resultados fraudulentos; 4. Confirmam a citação e a referência correta de todos os dados e de interpretações de dados de outras pesquisas; 5. Reconhecem terem informado todas as fontes de financiamento recebidas para a consecução da pesquisa.

# APRESENTAÇÃO

São Francisco  
de Assis



## **Introdução**

O Laboratório de Geologia Ambiental da Universidade Federal de Santa Maria (LAGEOLAM – UFSM) vem desenvolvendo uma série de Atlas Geoambientais dos municípios do centro-oeste do estado do Rio Grande do Sul estabelecendo um trabalho de extensão a partir das parcerias com prefeituras e escolas municipais, que poderão usufruir do material construído tanto para fins de planejamento, como para a educação básica.

A construção do Atlas Geoambiental municipal é resultado do trabalho coletivo de zoneamentos, desenvolvidos durante os últimos anos pelo grupo de Pesquisa do Laboratório de Geologia Ambiental do Departamento de Geociências da Universidade Federal de Santa Maria, com apoio financeiro da FAPERGS, UFSM/FIEX e CNPq.

Os trabalhos de zoneamento geoambientais consistem na análise unificada do espaço geográfico, através de conceitos e métodos que procuram integrar sociedade e natureza que se desenvolve por meio da abordagem sistêmica da Paisagem. O Atlas desenvolvido apresenta uma abordagem típica da cartografia geoambiental, que por meio de mapas temáticos, fotografias, tabelas e gráficos, sintetiza informações sobre o município como dados socioeconômicos, histórico, localização, aspectos da hidrografia local, relevo, geologia, solos, clima etc.

A partir dessa compilação de informações ilustrada, tem-se um material que sintetiza e correlaciona atributos de determinada área. O atlas busca proporcionar a difusão dos conhecimentos sobre a perspectiva da análise do lugar em que vivemos e suas inúmeras relações que podem estar estabelecidas entre a interface homem e natureza. Dessa forma, o atlas se mostra um instrumento didático uma vez que informações sobrepostas, analisadas e relacionadas entre si, permitem melhor entendimento do lugar.

A definição do termo Geoambiental está baseado na divisão de áreas em classes de terrenos hierarquizados a partir de características gerais, conforme Herrmann (2004), Trentin e Robaina (2005) e Robaina et al. (2009) para a definição das unidades Geoambientais, faz-se necessário o reconhecimento dos componentes naturais e das ações antrópicas. Portanto, como objetivo principal da construção do Atlas é proporcionar de forma pedagógica uma leitura das diferentes paisagens do município, a partir dos diferentes temas estudados.

## **O que é um Atlas**

O atlas é um conjunto de mapas que apresentam e descrevem um determinado espaço, cada mapa atribui-se a um fenômeno, ou estado, ou informação do espaço pretendido em sua elaboração.

Há indícios de que povos na pré-história, que eram nômades, devido aos hábitos e necessidades de buscar alimentos em geral, realizavam registros de gravuras e localizações, com o intuito de se orientar no espaço. Essas informações eram registradas através do uso de pinturas rupestres, símbolos e marcas em rochas etc.

Com o passar dos séculos, os humanos se tornaram sedentários, formaram sociedades e civilizações aumentando suas produções e intensificando suas atividades. As grandes navegações e o comércio que acompanharam esse processo, fizeram que o

homem precisasse conhecer a superfície terrestre, iniciando elaborações de descrições e mapas que auxiliassem e propiciassem o desenvolvimento das práticas da época.

Na idade Antiga, o grego matemático, astrônomo e geógrafo Cláudio Ptolomeu produziu o primeiro atlas conhecido, na história da humanidade, uma obra denominada “Geographia”. Na idade média não há registros de atlas produzidos, no Ocidente. Isso, provavelmente, em virtude do isolamento entre sociedades e reinos proposto pelo sistema feudal da época, atrelado a dogmas da igreja católica.

Entretanto, durante a Idade Média, foi no Oriente, onde os povos árabes desenvolveram muitos conhecimentos na Astronomia e Matemática, o que permitiu que se tornassem bons cartógrafos. Foram os árabes que elaboraram o primeiro atlas escolar, por volta de 1000 d.C., já na Europa, os atlas escolares surgiram apenas no século XIX.

Durante a transição entre o sistema feudal e o capitalismo mercantil e início das grandes navegações, que buscavam especiarias em áreas distantes, permitiu trocas comerciais e conhecimento com as civilizações do Oriente. Essas grandes expedições, necessitavam da elaboração de mapas que servissem de localização, e descrição de territórios distantes. Com o passar dos anos, havia inúmeras representações do espaço, que foram agrupadas em um documento para facilitar o acesso às informações e descrições de territórios.

Em 1570 foi publicado o atlas de Abraão Ortélio, “Theatrum Orbis Terrarum”, um material que continha inúmeras informações, descrições do espaço, e mapas das diversas modalidades. Anos depois, publica-se o “*Atlas Sive Cosmographicae Meditationes de Fabrica Mundi et Fabricati Figura*”, elaborado por Mercator, com maior número de publicações e o mais conhecido da época, justamente, por esta ser a primeira obra que utilizou-se do termo “Atlas”, o nome tem origem na mitologia grega, um titã rebelde, que recebeu o castigo de Zeus de carregar o planeta nos ombros.

O primeiro mapa com as características dos atuais foi desenvolvido pelo francês Émile LEVASSEUR, de 1876 chamado “*Atlas physique, politique, économique de la France*”.

No Brasil, um dos primeiros Atlas voltados ao mapeamento temático de seu território, bem como para sua gente, teria sido o Atlas do Brasil, de autoria de João Teixeira de Albernaz, de 1627. Consta que tenha sido utilizado como base cartográfica comprobatória junto aos impasses diplomáticos hispânico-galegos que se criaram entre a Guiana Francesa e o Brasil (SILVA, 1999).

Em 1868, Cândido Mendes de Almeida publica o Atlas intitulado “Atlas do Império do Brasil”, e era utilizado na escola imperial de Dom Pedro II, no Rio de Janeiro.

Nos anos que se seguiram vários outros Atlas foram produzidos: “Atlas do Barão de Rio Branco”, em 1900; o “Atlas dos Estados Unidos do Brasil”, em 1908, por Teodoro Sampaio; e o “Atlas do Brasil”, em 1909, pelo Barão Homem de Mello. Em 1966, o Instituto Brasileiro de Geografia e Estatística (IBGE) publicou o “Atlas Nacional do Brasil”. Somente em 2002 o IBGE publica um atlas voltado para o ensino, “Atlas Geográfico Escolar”.

No período pós primeira guerra mundial, os atlas foram de fundamental importância para os países replanejarem seus territórios, e na sequência vários avanços na cartografia ocorreram com as tecnologias desenvolvidas nas duas grandes guerras, e, também, com a corrida espacial que se estabeleceu na Guerra Fria, com lançamento de satélites que

deram suporte para o sensoriamento remoto.

Na atualidade, como o uso cada vez maior das tecnologias de informação, a apresentação dos Atlas tem sido adaptada as plataformas digitais. Estas plataformas buscam dinamizar tanto a apresentação dos mapas e textos, como também permitem interações dinâmicas entre o que está sendo representado, nos seus diversos temas abordados.

## **Uma base sobre cartografia e geotecnologias**

Ao longo da história da humanidade, o espaço geográfico vem se transformando e se modificando sob a perspectiva da ação humana e da natureza, nesse sentido o homem buscou representar o espaço para entendê-lo melhor e conhecer suas feições a partir de inúmeras variáveis.

A Cartografia surge como principal mecanismo para que haja técnicas adequadas para a representação e possibilidade de compreensão das dinâmicas espaciais, ou seja é uma ciência que reúne um conjunto de métodos científicos, artísticos e técnicos, que em seu produto final, temos um documento que chamamos de mapa.

Ao decorrer dos anos, o avanço das tecnologias foram cruciais para o desenvolvimento dessa área, possibilitando fazer diversos estudos sobre a superfície terrestre. O Sensoriamento Remoto (SR) é uma técnica de obtenção de imagens dos objetos da superfície terrestre sem que haja um contato físico de qualquer espécie entre o sensor e o objeto (FIGURA 01).

O sensoriamento remoto teve início com a invenção da câmera fotográfica, sendo as fotografias os primeiros produtos. As aplicações militares quase sempre estiveram à frente no uso de novas tecnologias, no SR não foi diferente. Relata-se que uma das primeiras aplicações do SR foi para uso militar sendo desenvolvida, no século passado, uma leve câmera fotográfica que era carregada com pequenos rolos de filmes e fixadas no peito de pombos-correios. Pouco depois, câmaras começaram a ser montadas em balões de ar quente. Tal técnica foi usada durante a Guerra Civil dos EUA (1862) para reconhecimento do território. Em 1909, inicia-se a fotografia tomada por aviões e na I Guerra Mundial seu uso intensificou-se. Na II Guerra Mundial houve grande desenvolvimento do SR com o filme infravermelho, para detectar camuflagem e a introdução de novos sensores, como radar.

A grande revolução do SR aconteceu em 1972 quando foi lançado o primeiro Satélite para Observação dos Recursos Terrestres (ERTS-1) denominado Landsat -1. Atualmente, o SR é quase que em sua totalidade alimentado por imagens obtidas por meio da tecnologia dos satélites orbitais.

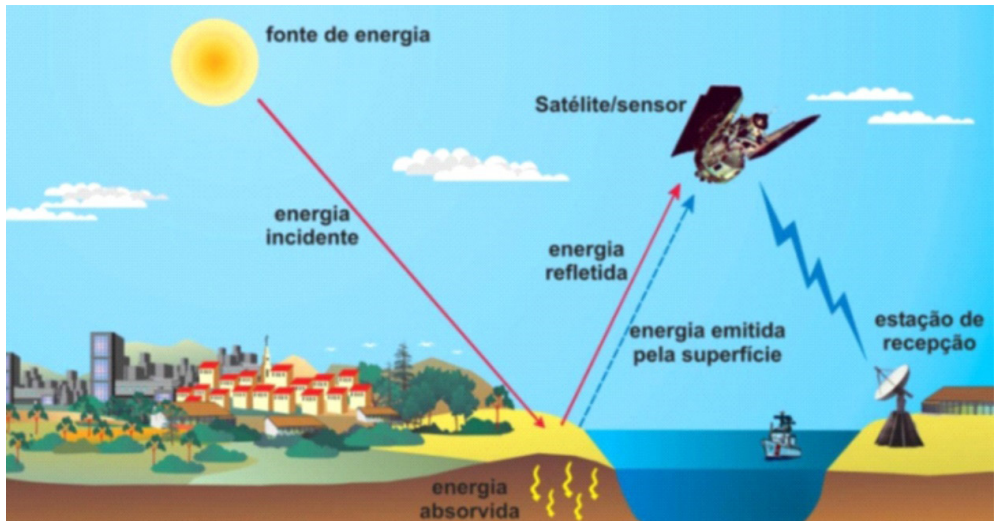


Figura 1 - Esquema da dinâmica do Sensoriamento Remoto

Fonte: [www.parquedaciencia.blogspot.com.br](http://www.parquedaciencia.blogspot.com.br).

O sistema de navegação via satélite (GNSS – *Global Navigation Satellite System* – definição inglesa) é outro conjunto de geotecnologias que contribui de forma muito grande para a evolução da cartografia e vida cotidiana das pessoas. O GNSS é atualmente composto por diversos sistemas, a saber o GPS que é o sistema estadunidense e mais conhecido, o GLONASS que é um sistema russo, o GALILEU que é um sistema da união europeia, dentre outros sistemas.

O GNSS é um sistema de navegação que utiliza-se de satélites que orbitam a Terra e que permite a localização espacial em qualquer parte do globo terrestre, através do uso de um receptor de sinal, que hoje encontra-se presente na maioria dos equipamentos de comunicação, como smartphones, tablets, no meio de transporte como carros, ônibus, aviões, barcos, navios, nos equipamentos agrícolas como tratores, colheitadeiras, entre outros. Da mesma forma que o SR, o GNSS foi inicialmente desenvolvido para fins militares, porém com as necessidades de posicionamento para uso civil nos diversos segmentos como agricultura de precisão, sistemas de transportes e afins levaram ao surgimento de aplicações específicas neste sentido.

### Trabalhos de campo

As expedições de campo, tem como função possibilitar a coleta de dados primários e a validação de dados secundários. As informações coletadas em campo, com o uso de receptores GPS, câmera fotográfica e caderneta, são desenvolvidos em perfis, utilizando estradas, caminhos e trilhas. Durante os trabalhos de campo são descritas informações relacionadas a aspectos físicos, como declividades, orientação e formas das vertentes, hidrografia, unidades de relevo, geologia e tipos de solo. Também, são avaliados os padrões de uso e cobertura da terra, são analisadas as coberturas vegetais endêmicas e exóticas,

bem como as estruturas fundiárias.

## **REALIZAÇÃO E APOIOS**

A construção do Atlas Geoambiental municipal de São Francisco de Assis é resultado do trabalho coletivo de zoneamentos, desenvolvidos durante os últimos anos pelo grupo de Pesquisa do Laboratório de Geologia Ambiental do Departamento de Geociências da Universidade Federal de Santa Maria, com apoio financeiro da FAPERGS, UFSM/FIEX e CNPq.

A análise unificada do espaço geográfico, através de conceitos e métodos que procuram integrar sociedade e natureza se desenvolveu por meio da abordagem sistêmica da Paisagem. Os pressupostos teóricos e conceituais que nortearam a pesquisa concentram-se em informações de caráter sistêmico, alicerçadas em bibliografias que tratam da integração dos elementos da sociedade e da natureza de forma espacializada.

A definição do termo Geoambiental está baseado na divisão de áreas em classes de terrenos hierarquizados a partir de características gerais, conforme Herrmann (2004), “para a definição das unidades Geoambientais, faz-se necessário o reconhecimento dos componentes do relevo, bem como os atributos e fatores condicionantes: hidrográficos, geológicos, geomorfológicos, pedológicos, climáticos, fitogeográficos e antrópicos”.

O objetivo do Atlas é proporcionar de forma pedagógica uma leitura das diferentes paisagens do município contribuindo para o seu desenvolvimento.

## **LOCALIZAÇÃO DO MUNICÍPIO**

O município de São Francisco de Assis está localizado na Região Sul do Brasil, na porção Oeste do Estado do Rio Grande do Sul, distante 485 km de Porto Alegre, capital gaúcha, e a 142 km a oeste de Santa Maria – RS (Figuras 2 e 3).

A área do município é de 2.508,453 km<sup>2</sup>, se localizando geograficamente entre as coordenadas 54° 47' 02" a 55° 53' 54" de longitude oeste e 29° 10' 03" a 29° 43' 05" de latitude sul.

Em suas divisas municipais, estão os municípios de Maçambará, Unistalda e Santiago ao norte, os municípios de Nova Esperança do Sul e Jaguarí a leste, Alegrete e São Vicente do Sul ao sul e Manoel Viana a oeste.



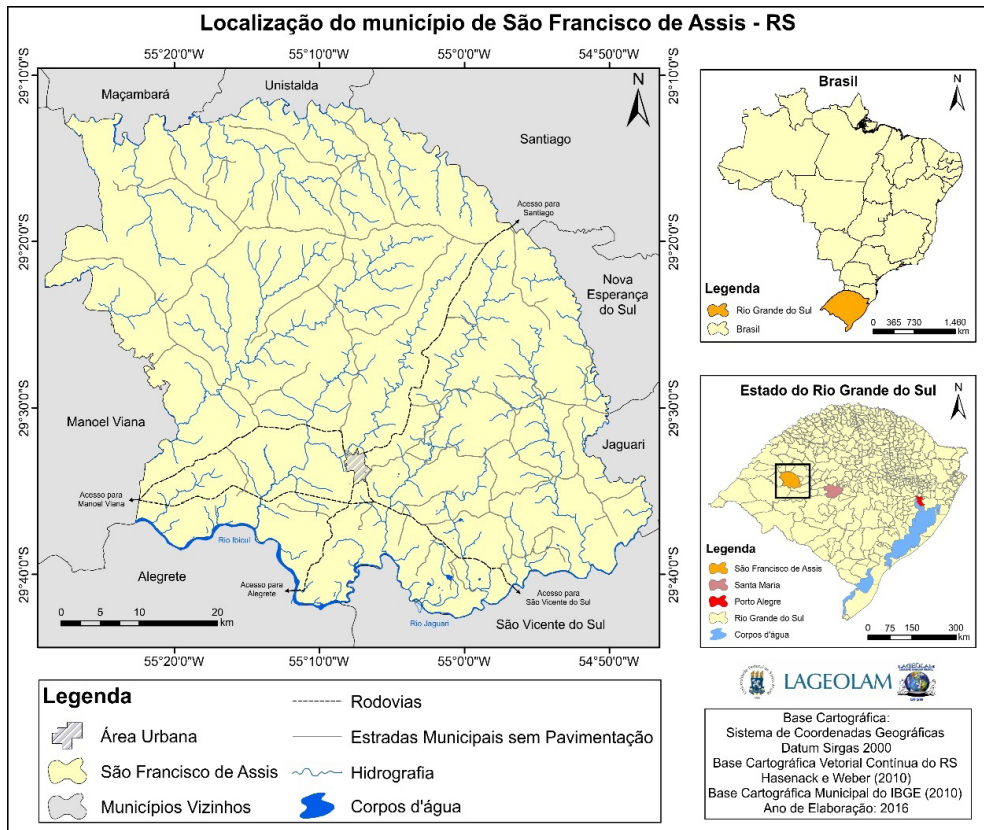


Figura 2 - Mapa de localização do município de São Francisco de Assis.

Fonte: Autores.

As principais vias de acesso à cidade de São Francisco de Assis são a RS 241 com a cidade de São Vicente do Sul a 53km para leste, a RS 546 com a cidade de Santiago a 55 km para norte, a RS 377 com Manoel Viana a 43km em direção oeste e a RS 546, na direção sul, com o Balneário do Jacuá.

A base cartográfica utilizada foram as cartas topográficas elaboradas pela Diretoria de Serviços Geográfico (DSG/IBGE, 1977) do Ministério do Exército, na escala 1:50.000, que definiram o mapa base da área de estudo.

As imagens de satélite utilizadas foram as dos sensores Landsat 7 ETM+, Aster, Ikonos, imagens de radar SRTM, além de fotografias aéreas de baixa altitude, e fotografias aéreas verticais de 1965 (escala 1:60.000), também integraram o material cartográfico disponível.

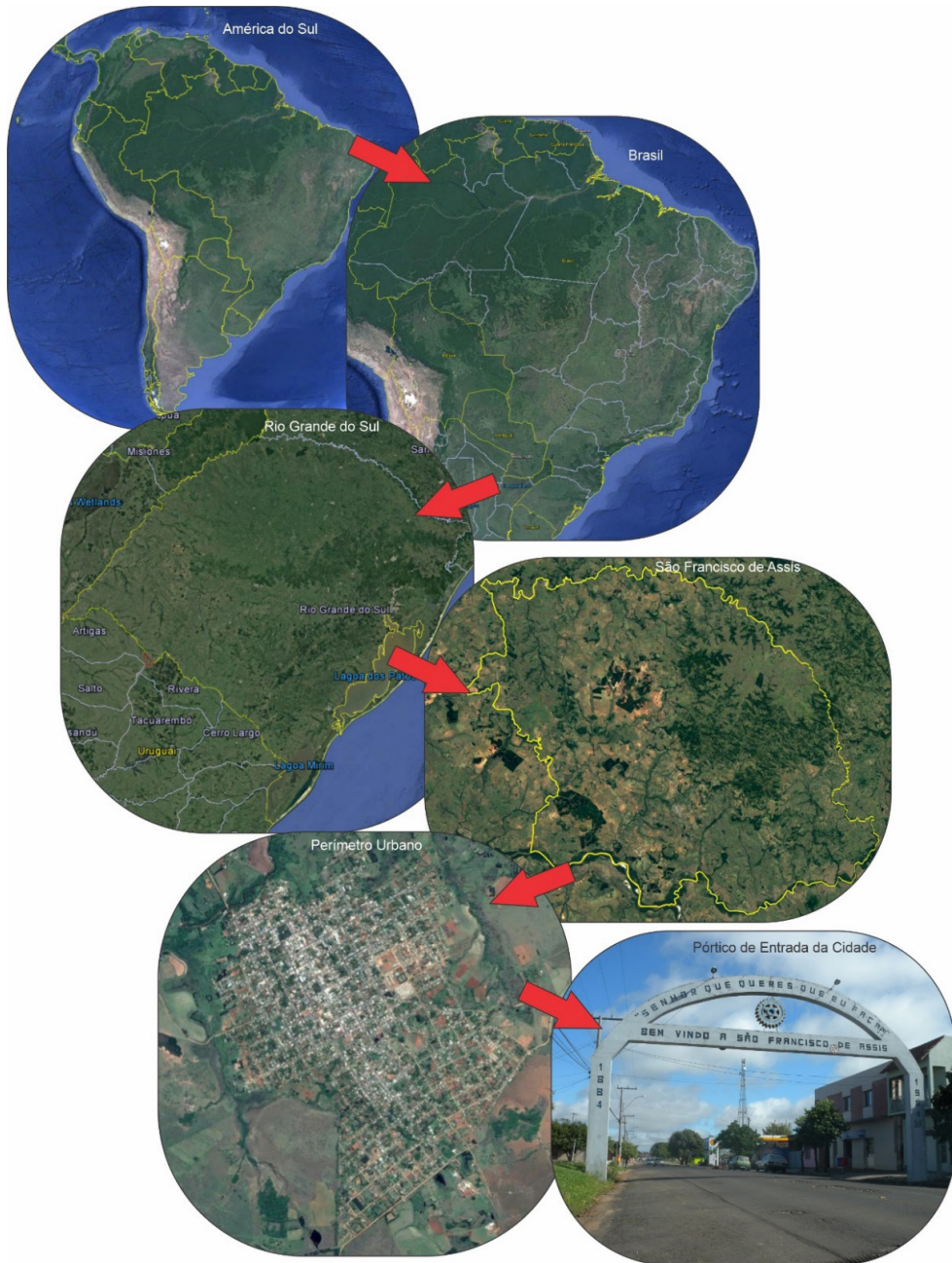


Figura 3 - Localização do município de São Francisco de Assis.

Fonte: os autores

## PROCEDIMENTOS METODOLÓGICOS

A associação dos mapas e dados da área, como o Projeto RADAMBRASIL (1973, 2003), o mapeamento de solos realizado por Streck et al., (2002), os trabalhos específicos de Verdum (1997) além do Atlas de Arenização desenvolvido por Suertegaray et al., (2001) e, principalmente, os mapeamentos geoambientais em Bacias Hidrográficas desenvolvidos por Trentin (2011) (Mapeamento geomorfológico e caracterização geoambiental da bacia hidrográfica do rio Itu, oeste do Rio Grande do Sul-Brasil) e De Nardin (2009) (Zoneamento geoambiental no oeste do Rio Grande do Sul: um estudo em bacias hidrográficas).

Todas as informações levantadas, processadas, analisadas e correlacionadas e por fim mapeadas na escala 1:50.000, serviram de base para a caracterização geoambiental. As categorias de informação analisadas e levantadas são as classes de documentos Básicos, Derivados, Interpretativos e Finais, que em termos cartográficos representam a cartografia analítica e de síntese adotada (Figura 4).

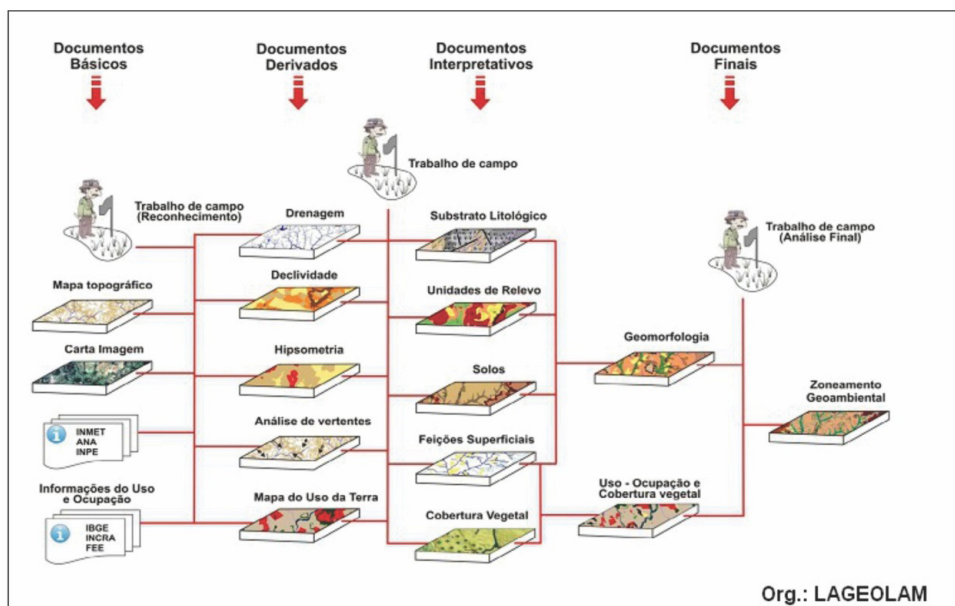


Figura 4 - Metodologia utilizada na construção do Atlas Geoambiental.

Fonte: Autores

## SUMÁRIO

<b>CAPÍTULO 1</b> .....	<b>1</b>
FORMAÇÃO DO MUNICÍPIO E DADOS SOCIOECONÔMICOS	
Formação do Território .....	1
Dados Socioeconômicos.....	4
Economia.....	4
População.....	5
Atividade econômica.....	7
<b>CAPÍTULO 2</b> .....	<b>9</b>
USO E OCUPAÇÃO DO SOLO E CLIMA	
Uso e ocupação do solo.....	9
Clima .....	15
<b>CAPÍTULO 3</b> .....	<b>18</b>
REDE HIDROGRÁFICA E CARACTERÍSTICAS DO RELEVO	
Hidrografia .....	18
Os rios e a conservação das matas ciliares.....	18
As matas ciliares.....	20
Atributos do relevo .....	23
Hipsometrias .....	23
Declividades .....	25
Unidades de relevo .....	26
<b>CAPÍTULO 4</b> .....	<b>34</b>
GEOLOGIA	
Geologia de São Francisco De Assis.....	37
Bacia do Paraná .....	38
Rochas aflorantes em São Francisco de Assis.....	41
<b>CAPÍTULO 5</b> .....	<b>50</b>
SOLOS	

<b>CAPÍTULO 6</b> .....	<b>56</b>
OS AREAIS DE SÃO FRANCISCO DE ASSIS	
<b>CAPÍTULO 7</b> .....	<b>62</b>
ZONEAMENTO GEOAMBIENTAL	
Unidade Planalto Leste - Serra dos Canários .....	65
Unidade Planalto Oeste- Serra dos Canários.....	65
Unidade Rebordo do Planalto.....	66
Unidade de colinas vulcânicas .....	66
Unidade colinas arenosas.....	67
Unidade Campos de areia .....	67
Unidade de Silvicultura.....	68
Unidade Urbano .....	68
Unidade Cerros de São Francisco.....	68
Unidade Colinas do Baixo Jaguarí .....	69
Unidade dos Vales Fluviais .....	69
<b>CONSIDERAÇÕES FINAIS</b> .....	<b>76</b>
<b>REFERÊNCIAS</b> .....	<b>77</b>
<b>CADERNO DIDÁTICO DE SÃO FRANCISCO DE ASSIS</b> .....	<b>79</b>
Mensagem Inicial .....	80
Atividade 1: Batalha Latitudinal.....	80
Atividade prática 2 – Mapas mentais.....	82
Atividade prática 3 – Maquete.....	83
Atividade 4: Jogo Das Escalas .....	84
Atividade 5: Jogo geomorfológico.....	85
<b>TUTORIAL PARA USO DO GOOGLE EARTH</b> .....	<b>89</b>
Buscar e instalar o Google Earth .....	89
<b>SOBRE OS AUTORES</b> .....	<b>99</b>

# CAPÍTULO 1

## FORMAÇÃO DO MUNICÍPIO E DADOS SOCIOECONÔMICOS



### FORMAÇÃO DO TERRITÓRIO

O presente capítulo usa como base o trabalho de Pesavento (1982) e nas informações disponibilizadas pela Prefeitura Municipal de São Francisco de Assis (2016) e do Atlas Socioeconômico do Rio Grande do Sul (2016).

O Estado do Rio Grande do Sul, tem sua formação territorial diretamente ligada à história de sua ocupação. Os primeiros núcleos estáveis presentes no território gaúcho foram fundados na foz do rio Jaguari-Guassu com o rio Ibicuí, uma redução jesuíta, instituída em 1626, perdurando até a data de 1632. No mesmo ano, foi fundada a Redução Jesuítica São Thomé do Ibicuí, tendo seu término no ano de 1638 devido ao abandono da Redução por seus habitantes, em circunstância da chegada dos bandeirantes paulistas em 1638, sendo reconstruída posteriormente a margem direita do rio Uruguai, onde hoje encontra-se a cidade de Santo Thomé na Argentina.

A organização de uma estrutura comunitária se inicia após 40 anos, com a formação dos Sete Povos das Missões, que se tornam importantes centros econômicos da região, com a produção principal de erva mate e pecuária extensiva.

A partir das sesmarias e dos núcleos açorianos, o Rio Grande do Sul dividiu o seu território em áreas administrativas. O município de São Francisco de Assis, toma forma no

ano de 1801, quando foi fundado o Forte de mesmo nome, na sesmaria de Itajuru.

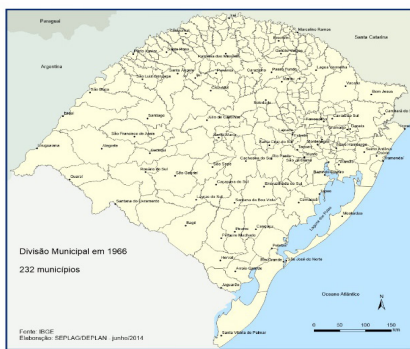
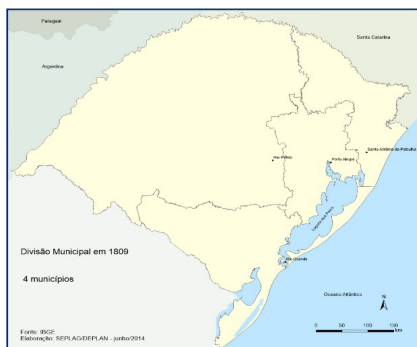
No ano de 1809 o estado do Rio Grande do Sul dá início a sua separação, sendo dividido em quatro áreas: Porto Alegre, Rio Grande, Rio Pardo e Santo Antônio da Patrulha. Desde então a divisão foi se intensificando chegando aos atuais 497 municípios.

No ano de 1809 a área do atual município de São Francisco de Assis situava-se em Rio Pardo. Nessa época ocorre o povoamento da sede, onde hoje se encontra a cidade, com sua estrutura nas proximidades do Forte da Capitania do Rio Grande de São Pedro do Sul, e formado basicamente por mestiços e grupos indígenas, tais como: Tapes, Guaranis, Minuanos, Guenos, Carijós, Arachanes, Charruas, Caaguas e Guaranás.

Em 1824, São Francisco de Assis passa a ser integrante da Província das Missões e durante a Revolução Farroupilha, em 1834, o povoado pertencia ao município de São Borja, sendo incorporado no ano de 1858 ao município de Itaqui.

São Francisco de Assis foi elevado à categoria de Freguesia no ano de 1859, sendo incorporado em 1876 a vila de São Vicente do Sul. Com o avanço e desenvolvimento deste povoado, São Francisco de Assis é desmembrado de São Vicente do Sul e Itaqui no ano de 1884, se tornando vila em 1885 e, em 1938, a vila de São Francisco de Assis passa a categoria de município.

Recentemente, em 20 de março de 1992, ocorreu o desmembramento do município de Manoel Viana do município de São Francisco de Assis, dando origem a atual área municipal. (IBGE, 2010).









Fotografia da construção do Arco em homenagem ao centenário de emancipação do município de São Francisco de Assis.

Fonte: <http://www.saofranciscodeassis.rs.gov.br>



Fotografia mostrando a Rua João Moreira onde se localiza a Prefeitura e a Igreja São Francisco de Assis.

Fonte: <http://www.saofranciscodeassis.rs.gov.br>



Fotografia da igreja de São Francisco de Assis.

Fonte: <http://www.saofranciscodeassis.rs.gov.br>



Fotografia da avenida principal de São Francisco de Assis (13 de janeiro (RS 241)) no ano de 1914.

Fonte: <http://www.saofranciscodeassis.rs.gov.br>

## DADOS SOCIOECONÔMICOS

### Economia

A economia está baseada no setor primário e tem como principal atividade a agropecuária. A população está ao redor de 20 mil habitantes com predomínio na área urbana.

## População

Segundo o último censo realizado pelo IBGE em 2010, o município de São Francisco de Assis, possuía uma população de 19.254 habitantes, em uma área territorial de 2.508,453 km<sup>2</sup>, resultando em uma densidade demográfica de 7,6 habitantes por km<sup>2</sup>. Neste mesmo censo, 13.495 habitantes residem na área urbana e 5.759 habitantes na área rural, conforme figura 5.

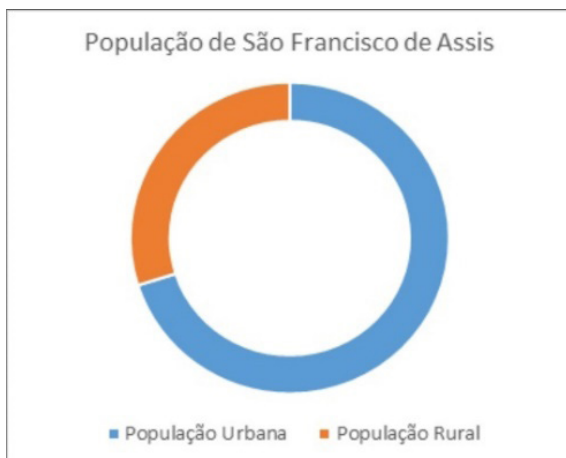


Figura 5 - Distribuição da população urbana e rural do município de São Francisco de Assis, RS.

Fonte: adaptado do censo de 2010 do IBGE.

Observando-se os dados dos últimos Censos do IBGE (2000 e 2010) percebe-se que a população do município está apresentando um decréscimo na última década (figura 6), ao contrário do que ocorreu no estado do Rio Grande do Sul, onde houve um aumento de 506.131 habitantes, e a nível nacional com um aumento de 21.055.629 habitantes (IBGE, 2010).

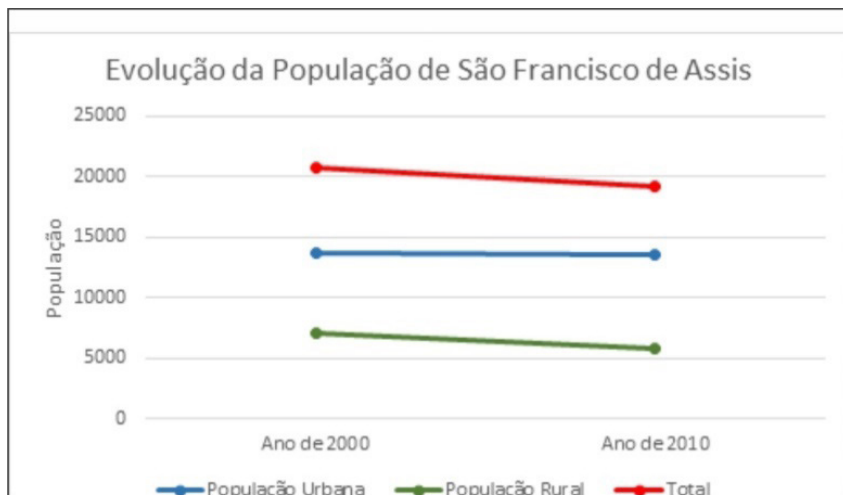


Figura 6 - Evolução da população urbana e rural de São Francisco de Assis de 2000 a 2010

Fonte: adaptado do censo de 2010 do IBGE.

O processo de urbanização vem se intensificando a partir da década de 1970, o que explica o declínio mais acentuado da população rural. A diminuição da população, em geral, pode ter relação com as migrações internas no estado, onde a população de cidades menores migra para maiores centros urbanos, em busca de melhores condições econômicas e sociais, como pode-se observar na figura 7.

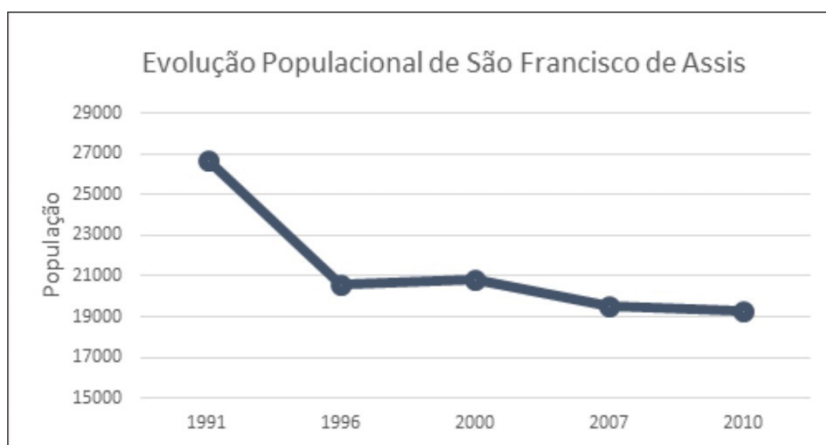


Figura 7 - Evolução populacional do município de São Francisco de Assis, no intervalo de 1991 a 2010

Fonte: adaptado do censo de 2010 do IBGE.

A pirâmide etária é uma representação gráfica da distribuição de diferentes grupos etários de uma população, separados por sexo. A base dela é composta pela população mais jovem, e seu topo pela mais idosa. Com essas informações, pode-se verificar a estrutura populacional, sua população economicamente ativa, assim como informações relacionadas à expectativa de vida do local de estudo. Julga-se jovens, os indivíduos com até 19 anos, adultos entre 20 e 59 anos e idosos os que ultrapassam os 60 anos (Figura 8).

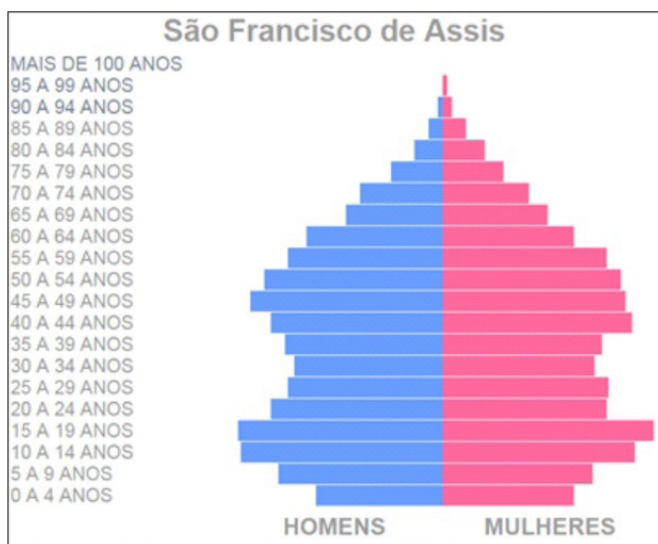


Figura 8 - Pirâmide etária de diferentes grupos da população de São Francisco de Assis.

Fonte: IBGE, 2010

São Francisco de Assis possui uma população jovem e adulta, e sua base estreita indica a baixa taxa de fecundidade presente no município. Percebe-se ao topo do infográfico os indivíduos que ultrapassam os 70 anos, sendo predominantemente mulheres. Do total de 19.254 habitantes residentes no município de São Francisco de Assis, 50,69 % é composta por mulheres, não destoando do cenário nacional e estadual, onde as mulheres representam 51,03 % e 51,33 % da população, respectivamente.

### Atividade econômica

O Produto Interno Bruto (PIB) do município, em 2013, foi de R\$ 239.901 mil, apresentando a agropecuária como o principal setor econômico do município com 52,90 % do PIB municipal, seguido do setor de serviços com 41,45 %, e indústria com 5,65 % (Figura 9). O município não acompanha o panorama estadual e nacional que detém a parcela de comércio e serviços como principal setor econômico.

A pecuária tem um volume significativo na criação de bovinos, com efetivo dos rebanhos de 193.503 cabeças. Na sequência, tem-se a criação de ovinos com efetivo rebanho de 29.562 cabeças, produzindo 79.815 Kg de lã, a produção de leite com 4.794

cabeças e 4.746 mil litros e o efetivo rebanho de galináceos (galinha), com 31.654 cabeças, produzindo 244 mil dúzias de ovos (IBGE, 2014).

As atividades agrícolas com maior expressão são a soja, com produção de 63.000 toneladas, a cana-de-açúcar, com 40.000 toneladas, o arroz, com 26.250 toneladas, a mandioca, com 21.600 toneladas e o milho com 12.600 toneladas (IBGE, 2014).

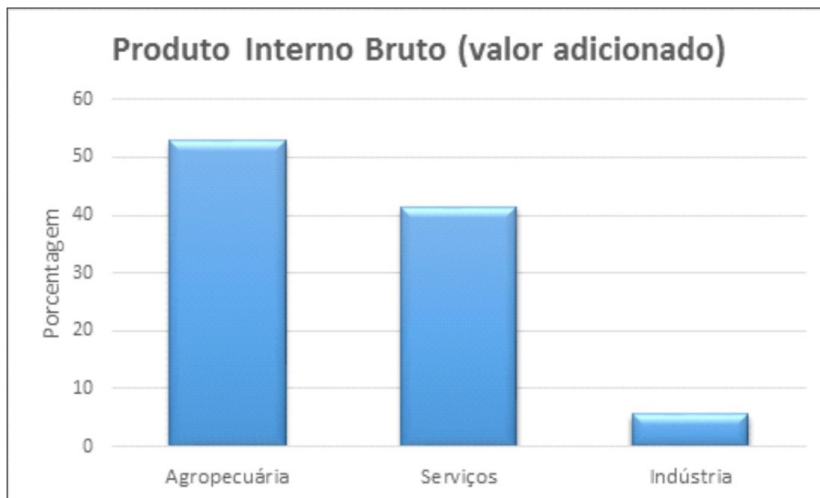
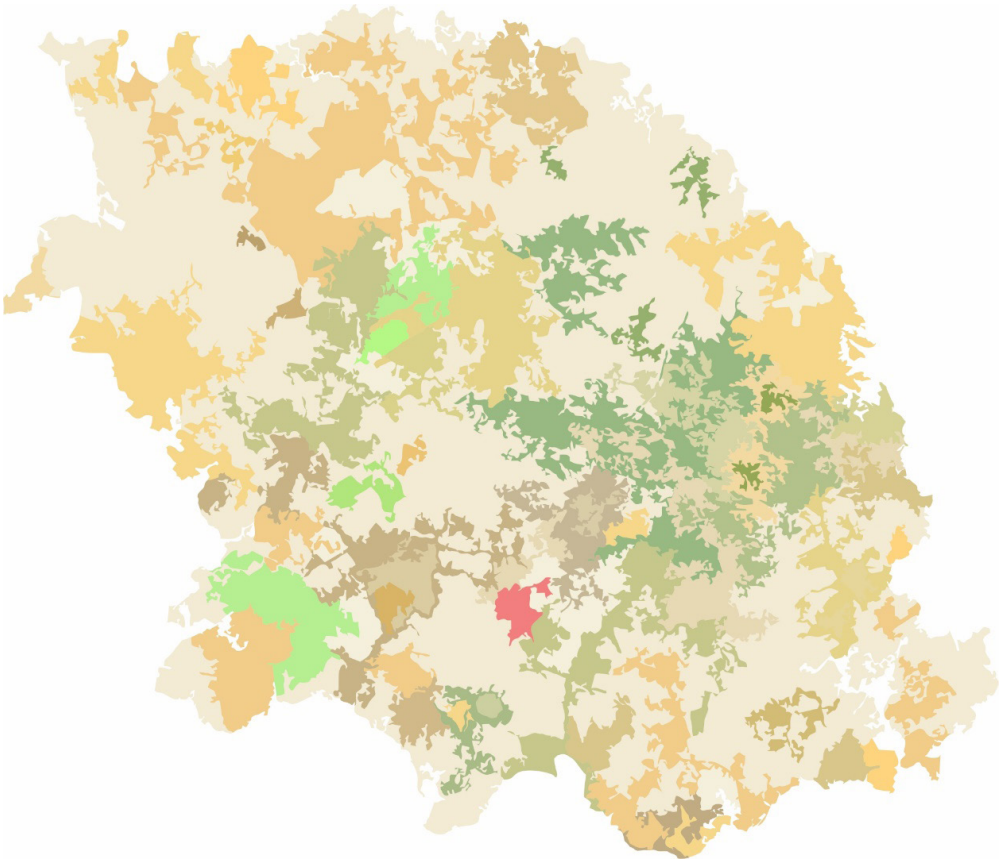


Figura 9 - Produto Interno Bruto (PIB) do município de São Francisco de Assis, RS – 2014

Fonte: adaptado do IBGE,2014



### USO E OCUPAÇÃO DO SOLO

Segundo o último censo realizado pelo Instituto Brasileiro de Geografia e Estatística (IBGE) em 2010, o município de São Francisco de Assis, possuía uma população de 19.254 habitantes, em uma área territorial de 2.508,453 km<sup>2</sup>, resultando em uma densidade demográfica de 7,6 habitantes por km<sup>2</sup>.

A distribuição populacional em São Francisco de Assis, pode ser observada por seus diversos usos e ocupações distribuídos pelo município (figura 8), que se refletem em diferentes paisagens sob influência principal da ação humana e suas atividades econômicas desenvolvidas.

O uso e ocupação da terra pode ser entendido como as diversas formas de intervenção do homem no meio visando atender as suas necessidades, torna-se um dos principais indicadores dos níveis de troca que se estabelecem nas relações sociedade e natureza, sendo a sua análise de vital importância para o entendimento da estrutura e da dinâmica ambiental de um espaço qualquer.

A diversidade de uso em São Francisco de Assis, suas abrangências e distribuições podem ser observadas na figura 10 e tabela 1 e caracterizadas a seguir.

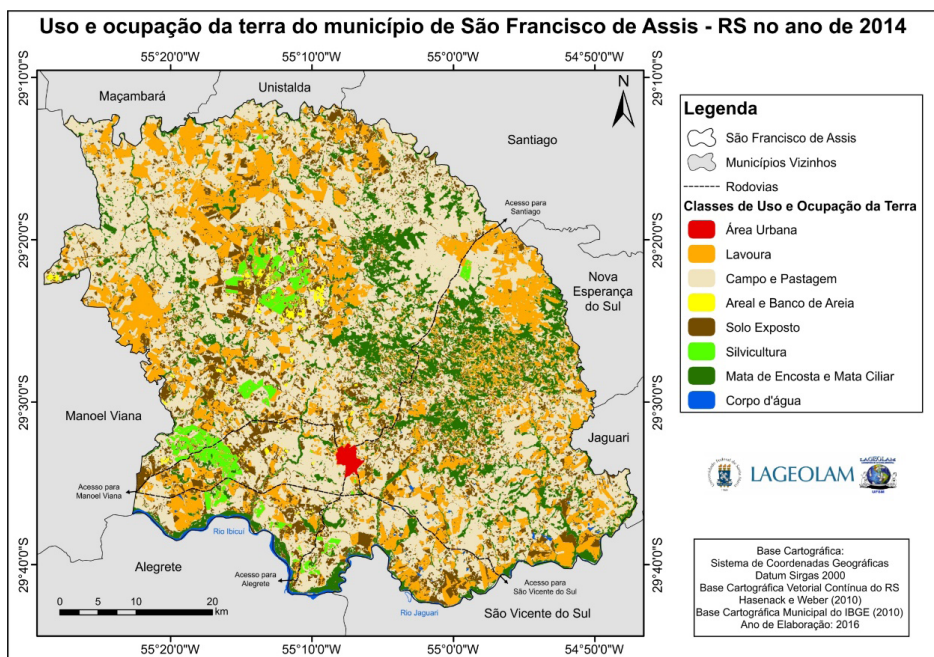


Figura 10 - Mapa de Uso e Ocupação de São Francisco de Assis.

Fonte: Autores

CLASSES DE USO	ÁREA (km <sup>2</sup> )	PORCENTAGEM
Área urbana	6,89	0,27
Lavoura	567,34	22,62
Campo e Pastagem	1168,01	46,56
Solo exposto	344,56	13,74
Areal e Banco de Areia	19,11	0,76
Mata de Encosta e Mata Ciliar	337,85	13,47
Silvicultura	55,98	2,23
Corpos d'água	8,75	0,35
<b>Total</b>	<b>2.508,49</b>	<b>100</b>

Tabela 1 - Uso e Ocupação da Terra no município de São Francisco de Assis

Fonte: Autores

A área urbana, caracterizada pelos adensamentos residenciais, comerciais e centros administrativos localizados junto a sede municipal, localizada em sua porção centro sul com abrangência de cerca de 0,2% de sua área territorial (figura 11).



Figura 11. Pórtico de entrada da cidade de São Francisco de Assis.

Fonte: Autores. Data: 2018.

Os campos e pastagens são caracterizados pelo predomínio de grandes áreas com gramíneas plantadas e nativas, que são utilizadas para pecuária onde ocorrem a criação extensiva de gado bovino e ovino (figura 12). Encontram-se distribuídos principalmente nas porções nordeste, noroeste e centro-sul do município com abrangência de cerca de 46,5% de sua área territorial. Sua abrangência, representa sua importância como uma das principais atividades econômicas do município.



Figura 12 - Área com criação de ovinos representando a prática da pecuária no município.

Fonte: Autores. Data: 2018.



Associado às áreas de lavouras, podem ocorrer os solos expostos, onde muitas vezes, podem se desenvolver processos erosivos intensos, visto que, por serem locais sem cobertura vegetal, não há proteção das intempéries (precipitações, vento, etc) e dessa forma originarem erosão laminar, que podem evoluir para sulcos e ravinas, e em alguns casos até extensas voçorocas (figura 13).

Os locais com solo exposto encontram-se principalmente nos setores nordeste, centro e sudoeste do município com abrangência de cerca de 13,7% da sua área territorial.



Figura 13. Formação de voçoroca pela exposição do solo e a retirada da cobertura vegetal.

Fonte: Autores. Data: 2018.

As lavouras se caracterizam por locais onde são realizados os cultivos agrícolas com predomínio de monoculturas temporárias como a soja, cana-de-açúcar, mandioca, milho e arroz (IBGE, 2014). No município também são observadas grandes áreas com cultivos de trigo (figura 14).

Ainda, pode-se destacar que as mesmas, encontram-se nas baixas declividades do relevo, constituído predominantemente por colinas suavemente onduladas, com solos bem desenvolvidos, ou junto as planícies de inundação dos principais cursos d'água do município, com solos hidromórficos. Se localizam principalmente nas porções norte, leste e oeste do município com abrangência de cerca de 22,6% de sua área territorial.



Figura 14 - Área de cultivo de trigo na porção sudoeste do município.

Fonte: Autores. Data: 2018.

No mesmo contexto, encontram-se os areais e bancos de areias que também são áreas onde ocorrem a exposição de sedimentos arenosos, porém os bancos ou depósitos de areias encontrados junto aos principais canais de drenagens do município, como o rio Ibicuí, onde servem ao turismo como locais de praias e os areais ou campos de areias sobre unidades litológicas frágeis (depósitos arenosos) localizadas em áreas com baixas altitudes e declividades. Também são comuns nas médias colinas ou nas rampas que formam a base dos morros e morrotes (figura 15).

Sobre outro aspecto, a formação de ravinas e voçorocas, processos que estão na origem dos areais, podem também ser resultado do pisoteio do gado e do uso de maquinários pesados na atividade agrícola, originando sulcos e desencadeando condições de escoamento concentrado (SUERTEGARAY et al., 2001, p. 355).

Os locais com areal ou bancos de areia encontram-se principalmente nas porções central e sul do município com abrangência de cerca de 0,7% da sua área territorial.



Figura 15 - Local com formação de areais.

Fonte: Autores. Data: 2018.

As matas de encostas e ciliares são caracterizadas principalmente pela presença de concentrações de espécies vegetais nativas de porte arbóreo-arbustivo (figura 16). Esta vegetação, localizada em áreas de declividades acentuadas, em especial, junto às encostas de morros e morrotes, caracteriza as matas de encostas e onde aparece junto as margens dos rios e arroios caracteriza as matas ciliares.

De maneira geral, as matas de encostas e ciliares, encontram-se principalmente nos setores leste, centro e sudeste do município com abrangência de cerca de 13,4% da sua área territorial.



Figura 16 - Presença de matas ciliares na margem do rio Ibicuí, vista em primeiro plano e matas de encosta na base de morros, vista em segundo plano.

Fonte: Autores. Data: 2018

A silvicultura é caracterizada por grandes extensões de áreas plantadas, ou seja, locais utilizados para o cultivo de espécies vegetais arbóreas exóticas (figura 17), principalmente eucalipto (*Eucalyptus sp.*).

Os locais com silvicultura, encontram-se principalmente nos setores centro e sudoeste do município em áreas planas próximas a canais de drenagem e nos topos do planalto, com abrangência de cerca de 2,2% da sua área territorial.



Figura 17 - Silvicultura com áreas de plantios de eucalipto em diferentes altitudes.

Fonte: Autores. Data: 2018.

## CLIMA

Desde a revolução industrial o aumento acelerado do crescimento econômico, por meio do avanço tecnológico, agravou a intervenção exercida pelo ser humano ao clima. Nessa perspectiva, é relevante a compreensão das relações entre o ser humano e o clima.

Na ciência da atmosfera, é feita uma distinção entre tempo e clima. O Tempo se refere ao estado da atmosfera em um determinado momento, sendo interpretado com o que sentimos, considerando a atmosfera como quente ou fria, úmida ou seca, limpa ou nublada. O tempo tem referência às mudanças cotidianas na temperatura e na precipitação.

O Clima é definido como a média das condições do tempo ao longo de um período de 30 anos. Desta forma, sua definição requer uma análise de uma série de dados, representando o comportamento das condições atmosféricas de determinado local por diversos anos consecutivos. Em síntese, o Clima apresenta uma generalização, enquanto o Tempo lida com eventos específicos.

Com relação aos aspectos climáticos do estado do Rio Grande do Sul, Rossato (2011) indica que o estado encontra-se em área de domínio do Clima subtropical, subdividido em quatro tipos principais: Subtropical I - Pouco Úmido (Subtropical Ia - Pouco Úmido com Inverno Frio e Verão Fresco, e Subtropical Ib - Pouco Úmido com Inverno Frio e Verão Quente); Subtropical II: Medianamente Úmido com Variação Longitudinal das Temperaturas Médias; Subtropical III: Úmido com Variação Longitudinal das Temperaturas Médias; e, d) Subtropical IV - Muito Úmido (Subtropical IVa - Muito Úmido com Inverno Fresco e Verão Quente, e Subtropical IVb - Muito Úmido com Inverno Frio e Verão Fresco).

Conforme observa-se no mapa da figura 18, o município de São Francisco de Assis encontra-se na transição entre o Clima Subtropical II (medianamente úmido com variação longitudinal das temperaturas médias) e Subtropical III (úmido com variação longitudinal das temperaturas médias).

No Clima Subtropical II, as chuvas oscilam entre 1500 e 1700 mm anuais distribuídas em 90 a 110 dias de chuva. Mensalmente a precipitação ocorre em 6 a 9

dias. A temperatura média anual varia entre 17° e 20° C e a temperatura média do mês mais frio oscila entre 11° e 14°C, enquanto, a temperatura média do mês mais quente varia entre 23° e 26°C. E no Clima Subtropical III, chove entre 1700 a 1800 mm ao ano em 100 a 120 dias de chuva. Há um leve aumento nos dias de precipitações mensais que nesta região são normalmente de 9 a 12 dias. A temperatura média anual varia entre 17 e 20°C. A temperatura média do mês mais frio oscila entre 11 e 14°C e a temperatura média do mês mais quente varia entre 23 e 26°C.

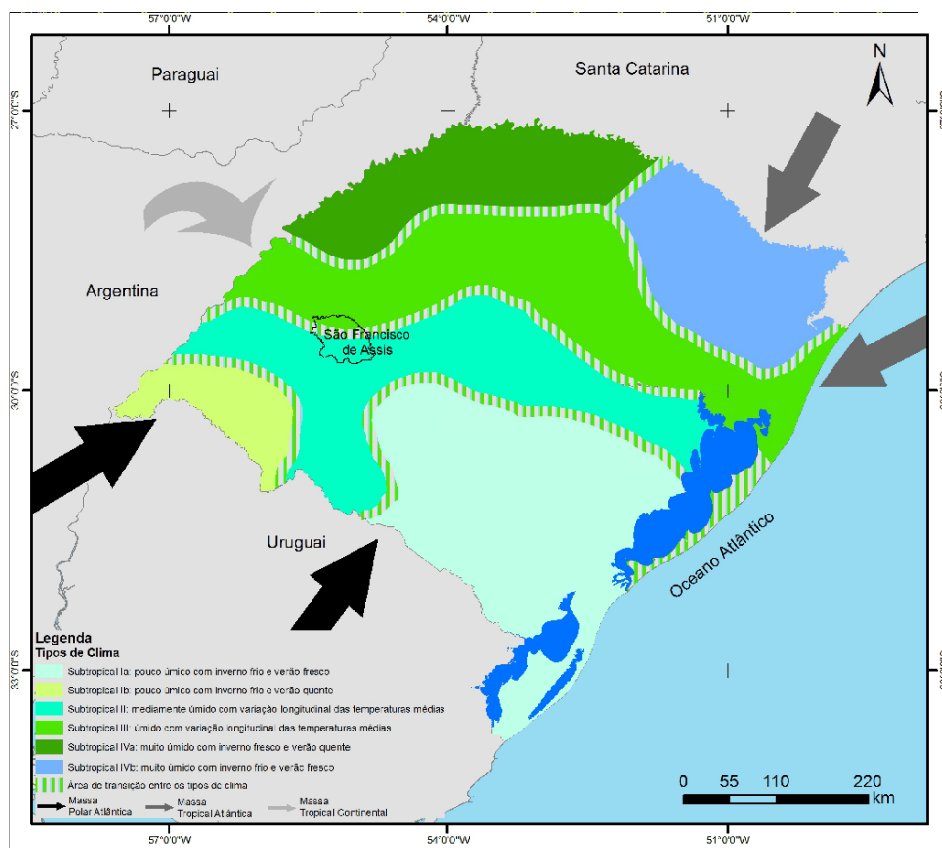


Figura 18 - Espacialização dos tipos de clima do estado do Rio Grande do Sul com destaque o município de São Francisco de Assis.

Fonte: Adaptado de Rossato (2011)

Por fim, os corpos hídricos, que correspondem aos cursos fluviais e açudes encontrados no município. Entre estes destacam-se os canais principais dos rios Ibicuí e Jaguari e seus afluentes (figura 19). Estas áreas normalmente encontram-se associadas à atividade agrícola, com orizicultura nas planícies de inundações.

Já em menor escala, destacam-se açudes, destinados a irrigação e atividade

piscicultura, assim como, no abastecimento de água para as atividades pastoris. No segmento turístico tem o Camping Balneário Praia do Jacaquá, localizado na porção centro sul de São Francisco de Assis, as margens do rio Ibicuí. Esta área é destinada as atividades de camping e lazer.

Os locais com corpos de água, encontram-se principalmente no setor sul do município junto aos canais de drenagem com abrangência de cerca de 0,3% da sua área territorial.

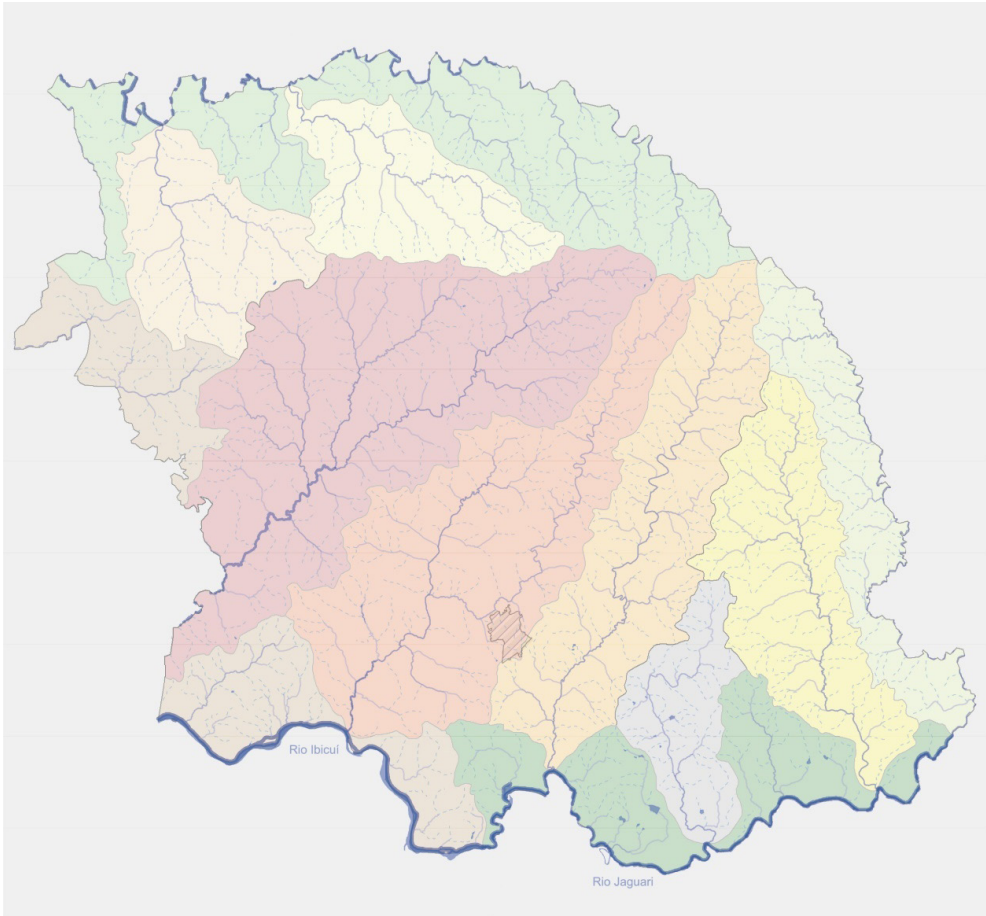


Figura 19 - Curso principal do rio Jaguari como um dos principais corpos de água do município

Fonte: Autores. Data: 2018.

# CAPÍTULO 3

## REDE HIDROGRÁFICA E CARACTERÍSTICAS DO RELEVO



### HIDROGRAFIA

#### Os rios e a conservação das matas ciliares

Hidrografia é a ciência que estuda as águas do planeta Terra, sejam as águas salgadas dos mares e oceanos, a água doce das geleiras e calotas polares, as águas subterrâneas e as águas superficiais dos lagos e rios.

A Bacia Hidrográfica, segundo o dicionário geológico-geomorfológico pode

ser definida como o conjunto de terras drenadas por um rio principal, seus afluentes e subafluentes (Guerra e Guerra, 1997). Portanto está associada à noção da existência de nascentes, divisores de águas (interflúvios, partes mais elevadas) e características dos cursos de água, principais e secundários, denominados afluentes e subafluentes. Uma bacia hidrográfica evidencia a hierarquização dos rios, ou seja, a organização natural por ordem de menor volume para os mais volumosos, que vai das partes mais altas para as mais baixas (Figura 20).

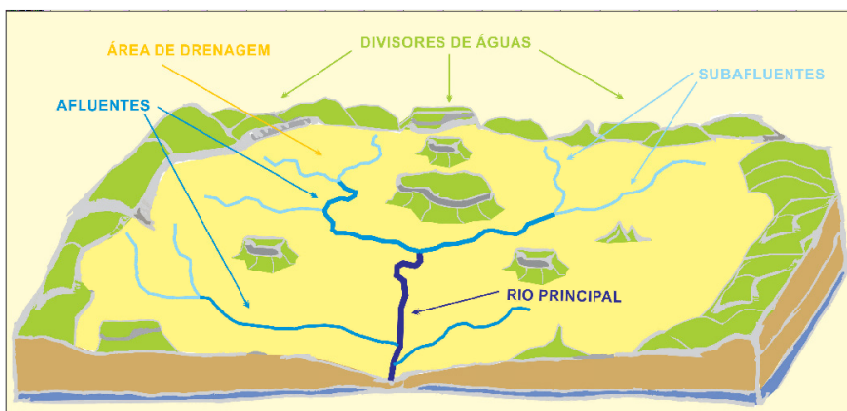


Figura 20 - Figura esquemática representando uma bacia hidrográfica.

Fonte: Autores

No município de São Francisco de Assis o sentido principal dos cursos d'água são de NE-SW, desaguardo no Rio Ibicuí e no rio Jaguari que também é um afluente do Ibicuí. A área do município é drenada pelas seguintes bacias hidrográficas (Figura 21): BH do rio Itu (594,78km<sup>2</sup>), BH do arroio Caraguatai (61,52km<sup>2</sup>), BH do arroio Piraju (29,34km<sup>2</sup>), BH do Arroio Inhacundá (362,47km<sup>2</sup>), BH do arroio Miracatu (474,24km<sup>2</sup>), Sub bacias abaixo de 3º ordem (Ibicuí) (121,86km<sup>2</sup>), BH do arroio Inhanduji (204,06km<sup>2</sup>), BH arroio Buricatu (33,11km<sup>2</sup>), BH do arroio Piquiri (129,17km<sup>2</sup>), BH do rio Jaguari Mirim (263,86km<sup>2</sup>), BH da Sanga Funda (96,12km<sup>2</sup>) e Sub bacias abaixo de 3º ordem (Jaguari) (138,78km<sup>2</sup>).

O arranjo espacial dos cursos fluviais apresenta um padrão predominantemente retangular-dendrítico, com um total de 2.891,8 km de canais, tendo uma densidade de drenagem de 1,15 km/km<sup>2</sup>, assim pode-se considerar de médio a mal drenado (valores de 0,5 km/km<sup>2</sup> são considerados mal drenados, com poucos canais e 3,5 km/km<sup>2</sup> é considerado bem drenado com elevado número de canais, conforme Christofolletti, 1977). O padrão retangular se deve ao significativo controle de falhas e fraturas onde os rios se estabelecem, ocorrendo predominantemente no norte do município associado as rochas vulcânicas de base. O padrão retangular, também, ocorre no restante do município, associado ao padrão dendrítico devido o substrato de rochas sedimentares de resistência uniforme ou estratificadas horizontalmente, com relevo pouco inclinado.



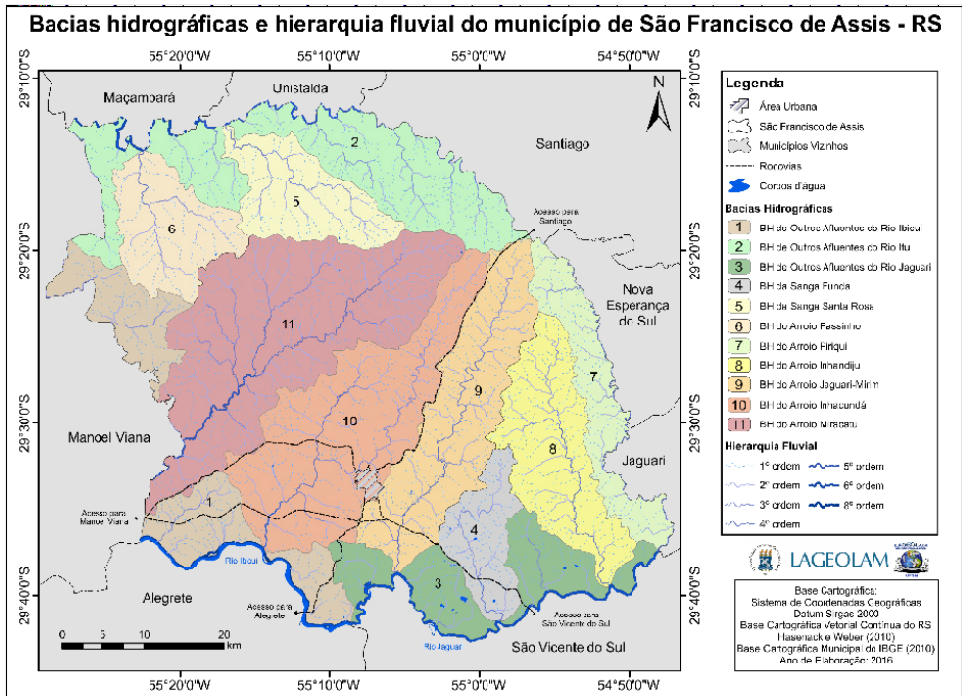


Figura 21 - Bacias Hidrográficas do município de São Francisco de Assis.

Fonte: Autores

## As matas ciliares

Na zona ripária, além do abrigo da biodiversidade com seu provimento de serviços ambientais, os solos úmidos e sua vegetação nas zonas de influência de rios e lagos são ecossistemas de reconhecida importância na atenuação de cheias e vazantes, na redução da erosão superficial, no condicionamento da qualidade da água e na manutenção de canais pela proteção de margens e redução do assoreamento. Além disso, o carbono e os sedimentos são fixados, a água em excesso é contida, a energia erosiva de correntezas é dissipada e os fluxos de nutrientes nas águas de percolação passam por filtragem química e por processamento microbiológico, o que reduz sua turbidez e aumenta sua pureza.

A eficiência dessas faixas de vegetação depende de vários fatores, entre eles a largura e o estado de conservação da vegetação e o tipo de serviço ecossistêmico considerado, incluindo-se, na sua avaliação, o papel das áreas ribeirinhas na conservação da biodiversidade.

A figura 22 mostra uma porção do Rio Ibicuí e do Rio Jaguari, no município de São Francisco de Assis, onde é possível observar, em ambos os rios, o variado grau de conservação da mata ciliar. Um ganho marginal para os proprietários das terras na redução da vegetação nessas áreas pode resultar num gigantesco ônus para a sociedade como um todo, especialmente, para a população urbana que mora naquela bacia ou região. Mesmo com a evolução do conhecimento científico e tecnológico, os custos para restaurar estas

áreas são ainda muito elevados, especialmente no caso das várzeas. Além do mais, nem todos os serviços ecossistêmicos são plenamente recuperados.

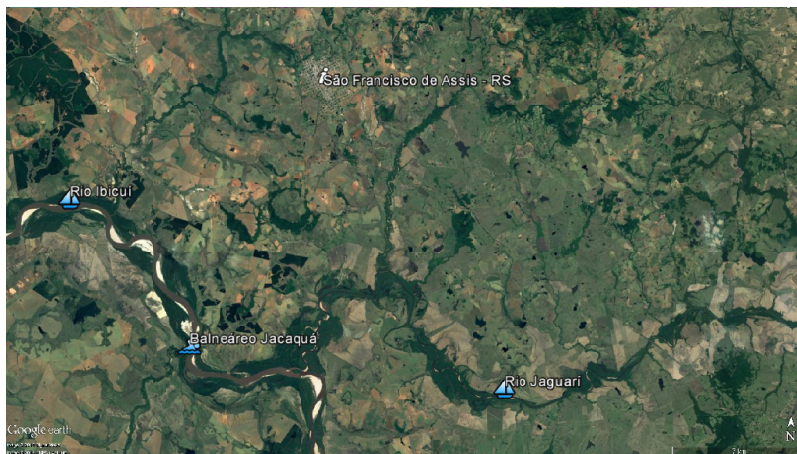


Figura 22 - Imagem mostrando as diferentes situações da mata ciliar dos rios Ibicuí e Jaguari.

Fonte: Google Earth Pro, 2016.

São Francisco de Assis têm suas terras drenadas pela Bacia Hidrográfica do Ibicuí, importante afluente do rio Uruguai, cuja Bacia drena grande parte das porções norte e oeste do Rio Grande do Sul (Figura 23).



Figura 23 - Bacias Hidrográficas do Estado do Rio Grande do Sul, com destaque para o município de São Francisco de Assis.

Fonte: Adaptado da SEMA, 2002.

O relevo pode ser definido como as formas da superfície do planeta que se origina e se transforma sob a interferência de agentes internos, como vulcanismo e tectonismo, e externos, como o intemperismo, erosão e a ação humana. Pode ser descrito por seus atributos como: hipsometria, declividade e forma das encostas. Estes parâmetros determinam as formas de relevo que ocorrem em uma determinada região.

A figura 24 apresenta um mosaico das cartas topográficas, que correspondem a área do município, utilizadas para estudo do relevo. Essas cartas foram confeccionadas pelo exército brasileiro, na escala de 1:50.000.

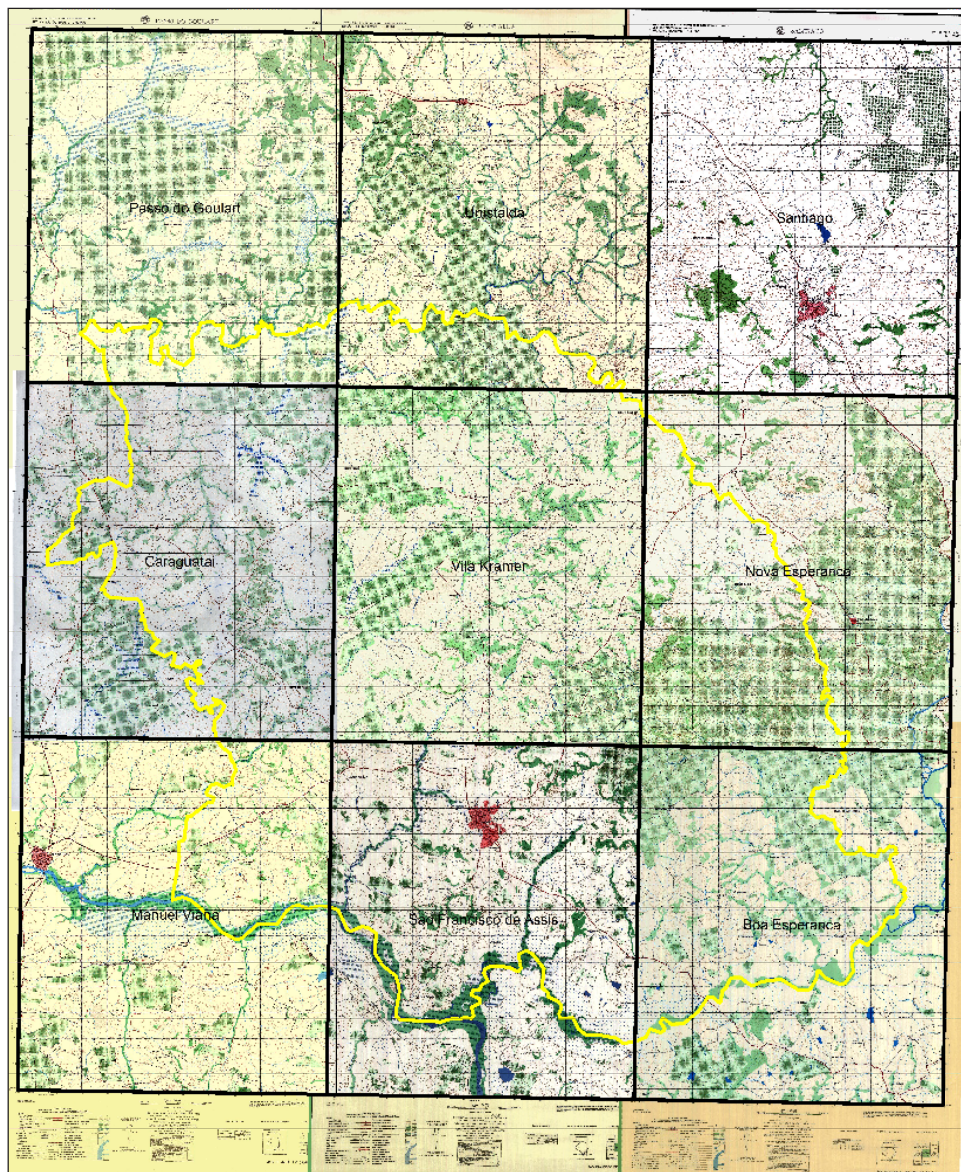


Figura 24 - Mosaico das Cartas Topográficas em escala 1:50.000 que recobrem o município de São Francisco de Assis.

Fonte: Autores

## ATRIBUTOS DO RELEVO

### Hipsometrias

Hipsometria pode ser definida como “a representação altimétrica do relevo de

uma região no mapa, pelo uso de cores convencionais” (Guerra e Guerra, 1979). Pela hipsometria determina-se a altitude de determinado lugar em relação ao nível do mar.

O município de São Francisco de Assis apresenta uma amplitude altimétrica de 380 metros, com a menor altitude na cota de 80 metros, junto às planícies do rio Ibicuí, e a maior altitude se apresenta na cota de 460 metros, localizada a Nordeste do município.

Para representação da hipsometria foram utilizadas as seguintes classes: menor que 120 metros; 120 até 200 metros, 200 até 280 metros, 280 até 360 metros e superiores a 360 metros (Figura 25). As altitudes mais representativas, no município, estão ocupadas pela classe de 120 a 200m que representam 41,79% da área total (Tabela 2).

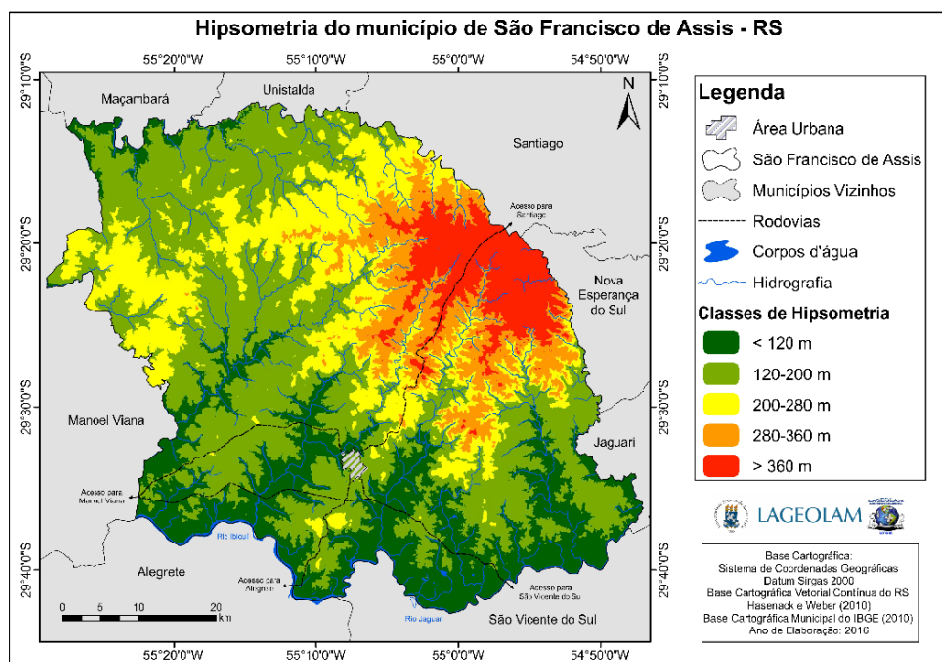


Figura 25 - Distribuição espacial das classes de elevação no município de São Francisco de Assis.

Fonte: Autores

Classes	Área km <sup>2</sup>	Porcentagem
< 120 m	549,99	21,93
120 - 200 m	1.048,43	41,79
200 - 280 m	493,66	19,68
280 - 360 m	230,77	9,20
> 360 m	185,64	7,40

Tabela 2 - Classe das elevações do município de São Francisco de Assis

Fonte: Autores

## Declividades

A declividade é uma relação entre o comprimento e a amplitude de uma encosta entre dois pontos, expressa em porcentagem. A Figura 26 apresenta uma encosta com declividade de 15%, indicada pela amplitude da encosta de 15m e comprimento no terreno de 100m. Esse valor de declividade corresponde um ângulo de aproximadamente 8 graus.

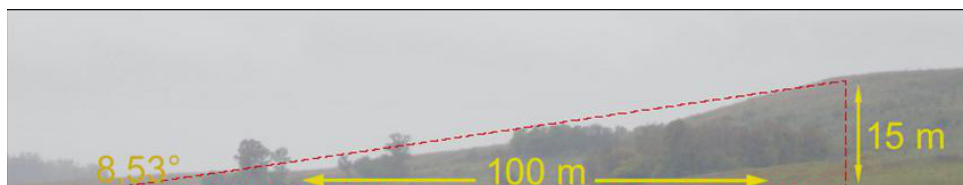


Figura 26 - Representação esquemática de vertente com declividade de 15%, aproximadamente 8°

Fonte: Menezes e Robaina (2011)

A distribuição das declividades do município de São Francisco de Assis, podem ser observadas na figura 27. As encostas com declividades inferiores a 2% ocorrem associadas aos principais vales fluviais, enquanto as encostas com declividades superiores a 15% ocorrem, principalmente, na porção centro-leste do município formando as bordas do Planalto e, também, em algumas áreas isoladas constituindo elevações que marcam o recuo do Planalto, formando morros e morrotes.

De forma geral, o município de São Francisco de Assis apresenta um relevo ondulado, onde predominam declividades entre 5 a 15% (Tabela 3).

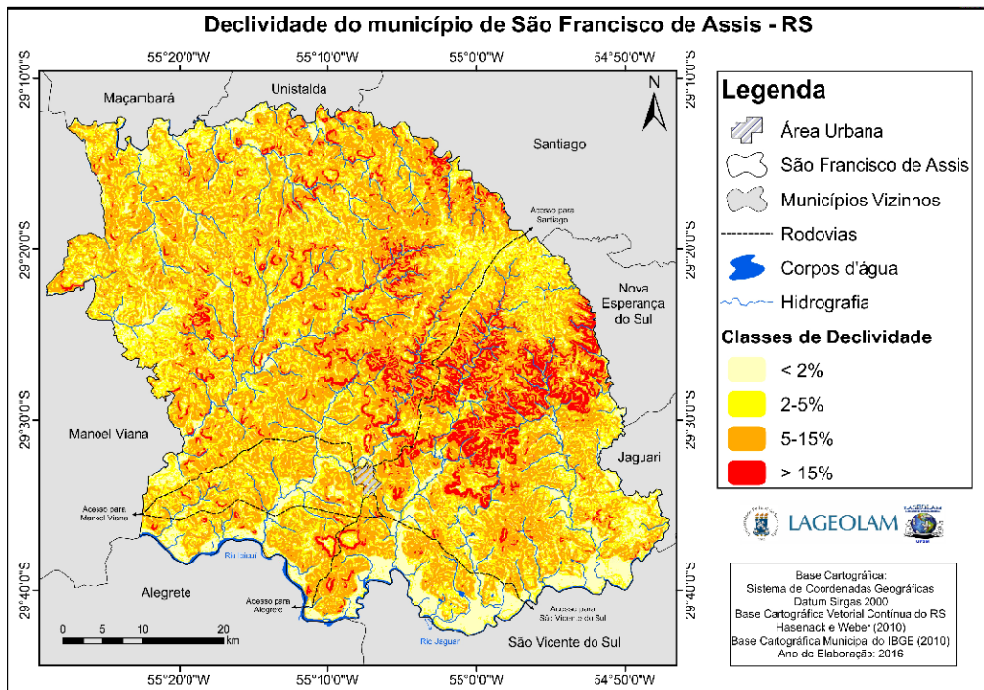


Figura 27 - Distribuição espacial das classes de declividade no município de São Francisco de Assis.

Fonte: Autores.

Classes	Área km <sup>2</sup>	Porcentagem
< 2%	374.31	14.92
2 - 5%	806.79	32.16
5 - 15%	1,113.57	44.39
> 15%	213.82	8.53

Tabela 3 - Classes de declividades do município de São Francisco de Assis

Fonte: Autores

### Unidades de relevo

O município de São Francisco de Assis, conforme Robaina et al., (2010) está localizado sobre duas grandes unidades geomorfológicas do Rio Grande do Sul que são: Depressão Central e o Planalto da Serra Geral (Figura 28). Na Depressão Central constitui os Modelados dos Patamares residuais em arenitos, do relevo ondulado em rochas fríáveis e de áreas planas aluviais. No Planalto da serra geral, constitui as unidades de Modelados de Patamares das Missões e Modelados de Rebordo do Planalto.

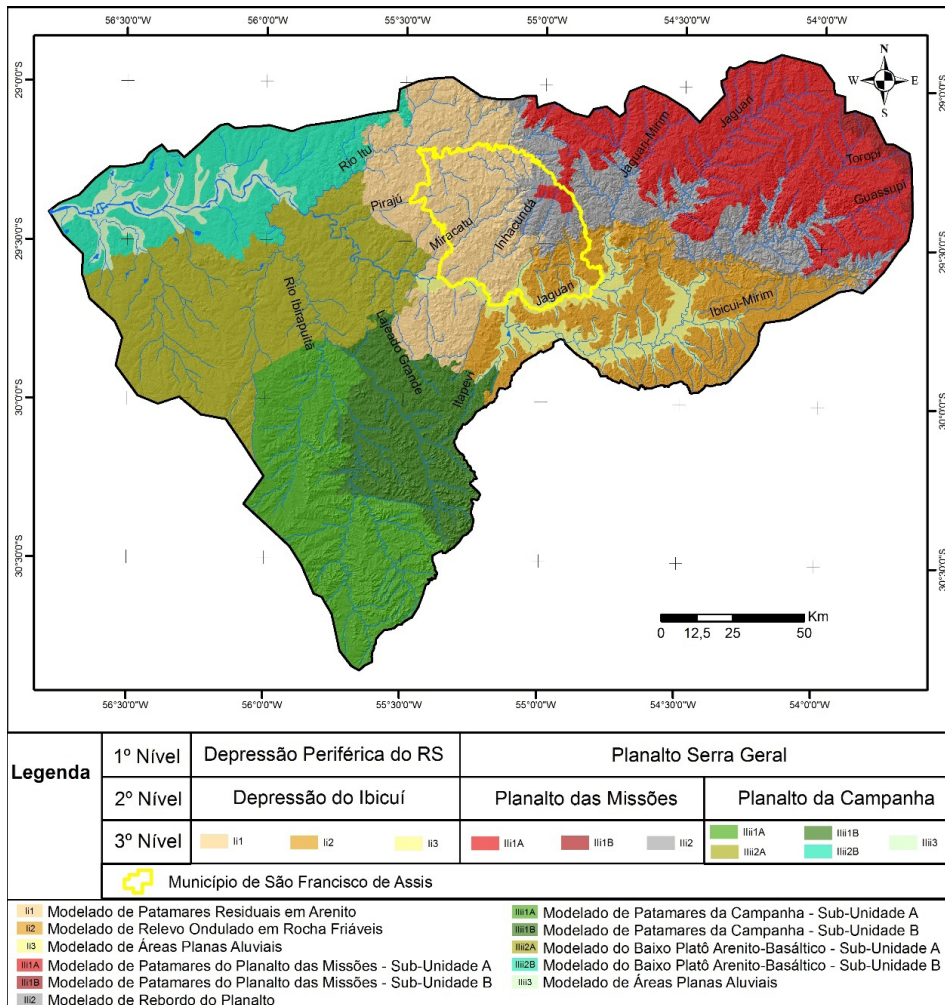


Figura 28 - Compartimentos geomorfológicos da BH do rio Ibicuí com destaque ao município de São Francisco de Assis.

Fonte: Autores.

Especificamente, o relevo no município se divide em três porções: a primeira é formada por áreas planas, junto aos rios Ibicuí, Jaguarí e seus principais afluentes, associadas a relevo de colinas; uma segunda porção de áreas escarpadas com relevo movimentado de morros e morrotes, associados com colinas entre patamares e a terceira porção de colinas de altitude (Figura 29).



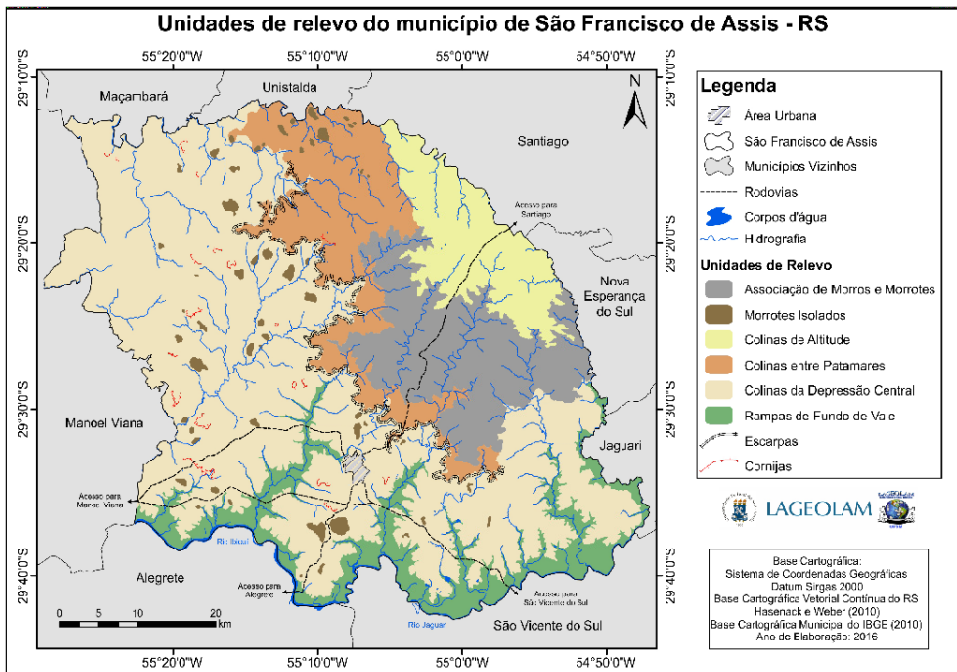


Figura 29 - Unidades de relevo do município de São Francisco de Assis.

Fonte: Autores.

O perfil da figura 30 apresenta um corte no terreno, de direção SW-NE, partindo da unidade de colinas da Depressão Central até a unidade de colinas de altitude. Pode-se observar as variações das formas em relação as altitudes, amplitudes e declividades.

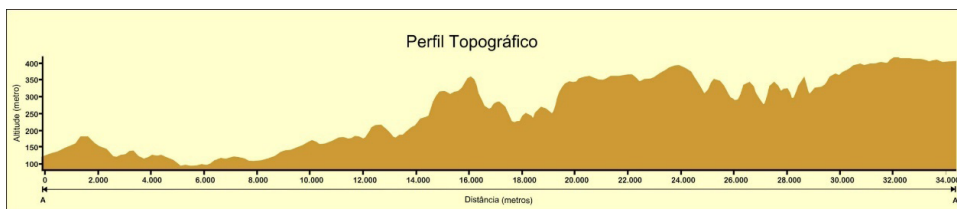


Figura 30 - Perfil topográfico representando o modelado do relevo do município

Fonte: Autores.

As colinas são áreas com inclinações suaves que se estendem por áreas que apresentam declividades entre 2 e 15%, comumente são áreas atingidas por eventos erosivos acelerados como areais e voçorocas. Apresenta uma vegetação campestre e o principal uso do solo é agricultura e pecuária.

As colinas entre patamares apresentam características morfológicas e de uso do solo semelhantes às colinas, porém estão localizadas sobre um patamar marcado por uma linha de escarpa formada por rochas mais resistentes para sul e pelo Rebordo do Planalto ao norte.

A escarpa, que divide o relevo de colinas do relevo de colinas entre escarpas se caracteriza por uma linha que se distribui no sentido sudeste para noroeste do município, sendo formada por camada rochosos mais resistente, que mantém essa feição de linha escarpada no terreno.

Também foram identificadas pequenas escarpas que formam degraus na meia encosta de colinas e nas colinas entre patamares que representam porções de rochas resistentes formando degraus de meia encosta, caracterizadas como cornijas.

As colinas de altitude, localizam-se no nordeste do município, onde ocorrem as maiores altitudes associadas ao Planalto, estando separadas das demais por uma região com declividades acentuadas, caracterizada pela presença de morros e morrotes.

As porções com relevo movimentado, representam as formas definidas como sendo associação de morros e morrotes, que apresentam como características a declividade superior a 15% e encostas vegetadas. Segundo (Oliveira e Brito 1998), morrotes são elevações com amplitude altimétrica que não ultrapassam 100 metros e morros apresentam amplitude superior a 100 metros.

Representando o recuo do Planalto, por ação erosiva, ocorrem os morrotes isolados, conhecidos regionalmente como Cerros.

No fundo dos vales, próximas as principais drenagens (rios Ibicuí e Jaguari), ocorrem as formas de rampas, onde predominam processos de deposição e nos períodos de fortes chuvas são suscetíveis a sofrerem inundações.



Colinas de altitude no nordeste do município.

Fonte: Autores. Data: 2018.



Cornijas de arenito na região central do município.

Fonte: Autores. Data: 2018.



Escarpas vegetadas na passagem da Depressão Central para o Planalto.

Fonte: Autores. Data: 2018.



Rampas de fundo do vale do rio Ibicuí, na porção sul do município.

Fonte: Autores. Data: 2018.



Morrote de arenito na porção centro sul do município.

Fonte: Autores. Data: 2018.



Colinas da Depressão Central.

Fonte: Autores. Data: 2018.



Morrote e morrotes na porção centro oeste do município.

Fonte: Autores. Data: 2018.



Morrote de rocha vulcânica na entrada da cidade de São Francisco de Assis.

Fonte: Autores. Data: 2018.



Antes de apresentar a geologia de São Francisco de Assis vamos conhecer alguma coisa sobre a história geológica do nosso Planeta.

Quando pensamos em movimento do Planeta lembramos dos movimentos de rotação e translação; entretanto não podemos esquecer que o chão que pisamos também se movimenta vagarosamente e vai modificando as paisagens do Planeta ao longo do tempo geológico. A Teoria da Tectônica Global de Placas, diz que cada placa rígida, está cercada por zonas sísmicamente ativas e os continentes estão sendo transportados nessas placas. Por placa entende-se um setor esférico indeformável da litosfera, constituído seja por material rochoso exclusivamente oceânico, seja de crosta oceânica e continental juntas. Na figura 31, observar-se uma ideia de como ocorreu essa deriva desde o Permiano, quando estava formado o grande continente PANGEA, até os dias atuais.

## DERIVA CONTINENTAL

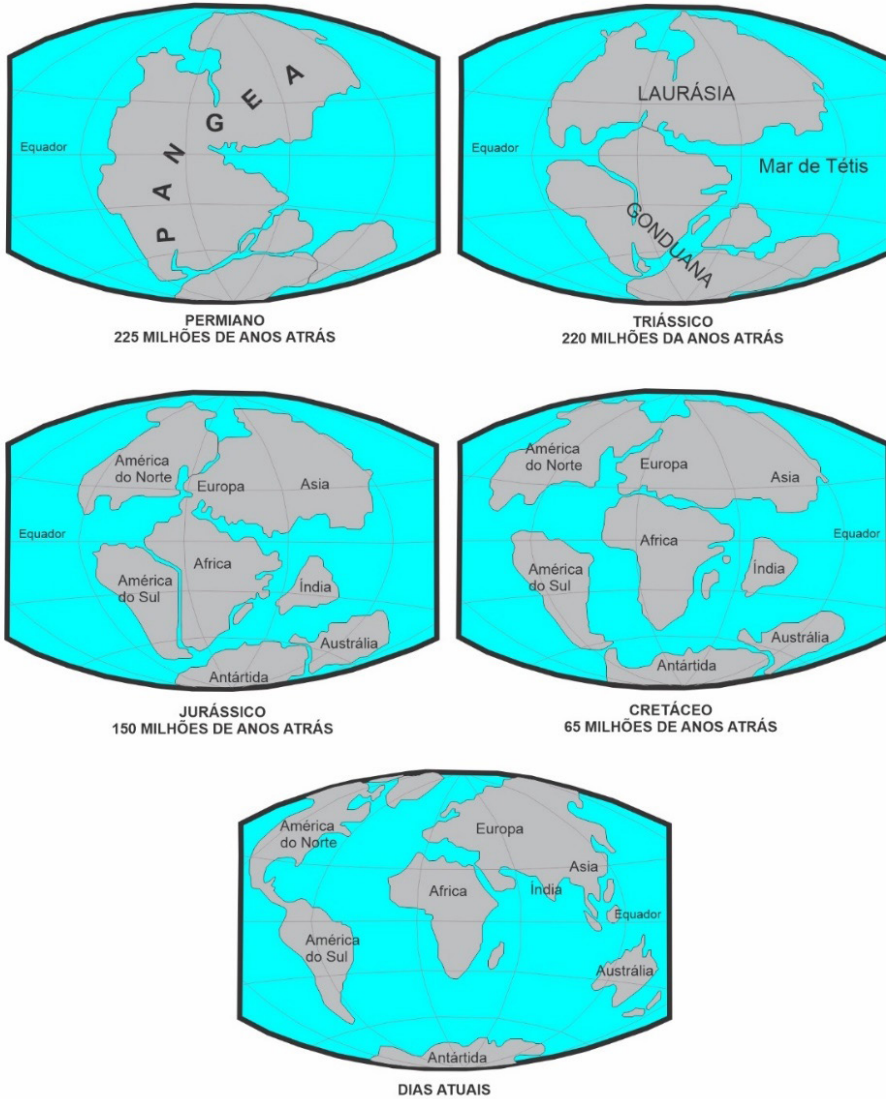


Figura 31 - Figura esquemática mostrando a evolução da Deriva Continental.

Fonte: Adaptado de TEIXEIRA et al., 2009.

Com a descoberta da correlação fóssilífera e da sucessão biótica, tornou-se possível à colocação das rochas em ordem cronológica, podendo estabelecer sua idade e ordenar as principais sucessões geológicas em uma escala de Tempo, com as divisões em Eras, Períodos e Épocas. A datação absoluta só foi possível com o surgimento dos métodos de datação radiométrica, que evoluíram no decorrer do século XX, quando foi estabelecida a idade da Terra.



Dois métodos são utilizados para datar os acontecimentos geológicos:

Relativo: estudo dos “fósseis” (Figura 32);

Absoluto: “decaimento radioativo” (Figura 33).

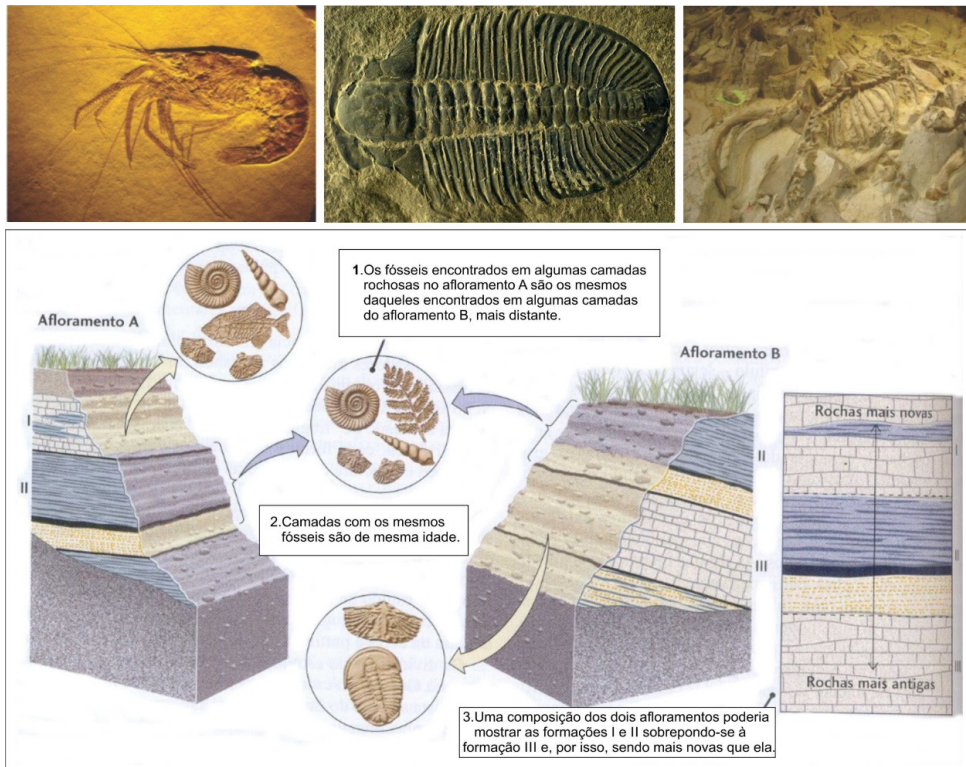


Figura 32 - Figura esquemática mostrando datação relativa através da identificação dos fósseis.

Fonte: Adaptado de TEIXEIRA et al., 2009.

O método radiométrico só foi possível com descoberta da radioatividade. Estudos realizados por Marie, Pierre e Beltram Boltwood mostraram a possibilidade de utilizar o método físico para datar a idade de rochas e minerais.

A idade é calculada pela quantidade de átomos do elemento-filho em um tempo chamado de meia vida do átomo do elemento-pai (Figura 31).

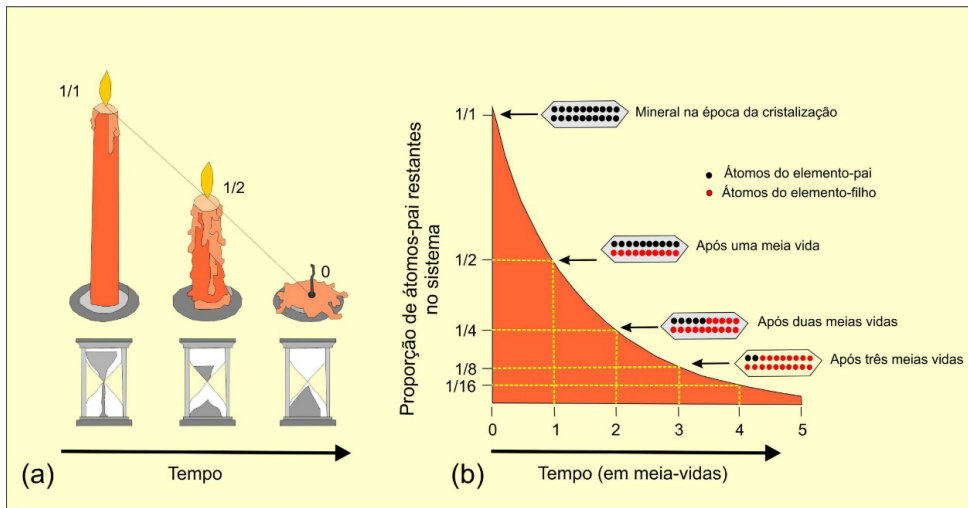


Figura 33 - Figura esquemática mostrando o cálculo da idade através da meia vida do elemento filho.

Fonte: Adaptado de TEIXEIRA et al., 2009.

O quadro 1 mostra a idade estimada dos principais eventos relacionados a história de Terra.

EVENTO	Idade estimada
A IDADE DA TERRA	Cerca de 4,6 bilhões de anos
OS PRIMEIROS ORGANISMOS	3,8 Bilhões de anos
OS DINOSSAUROS	248 / 65 Milhões de anos
O HOMOS SAPIENS	200 Mil anos
AGRICULTURA	8 / 10 Mil anos

Quadro 1 - Idade estimada dos eventos relacionados ao Planeta Terra

Fonte: Adaptado de TEIXEIRA et al., 2009.

## GEOLOGIA DE SÃO FRANCISCO DE ASSIS

As rochas que afloram no município estão associadas a uma sequência Vulcano-sedimentar, conhecida como Bacia do Paraná, com uma espessura total máxima em torno dos 7 mil metros, coincidindo geograficamente o centro de deposição com a região da calha do rio que lhe empresta o nome.

## Bacia do Paraná

A implantação da Bacia do Paraná deu-se na forma de depressões alongadas na direção NE-SW, seguindo as estruturas presentes no grande continente da Gondwana.

Segundo Salgado-Labouriau (1994) estima-se que o continente Gondwana (formado por fragmentos da América do Sul, Antártica, África, Austrália e Índia) se formou durante o período Cambriano (540 a 485 milhões AP), da era Paleozoica. Há cerca de 300 milhões de anos, durante o Período Carbonífero, os chamados supercontinentes Gondwana e Laurásia se colidiram, iniciando a consolidação de todas as massas continentais existentes em uma unidade: a PANGEA (Figura 34).

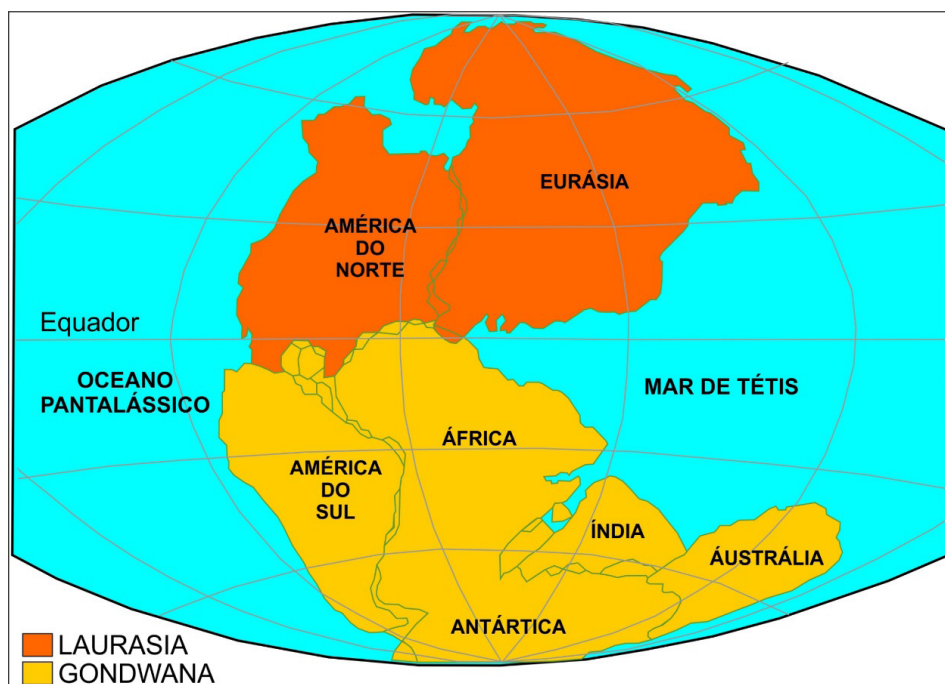


Figura 34 - Representação esquemática do supercontinente PANGEA.

Fonte: Adaptado de TEIXEIRA et al., 2009.

Para ordenar e comparar eventos passados, os geólogos desenvolveram uma escala de tempo padronizado e aplicado no mundo todo (Figura 35).

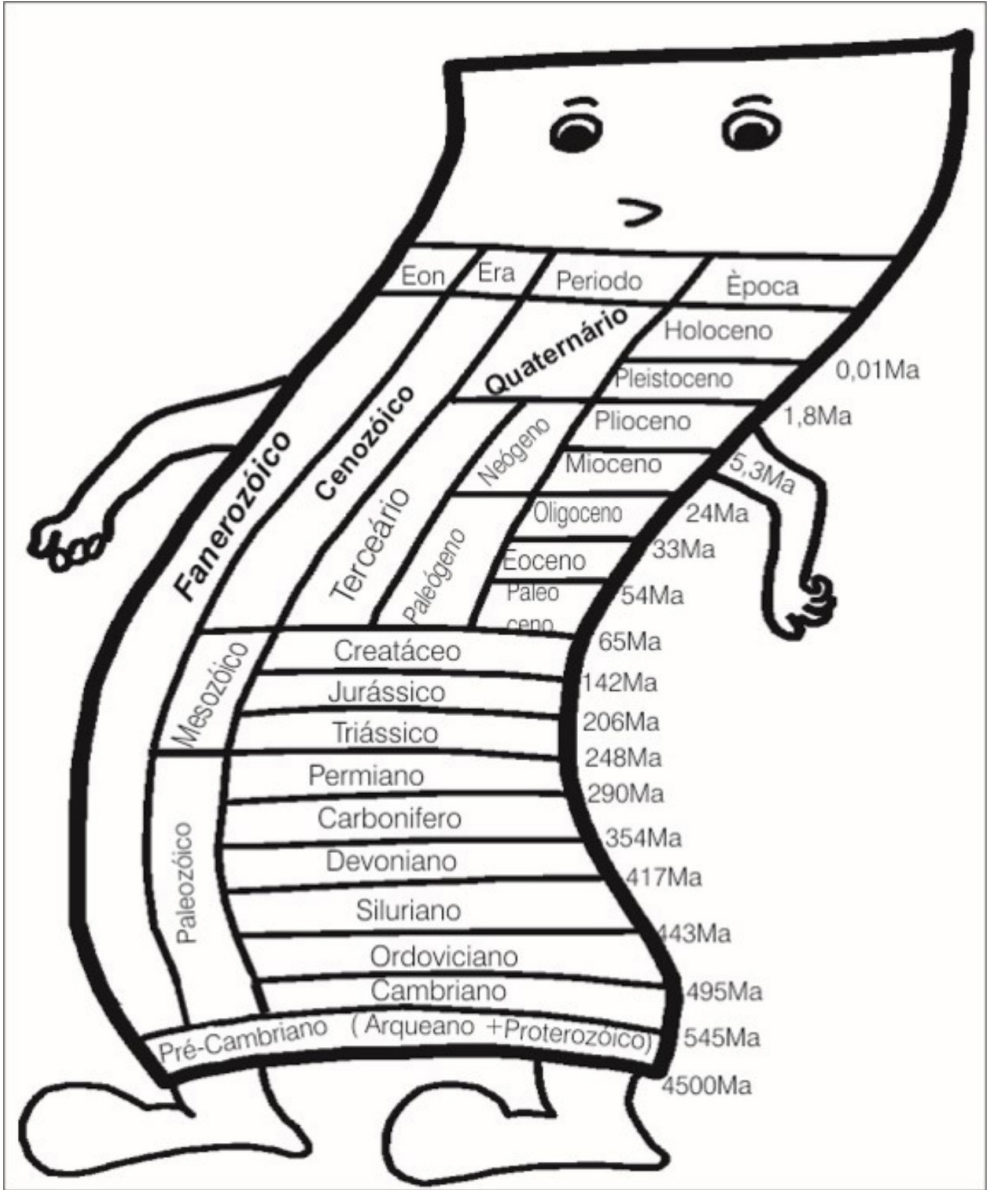


Figura 35 - Representação da escala do tempo geológico

Fonte: Autores.

Os depósitos da Bacia do Paraná formam uma ampla região do continente sul-americano que inclui porções territoriais do Brasil meridional, Paraguai oriental, nordeste da Argentina e norte do Uruguai, totalizando uma área que se aproxima dos 1,5 milhão de quilômetros quadrados (Figura 36).



Figura 36 - Representação da Bacia Sedimentar do Paraná.

Fonte: Autores

O registro geológico da Bacia do Paraná compreende um pacote sedimentar-magmático, que marcam processos de transgressão-regressão marinha e de mudanças climáticas. Milani (1997) reconheceu na Bacia do Paraná seis unidades de ampla escala

ou Supersequências (VAIL; MITCHUM JR.; THOMPSON III, 1977), na forma de pacotes rochosos materializando cada um deles intervalos temporais com algumas dezenas de milhões de anos de duração: Rio Ivai (Ordoviciano-Siluriano), Paraná (Devoniano), Gondwana I (Carbonífero-Eotriássico), Gondwana II (Meso a Neotriássico), Gondwana III (Neojurássico-Eocretáceo) e Bauru (Neocretáceo).

As três primeiras supersequências são representadas por sucessões sedimentares que definem ciclos transgressivo-regressivos ligados a oscilações do nível relativo do mar no Paleozóico, ao passo que as demais correspondem a pacotes de rochas sedimentares continentais com rochas ígneas associadas na fase final de deposição sedimentar do continente da Gondwana.

### Rochas aflorantes em São Francisco de Assis

As rochas que afloram no município representam sequências sedimentares continentais de rios e desertos associadas com rochas vulcânicas da Bacia do Paraná e depósitos recentes dos rios e de encostas (Figura 37).

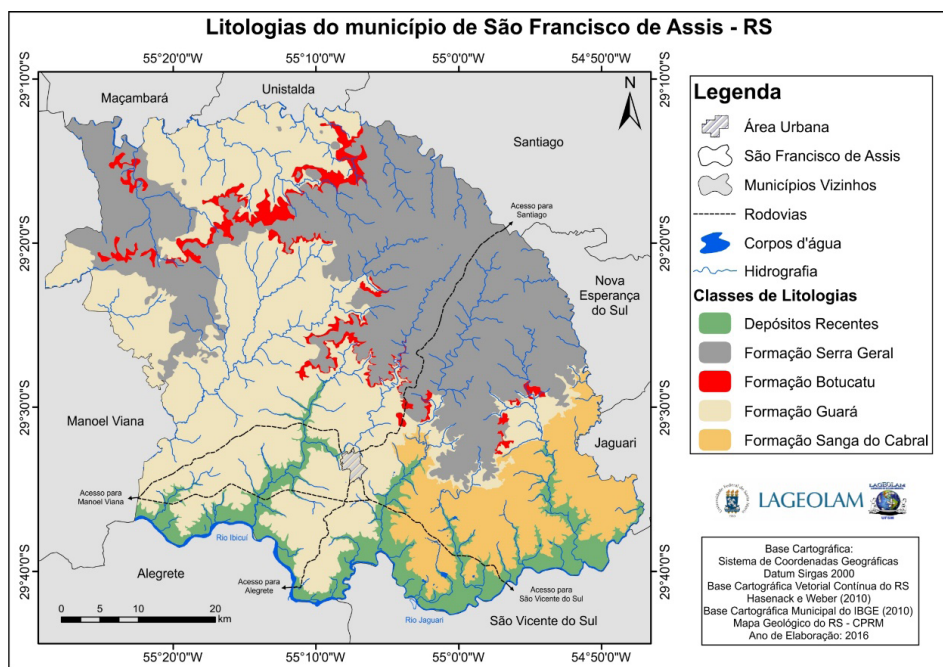


Figura 37 - Espacialização das litologias aflorantes no município de São Francisco de Assis.

Fonte: Autores.

As rochas mais antigas que afloram no município representam as últimas fases de deposição da Bacia do Paraná (Permiano Superior – Triássico) representando o avanço de depósitos continentais e são marcados por uma espessa sucessão flúvio-

eólica que corresponde à Formação Sanga do Cabral (Lavina,1988). Essas rochas estão representadas por arenitos que se caracterizam pela presença comum de micas e por apresentar concreções carbonáticas (Figura 38). Indicam condição de grandes rios meandранtes escoando em uma região árida, em uma paisagem que lembra as condições do rio Nilo, no norte da África (Figura 39).

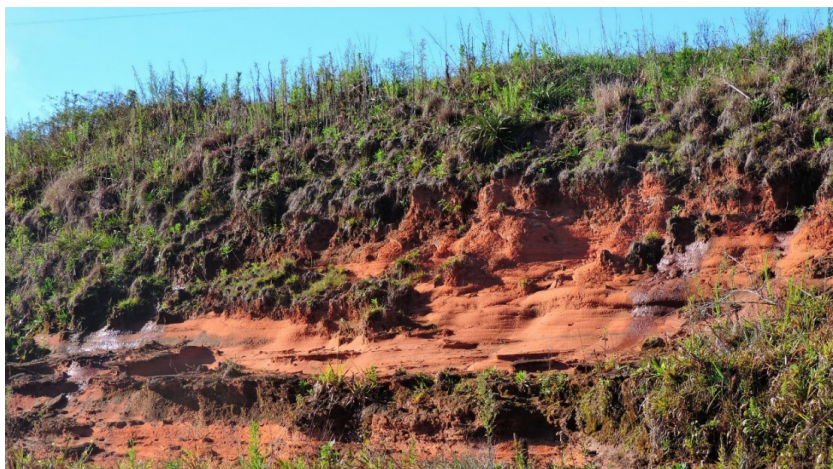


Figura 38 - Afloramentos de arenito com mica da Formação Sanga do Cabral no município de São Francisco de Assis.

Fonte: Autores. Data: 2018.



Figura 39 - Imagem do Rio Nilo, ambiente semelhante à Formação Sanga do Cabral.

Fonte: [http://www.khanelkhalili.com.br/imagesnew3/mapas/Luxor/600px-Tutankhamen\\_map\\_Valle\\_Re\\_Nilo\\_space\\_STS026-041-058.jpg](http://www.khanelkhalili.com.br/imagesnew3/mapas/Luxor/600px-Tutankhamen_map_Valle_Re_Nilo_space_STS026-041-058.jpg)

A outra sequência fluvial, encontrada no município, corresponde a um substrato identificado por uma sequência de arenitos com grânulos e associações com sequência pelíticas de características fluviais (Figura 40). Em algumas porções a alta coesão dos grãos, devido à intensa concentração de óxido de ferro e, por vezes, sílica, confere as rochas maior resistência, geralmente nas camadas superiores, expondo feições de relevo com encostas íngremes e afloramentos de rochas (Figura 41). Por outro lado, estas rochas apresentam-se muito friáveis e, com alto grau de alteração, quando pouco cimentadas, o que condiciona a formação de intensos processos erosivos (Figura 42).

Essa litologia está associada à sequência litoestratigráfica que Wildner et al., (2006) determinaram como Formação Guará com sedimentação do Período Jurássico.



Figura 40 - Fotografia do Rio Tigre (Mesopotâmia) ambiente de formação de semelhante ao da Formação Guará.

Fonte: <http://www1.folha.uol.com.br/turismo/2014/10/1525107-cidade-na-mesopotamia-sera-invadida-pelas-aguas-do-rio-tigre-ate-2015.shtml>





Figura 41 - Afloramento de arenito com grânulos da Formação Guará bastante silicificado formando degraus na meia encosta.

Fonte: Autores. Data: 2018.



Figura 42 - Areal sobre a Formação Guará no município de São Francisco de Assis.

Fonte: Autores. Data: 2018.

No final do Jurássico, início do Cretáceo com avanço do Deserto na Bacia do Paraná os sedimentos estão representados por uma sequência eólica da Formação Botucatu, compostas por arenito avermelhado, finos a médios, bem selecionados com grãos arredondados e com alta esfericidade. Estas rochas apresentam camadas com estratificação cruzada alongada.

O Deserto de Botucatu possuía características como as do atual deserto do Saara na África, com seus “mares” de areia, tempestades de areia e campos de dunas (Figura 43). A figura 44 apresenta afloramentos de rocha da Formação Botucatu no município de São Francisco de Assis.



Figura 43 - Situação de clima desértico semelhante ao ambiente da Formação Botucatu.

Fonte: <https://www.flickr.com/photos/mercefl76/5481349751>



Figura 44 - Afloramento de arenito eólico da Formação Botucatu no município de São Francisco de Assis.

Fonte: Autores. Data: 2018.

No Período Cretáceo (145 a 66 milhões AP) iniciou-se a gradual fragmentação do grande continente Pangea. Devido ao início do processo de separação continental ocorrem pacotes de lavas da Formação Serra Geral (Figura 45).

As rochas vulcânicas da Formação Serra Geral, apresentam composição básica e ácida, originadas a partir dos derrames provenientes do vulcanismo fissural, ocorrido na bacia do Paraná durante a Era Mesozoica. Estas rochas ocorrem arrançadas conforme

um padrão decrescente de idades em direção ao topo. Isso reflete um comportamento de empilhamento de lavas, (provavelmente 5 sequências de derrames), determinados pela observação da textura e estrutura das rochas.



Figura 45 - Situação vulcanismo, ambiente semelhante ao originário da Formação Serra Geral.

Fonte: [http://www.notapositiva.com/pt/trbestbs/ciencnatur/imagens/07\\_vulcanismo\\_09\\_d.jpg](http://www.notapositiva.com/pt/trbestbs/ciencnatur/imagens/07_vulcanismo_09_d.jpg)

As sequências de derrames são identificadas na forma de patamares nas encostas dos vales. As rochas vulcânicas (Figura 46), identificadas em diferentes porções da área de estudo, apresentam derrames com espessura variável (até aproximadamente 60m), e afloram em topografias diversas, expondo zonas variadas dos derrames. A disposição dessas zonas define da base ao topo do derrame quatro porções com características distintas. Ora as zonas de base do derrame se expõem na superfície, através de rochas constituídas por material vítreo, decorrente do resfriamento muito rápido da lava em contato com a superfície. Ora afloram as porções de diaclases horizontais (Figura 47), e textura afanítica, devido ao resfriamento mais lento da lava, ocorrendo, por vezes, algumas vesículas alongadas no sentido horizontal.

As porções centrais do derrame aparecem na superfície, através das diaclases verticais, constituído por textura mais grosseira, devido o resfriamento ter sido muito mais lento. Aparecem ainda, porções de maior alteração, com grande quantidade de vesículas amigdalóides e geodos, além de porções brechóides que identificam porções de topo de derrame. Estas diferenças são perceptíveis em campo e permitem identificar mudanças no relevo e nos tipos de solos, devido às diferenças no processo de intemperização dos derrames.

Nas escarpas, as zonas da base e de diaclases horizontais são geralmente locais com surgências de água e menor resistência a decomposição, o que condiciona o crescimento de vegetação arbórea. Estas características tornam possível a identificação de pacotes de rochas vulcânicas que pertencem a mais de um derrame.



Figura 46 - Afloramento de rocha vulcânica no município de São Francisco de Assis.

Fonte: Autores. Data: 2018.



Figura 47 - Diaclasamento horizontal em rocha vulcânica.

Fonte: Autores. Data: 2018.

Alguns morros e morrotes isolados possuem uma capa fina de rocha vulcânica, testemunhando o recuo dos derrames devido aos processos erosivos. A vegetação é mais desenvolvida nas escarpas destas feições de relevo. Os movimentos de massa e deslocamento de blocos são característicos desses locais.

Também ocorrem situações de morros ou morrotes, que apresentam maior resistência ao intemperismo, devido a formação associada à diques de diabásio, que são corpos intrusivos de rocha vulcânica (Figura 48).

Nos intervalos entre os sucessivos pacotes de lavas ocorre, eventualmente, a deposição de sedimentos arenosos, constituindo os arenitos intertrápicos. Tais arenitos, por vezes aparecem silicificados, condicionando um relevo, com cornijas, constituindo-se por uma camada rígida e escarpas abruptas.

As sequências geológicas mais recentes ocorrem nas áreas de acumulação, junto à planície de inundação, na calha dos arroios e ao longo de sua planície de inundação. Estes depósitos aluviais são compostos de areia grossa a fina, e sedimentos siltico argiloso, sendo encontrados em altitudes com até 120m, em relevo de planícies. Os depósitos recentes se formam ao longo dos rios, manifestando a dinâmica hídrica dos canais de escoamento, que erodem e depositam nas margens os sedimentos das rochas presente ao longo das bacias hidrográficas drenadas (Figura 49).

Além desses são identificados terraços fluviais que indicam um entalhamento das drenagens e a exposição de depósitos de canais em cotas topográficas mais elevadas que as atuais (Figura 50).

Associado as encostas íngremes ocorrem depósitos de escorregamentos, tálus e os colúvios, formados por fragmentos de rochas oriundo das encostas, sedimentares ou vulcânicas, de tamanhos e formas diversificadas.



Figura 48 - Dique de diabásio na entrada da cidade de São Francisco de Assis, utilizado para extração de material de empréstimo.

Fonte: Autores. Data: 2018.



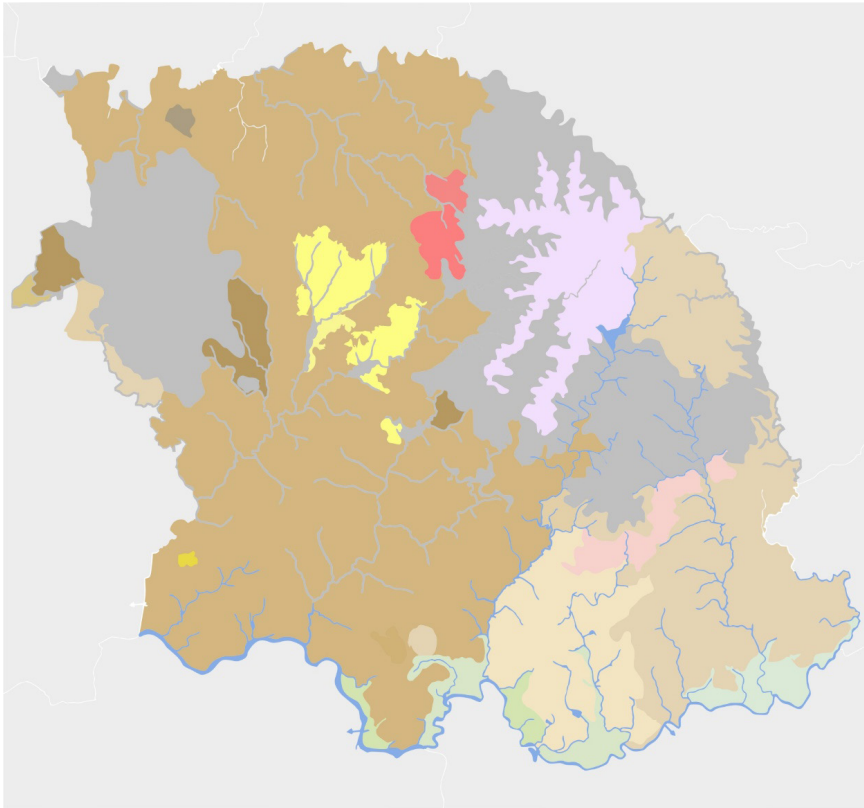
Figura 49 - Depósito arenosos de barra no rio Ibicuí.

Fonte: Autores. Data: 2018.



Figura 50 - Terraço fluvial no município de São Francisco de Assis.

Fonte: Autores. Data: 2018.



O solo pode ser entendido como o manto superficial formado por rocha desagregada, cinzas vulcânicas, mistura de matéria orgânica em decomposição, contendo ainda água e ar em proporções variáveis e organismos vivos.

A matéria sólida mineral é preponderantemente proveniente de rochas desagregadas no próprio local ou em locais distantes, trazidas pela água e ar. A desagregação das rochas se dá por ações físicas, químicas e biológicas, que constituem o que se denomina de intemperismo.

Os solos apresentam uma grande variabilidade em função de fatores como o material de origem, clima, relevo e o tempo (estágio de formação em que se encontra), interferindo em características como cor, textura e profundidade, entre outras.

Os horizontes do solo representam diferentes estágios de sua formação, assim como

as suas características, a presença ou ausência de algum destes horizontes permitem classificar os distintos tipos de solo (Figura 51).

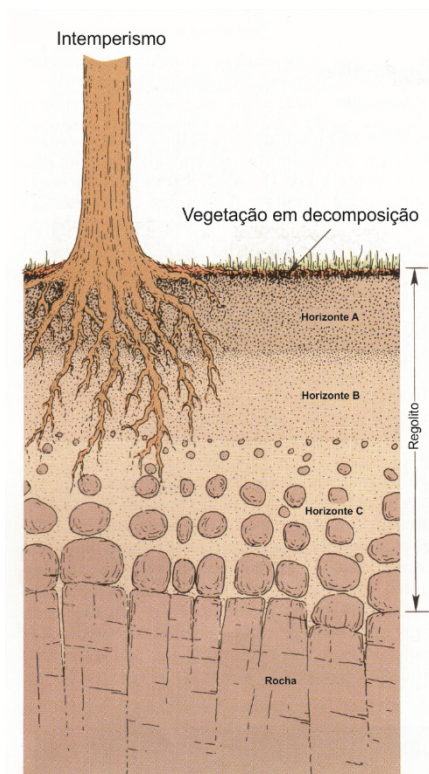


Figura 51 - Esquema de um perfil de solo.

Fonte: Adaptado de HAMBLIN; CHRISTIANSEN, 1985

Com base em STRECK et al., 2008 no município de São Francisco de Assis encontram-se as seguintes classes de solos (conforme o Sistema Brasileiro de Classificação de Solos – SiBCS - de 1999): solos hidromórficos divididos em Gleissolos, Planossolos e Neossolos Quartzarênicos Flúvicos; os solos mal desenvolvidos que são Cambissolos e Neossolos Litólicos e Quartzarênicos; e os solos bem desenvolvidos que são definidos como Argissolos, Latossolos e Nitossolos (Figura 52).



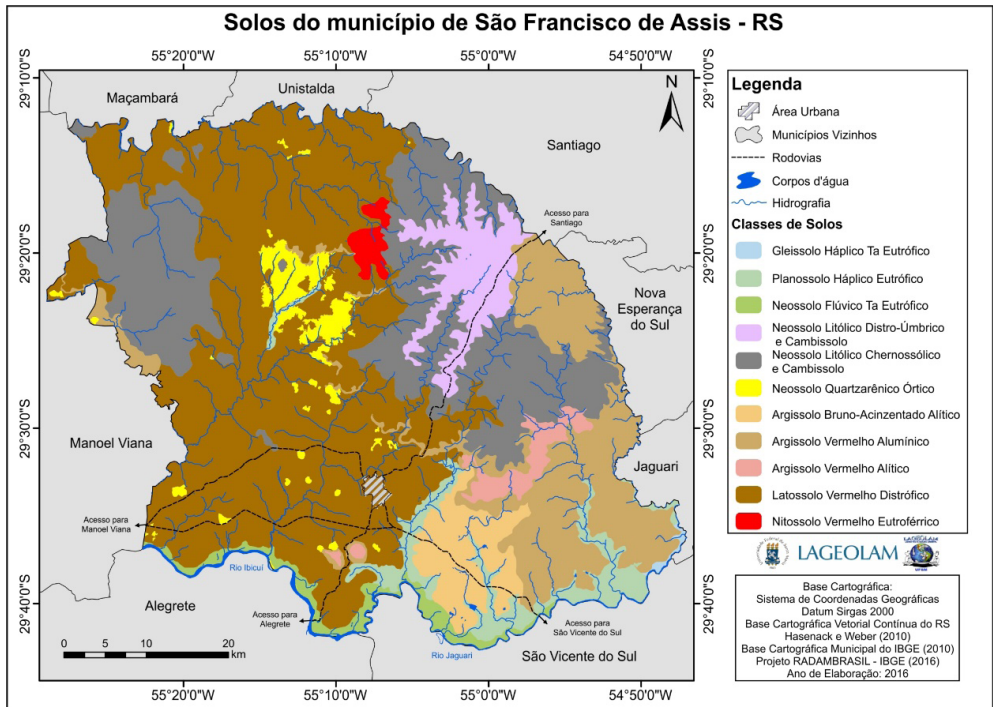


Figura 52 - Mapa de solos do município de São Francisco de Assis.

Fonte: Os autores.

Os solos hidromórficos estão associados, principalmente, as várzeas dos grandes rios que marcam as divisas do município, como o rio Jaguari e o rio Ibicuí. Junto aos rios formam-se os Gleissolos e sobre a várzea os Planossolos (Figura 53). Ocorrem, ainda, sobre bancos arenosos, associados ao canal fluvial, solos arenosos mal desenvolvidos identificados como Neossolos Quartzarênicos Flúvicos.



Figura 53 - Solos hidromórficos.

Fonte: Os autores. Data: 2018.

Sobre o substrato de rochas vulcânicas com relevo ondulado são comuns solos mal desenvolvidos formando uma associação de Cambissolos e Neossolos Litólicos, que muitas vezes apresentam o Horizonte A com matéria orgânica e pedregoso (Figura 54), constituindo horizonte chernossólico.



Figura 54 - Perfil de Cambissolo.

Fonte: Os autores. Data: 2018.

Na porção NE do município, ainda com substrato vulcânico, ocorrem solos bem desenvolvidos que são classificados como Argissolos Vermelhos e estão associados a porções menos resistentes dos derrames. Estes solos, também, ocorrem na porção SE do município, sobre um substrato de arenitos finos em relevo de colinas. Nas porções mais finas, menos permeáveis dos arenitos, ocorrem Argissolos Bruno, enquanto, nas porções mais arenosas Argissolos Vermelhos (Figura 55).



Figura 55 - Perfil de Argissolo.

Fonte: Os autores. Data: 2018.

Junto a Vila Kramer com uma alteração mais importante, devido a ocorrência da porção de topo de derrame, se desenvolvem porções com solos minerais homogêneos, com pequena diferenciação de Horizontes conforme a variação da profundidade, com estrutura do horizonte subsuperficial de blocos ou prismas bem definidos com cerosidade nas fraturas e, por isso, são classificados como Nitossolos vermelhos.

Associados aos arenitos médios a finos das Formações Guará e Botucatu, que predominam no município, se desenvolvem solos classificados como Latossolos vermelhos com textura arenosa (Figura 56) e algumas vezes Neossolos Quartzarênicos devido a rocha original possuir pouca argila e poucos minerais alteráveis. Os Neossolos ocorrem em um relevo ondulado com vegetação xerófila identificada como butiazeiro-anão (*Butia lallemantii*) (Figura 57) que se caracteriza por uma palmeira anã e cespitosa, com copa hemisférica, de 70-120 cm de altura que podem formar grandes áreas. Além disso, a

degradação destes solos gera campos de areia onde a ação do vento desenvolve dunas.



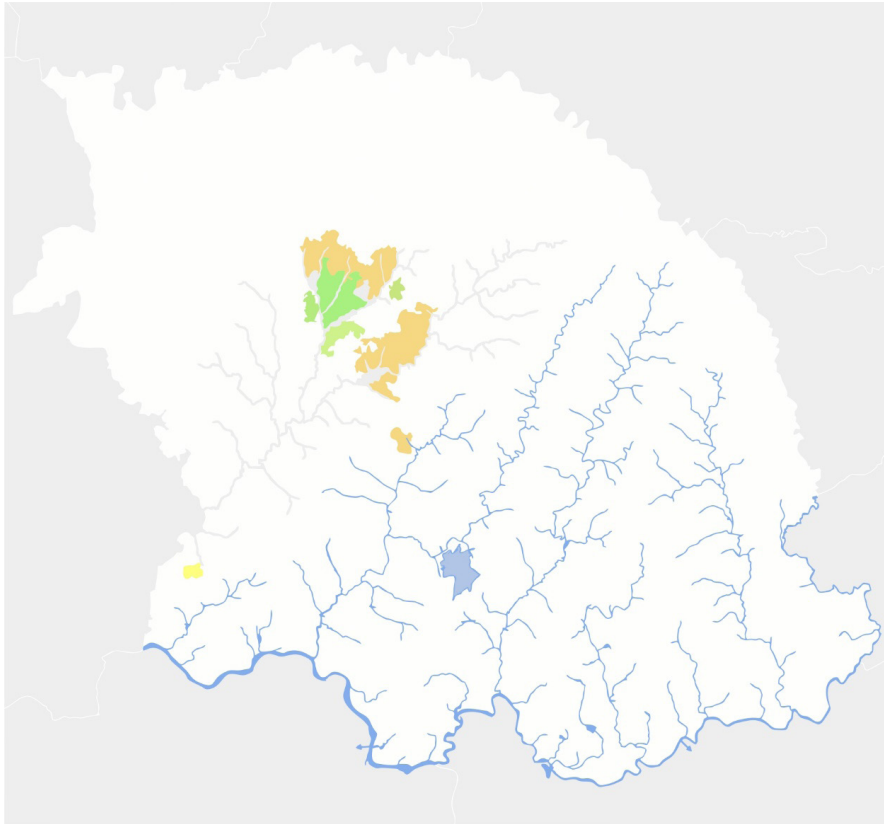
Figura 56 - Perfil de Latossolo Argiloso.

Fonte: Os autores. Data: 2018.



Figura 57 - Colinas de arenito com Neossolos Quartzarênicos e Butiá anão.

Fonte: Os autores. Data: 2018.



Na porção central do município de São Francisco de Assis (Figura 58) podem ser observadas diversas áreas com relevo suave-ondulado formando colinas onde ocorrem intensos processos erosivos relacionados a locais com concentração de rochas areníticas friáveis que dão origem aos areais ou campos de areia.

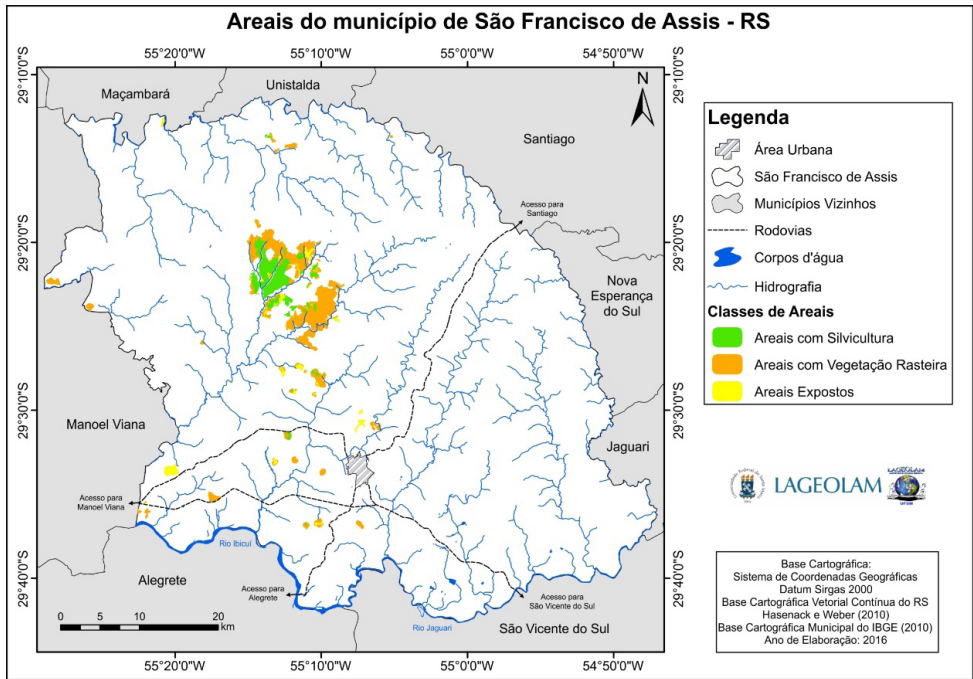


Figura 58 - Mapa dos areais de São Francisco de Assis - RS.

Fonte: Os autores.

Os processos erosivos que originaram os conhecidos campos de areia ou areais de São Francisco de Assis são condicionados principalmente pela baixa coesão e cimentação de sedimentos e rochas areníticas, quer seja por óxido de ferro ou sílica, o que permite a sua exposição e desagregação (Figura 59).



Figura 59 - Afloramento de rochas areníticas e a formação de areais.

Fonte: Os autores. Data: 2018.

De modo geral, os areais encontrados no município abrangem uma área de cerca de 86,74 km<sup>2</sup> (tabela 4), se apresentando de diferentes formas e dimensões e, quando não expostos, se encontram cobertos predominantemente por vegetação rasteira (nativa ou plantada) típica de campo e vegetação arbórea representada pelos florestamentos (silvicultura).

TIPOS DE AREAIS	ÁREA (km <sup>2</sup> )	PORCENTAGEM
AREAIS EXPOSTOS	8,86	0,35
AREAIS COM VEGETAÇÃO RASTEIRA	51,03	2,03
AREAIS COM SILVICULTURA	26,86	1,07
ÁREA TOTAL DOS AREAIS	86,74	3,45
ÁREA DO MUNICÍPIO	2.508,49	100

Tabela 4 - Classificação dos Areais de São Francisco

Fonte: os autores

Os areais expostos (Figura 60) se caracterizam por extensas áreas com processos erosivos e exposição de sedimentos arenosos retrabalhados pelo vento. Perfazem uma área de cerca de 8,86 km<sup>2</sup>, representando cerca de 0,35% da área total do município.

Cabe destacar que a evolução do processo de arenização está associada com a dinâmica dos ventos predominantes na região e aos efeitos da erosão hídrica local, que somadas, ampliam sua área de influência espalhando os sedimentos arenosos dificultando a instalação da cobertura vegetal.



Figura 60 - Vista panorâmica de um areal localizado próximo a BR 377.

Fonte: Os autores. Data: 2018.

Os areais com vegetação rasteira, parcialmente são utilizados no desenvolvimento de atividades ligadas a pecuária servindo como locais de pastagens (cultivadas ou de gramíneas nativas) para a criação extensiva de ovinos e bovinos (Figura 61). Perfazem uma área de cerca de 51,03 km<sup>2</sup>, representando cerca de 2,03% da área do município.



Figura 61 - Areais com vegetação rasteira com presença de gado bovino.

Fonte: Os autores. Data: 2018.

Nas áreas de areais com predomínio de vegetação rasteira também pode-se destacar a presença de espécies vegetais típicas do bioma Pampa como é o caso do butiazeiro-anão (*Butia lallemantii* Deble & Marchiori, Arecaceae) que formam lindas paisagens em campos nativos (Figura 62).



Figura 62 - Areais com vegetação rasteira e a presença de butiazeiro-anão.

Fonte: Os autores. Data: 2018.



Os areais com silvicultura correspondem aos locais onde foram realizados grandes florestamentos, feitos com o plantio de eucaliptos (Figura 63), que se distribuem por diversas áreas da região. Perfazem uma área de cerca de 26,86 km<sup>2</sup>, representando cerca de 1,07% da área do município.



Figura 63 - Areais com silvicultura de eucaliptos.

Fonte: Os autores. Data: 2018.

Apesar dos areais serem áreas com intensos processos erosivos e vistos como locais de degradação ambiental possuem características específicas que devem ser consideradas e sua importância pode ser destacada principalmente na realização de estudos buscando o entendimento paleoclimático e de evolução da paisagem na região (Figura 64).

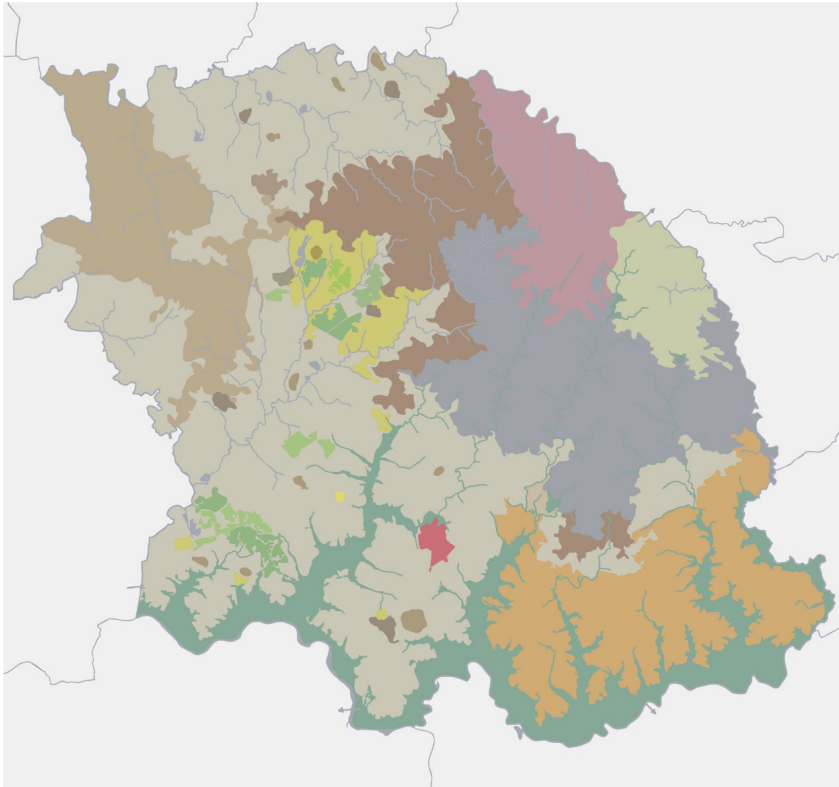


Figura 64 - Areais como parte da paisagem do município.

Fonte: Os autores. Data: 2018.

No mesmo sentido, são locais onde encontram-se registros arqueológicos e de espécies endêmicas que carecem de maiores estudos. Assim, estes locais podem ser utilizados para realização de turismo científico e incentivo a realização de novas pesquisas.

Entre as dificuldades e restrições que os areais ou campos de areia apresentam, pode-se mencionar o difícil uso econômico para o desenvolvimento de atividades agropecuárias, predominantes no município, o que poderia acelerá-los e intensificá-los do ponto de vista de suas evoluções.



O zoneamento e mapeamento geoambiental é importante instrumento para o planejamento e regulação do uso e ocupação do solo. Este tipo de mapeamento quando associado às questões geomorfológicas trazem resultados mais precisos e satisfatórios para o zoneamento. Dentro desta ótica Grecchi e Pejon (1998) afirma que os estudos de natureza geoambiental possibilitam à caracterização de áreas quanto as suas aptidões e restrições às atividades já em desenvolvimento e/ou prováveis de serem implantadas, além de indicar porções do terreno com uma maior qualidade ambiental que possam ser preservadas.

Autores como Fiori (2004); Carvalho et al. (2004) indicam que a elaboração do zoneamento geoambiental se baseia na associação de mapas temáticos, entre os quais se destacam o Geológico, o Geomorfológico, o Pedológico, o Litológico, o de Declividade, a Drenagem e o Uso e Ocupação do Solo. A síntese dos mapas temáticos e a integração dos

parâmetros para a definição adequada dos limites de cada unidade são facilitadas pelas ferramentas de cartografia digital e (SIG) Sistemas de Informação Geográfica.

Para Trentin e Robaina (2005), o zoneamento geoambiental tem como proposta fundamental a divisão da área analisada em unidades, de acordo com as características de seus atributos. As unidades representam áreas com heterogeneidade mínima quanto aos atributos e, em compartimentos com respostas semelhantes frente aos processos de dinâmica superficial. Uma unidade pode ser formada por um único atributo que por si só define as condições específicas do comportamento ambiental ou pode ser formada por uma associação de atributos que juntos definem as particularidades da unidade.

Lang; Blaschke (2009, p. 41) definem que as ferramentas disponibilizadas pelos SIG's permitem sobrepor diferentes atributos, como caracterização do meio físico e ocupação e, com isso, agilizam as análises e promovem conclusões mais precisas. Além disso, também se observa que o Sistema de banco de dados [...] permite que usuários menos especializados possam realizar as consultas de forma fácil e dinâmica e obtenham os resultados desejados.

O mapa da figura 63 mostra a distribuição espacial das unidades geoambientais do município de São Francisco de Assis e, a tabela 05 apresenta os dados quantitativos das áreas e porcentagens das unidades. Para o referido município foram definidas 11 unidades geoambientais, as quais apresentam características homogêneas quanto as condições topográficas de substrato geológico, solos e formas de uso.

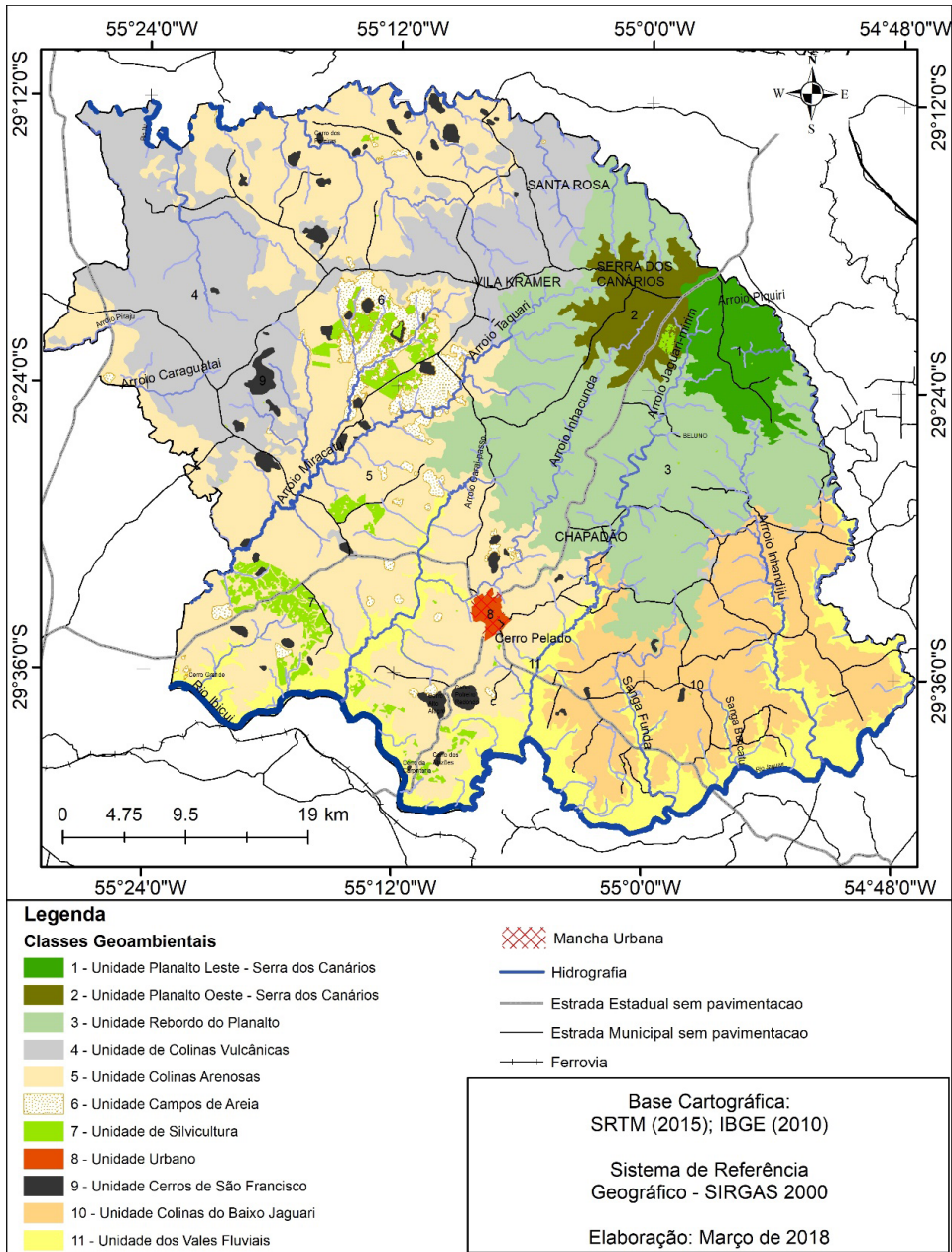


Figura 63. Mapa Geoambiental do município de São Francisco de Assis.

Fonte: Autores.

Unidades Geoambientais	Área km <sup>2</sup>	Porcentagem
1 - Unidade Planalto Leste - Serra dos Canários	75,57	3,01
2 - Unidade Planalto Oeste - Serra dos Canários	67,58	2,69
3 - Unidade Rebordo do Planalto	460,59	18,36
4 - Unidade de Colinas Vulcânicas	418,75	16,69
5 - Unidade Colinas Arenosas	774,13	30,86
6 - Unidade Campos de Areia	63,34	2,52
7 - Unidade de Silvicultura	51,67	2,06
8 - Unidade Urbano	6,64	0,26
9 - Unidade Cerros de São Francisco	37,24	1,48
10 - Unidade Colinas do Baixo Jaguari	295,36	11,77
11 - Unidade dos Vales Fluviais	257,62	10,27

Tabela 05 - Área e porcentagem das unidades geoambientais do município de São Francisco de Assis

Fonte: Autores.

## 1 | UNIDADE PLANALTO LESTE - SERRA DOS CANÁRIOS

Unidade que ocorre nas altitudes superiores a 300 m, pertencente a região geomorfológica do Planalto das Missões (Robaina et al 2010), com drenagens pertencentes a bacia do rio Jaguari. O substrato é de rochas vulcânicas em relevo de colinas suaves formando áreas de nascentes, principalmente, dos afluentes do rio Jaguari, como os arroios Jaguari-mirim, Inhandiju e Piquiri. Nessa sub-unidade os solos não são espessos, mas ocorrem solos bem desenvolvidos como Argissolos provavelmente pela exposição de porções menos resistentes dos derrames. Os solos e o relevo são propícios ao uso agrícola, que predomina na unidade, descaracterizando a vegetação campestre natural. Esta unidade ocorre na porção nordeste do município, ocupando uma área de 75,57 km<sup>2</sup>, representando 3,01 % da área total do município.

## 2 | UNIDADE PLANALTO OESTE- SERRA DOS CANÁRIOS

Essa unidade apresenta as maiores altitudes do município, se localizando no Planalto, formando nascentes da rede de drenagem ligada diretamente ao rio Ibicuí, como da Inhacundá-Caraí-Passos e Taquari-Miracatu. Os solos são rasos e mal desenvolvidos, como Neossolos litólicos sobre um substrato vulcânico. É comum a exposição destes derrames, na forma de blocos de rochas expostas nos campos, formando solos de pouca profundidade e pedregosos, marcando as fragilidades com relação ao uso desta unidade. Apresenta uma extensa cobertura de campos, formando um denso tapete gramíneo herbáceo, de espécies conhecidas, como o capim-caninha (*Andropogon lateralis*) e a grama-forquilha (*Paspalum notatum*) com uso para pecuária, principalmente de bovinos. Esta unidade ocupa uma área de 67,58 km<sup>2</sup>, o que representa 2,69% da área total do município, localizada na porção nordeste do município.

### 3 I UNIDADE REBORDO DO PLANALTO

A unidade apresenta o relevo mais movimentado do município, marcado pelo recuo da escarpa, caracterizada por elementos de vales e cristas estreitas, especialmente ocupa a porção centro nordeste do município. Constituem dois patamares que marcam a escarpa: o primeiro constituído por rochas areníticas que formam uma chapada curta e o segundo constituído por rochas vulcânicas, com relevo de morros e morrotes. As rochas variam de arenitos e vulcânicas com os solos predominantemente pedregosos, mal desenvolvidos. Entretanto, na passagem do relevo de colinas para de morros e morrotes e no topo das chapadas os solos são rasos, mas bem desenvolvidos em perfil, formando predominantemente Argissolos.

Esta unidade localiza-se na porção centro nordeste do município ocupando uma área de 460,59 km<sup>2</sup>, o que representa 18,36% da área total do município. O uso e ocupação está ligado a pequenas propriedades com pequenas lavouras de subsistência e o fumo como principal produto comercial. As áreas são suscetíveis a processos de transporte e movimento de massa, especialmente quando a vegetação da encosta é suprimida.

Nessa unidade, conforme Alves (2008), ocorre de forma extensa e homogênea uma florística diversificada devido às contribuições da Floresta Estacional Decidual. Nestes locais se desenvolvem espécies como aroeira-brava (*Lithraea molleoides*), aroeira-folha-de-salço (*Schinus molle*), pau-ferro (*Astronium balansae*), branquilho (*Sebastiania commersoniana*), camboatá-vermelho (*Cupania vernalis*), a pitangueira (*Eugenia uniflora*), a timbaúva (*Enterolobium contortisiliquum*), carvalhinho (*Casearia silvestris*), canela-de-veado (*Helietta apiculata*), araticum (*Rollinia emarginata*, *Rollinia salicifolia*), mamica-de-cadela (*Zanthoxylum rhoifolium*), açoita-cavalo (*Luehea divaricata*), murta (*Blepharocalyx salicifolius*), gravatá (*Bromelia balansae*), ipê-roxo (*Tabebuia impetiginosa*), o araticum-folha-de-salço (*Annona neosalicifolia*) e o araticum-quaresma (*Annona emarginata*), chá-de-bugre (*Casearia sylvestris*), chal-chal (*Allophylus edulis*), o tarumã-preto (*Vitex megapotamica*), o camboatá-branco (*Mataybaela eagnoides*), a guajuvira (*Cordia americana*), a canela-preta (*Nectandra megapotamica*).

### 4 I UNIDADE DE COLINAS VULCÂNICAS

A unidade compreende um relevo de colinas que ocorrem em litologias vulcânicas básicas de pouca espessura e arenitos. Os solos variam dependendo da porção do derrame que foi alterado e a resistência do arenito intertrápico. Nas porções de topo de derrame, com material vítreo intersticial os processos de alteração da rocha são mais significativos, gerando solos bem desenvolvidos (Argissolos, Latossolos e Nitossolos), que predominam na parte Central da unidade.

Nas demais porções a maior resistência das porções cristalinas do derrame, geram solos rasos mal desenvolvidos, como Neossolos litólicos, que, algumas vezes, concentram matéria orgânica no horizonte A. Por serem pouco espessos os derrames presentes, nesta unidade, permitem a exposição de pequenas manchas arenosas.

As feições erosivas presentes são ravinas que ocorrem em áreas com exposição dos arenitos. De modo geral, a vegetação arbórea deste sistema se distribui ao longo dos

canais, na forma de capões de mata próximos as nascentes. O tipo de uso é a associação pecuária e agricultura. Esta unidade ocupa uma área de 418,75 km<sup>2</sup>, representando 16,69% da área total do município e estende-se na forma de uma faixa de norte à noroeste do município.

## 5 | UNIDADE COLINAS ARENOSAS

Esta unidade está representada por litologias friáveis da Formação Guará, identificados como arenitos fluviais em relevo de colinas arenosas côncavo-convexas predominam os solos espessos, profundos, arenosos e friáveis, com pouco material ligante, predominando Latossolos arenosos, mas ocorrendo Neossolos quartzarênicos.

Com relação à vegetação, esse sistema é composto por formações campestres, capões de mato e bosques de eucaliptos. Quanto ao uso, ainda predominam os campos com atividade pecuária, mas existem áreas sendo utilizada para a agricultura, especialmente lavouras de soja. O relevo é propício para atividade agrícola ampla, mas os solos arenosos e com baixo teor de ligantes podem ser usadas com culturas especialmente adaptadas, com extremo cuidado para neutralizar as limitações, principalmente relacionadas com o controle da erosão, ao manejo da água.

Esta unidade ocupa a maior área no município com 774,13 km<sup>2</sup>, correspondendo à 30,86% da área total, especializando-se por uma longa faixa central norte-sul.

## 6 | UNIDADE CAMPOS DE AREIA

Especialmente a unidade dos areais, localiza-se principalmente no centro do município, associado a unidade de colinas arenosas, ocupando uma área de 63,34 km<sup>2</sup>, o que representa 2,52% da área total do município. Os campos de areia marcam uma forma acelerada de erosão dos solos e que tem suscitado muita preocupação regional.

Desenvolvem-se desde a cabeceira de drenagens desmatadas e, principalmente, em encostas convexas junto à base das colinas e arenitos pouco coesos. Forma-se pela ação hidrodinâmica das chuvas em um solo de baixa cobertura vegetal, arenoso e friável. O vento persistente, na região, espalha as areias ampliando os campos de areia. A presença de areais no sudoeste do Rio Grande do Sul, segundo dados de diversos autores, é anterior aos primórdios da colonização e sua causa reside na fragilidade do ecossistema.

Em algumas áreas as colinas com campos arenosos e areais são cobertas por uma vegetação nativa muito característica, o butiá-anão. Por sua ocorrência restrita no oeste e sudoeste do Estado, o butiá-anão (*Butia lallemantii*) representa importante espécie endêmica que caracteriza o Bioma Pampa e atribui um aspecto de savana à vegetação campestre local. Nota-se, todavia, que a ocorrência de alguns polígonos com butiá anão se encontra conectada, e sua interrupção está associada ao desenvolvimento de lavouras. As características apresentadas mostram a importância dessa espécie, que por ser típica do ecossistema do Bioma Pampa e estar perdendo espaço pela agricultura e silvicultura, deve ser preservada, para que nos próximos anos não venha a ser extinta do seu ambiente original.



## 7 | UNIDADE DE SILVICULTURA

A unidade de silvicultura compreende as plantações de pinus e eucaliptos e foi separada como unidade por representar uma nova proposta de uso da terra na região, diferente do tradicional associado a pecuária e agricultura. Além disso, é importante ressaltar que a presença da vegetação exótica faz com que a ação dos agentes de erosão, vento e água, sejam modificadas e, portanto, alterando a dinâmica superficial da região.

A silvicultura é uma atividade, relativamente recente na área de estudo, pois estas plantações comerciais ocorreram nos últimos 10 anos, onde anteriormente se desenvolviam campos com pecuária e agricultura, além de porções com arenização. As extensas áreas para essa atividade incorporam áreas de arenização e se apresenta como principal ponto positivo para os moradores da região. Entretanto, em termos ecológicos estão sendo destruídas áreas que marcam uma condição paleoclimática regional e que determinam o bioma Pampa, no sul do Brasil. Esta unidade ocupa atualmente 51,67 km<sup>2</sup> de área, o que representa 2,06% da área total do município e, espacialmente distribui-se em diversos fragmentos de áreas espalhados predominantemente pelo centro sul do município, junto as colinas arenosas e a campos de areia.

## 8 | UNIDADE URBANO

A cidade, como sede de um município, sempre exerce um papel centralizador e a ela compete oferecer bens e serviços necessários à sua comunidade. A unidade urbano está caracterizada, especificamente pelo perímetro urbano do município de São Francisco de Assis, possui uma área de 6,64 km<sup>2</sup>, o que corresponde a 0,26% da área total do município, localizada espacialmente na porção centro sul do município. Nessa unidade se encontra a maior concentração populacional da área de estudo, dispondo de serviços e infraestrutura básica, como por exemplo, atendimento à saúde, educação e comércio.

O substrato é formado por rochas areníticas, os solos são arenosos e ocorrem sobre um relevo de colinas. As características das ocupações são definidas por construções baixas e o predomínio de áreas residenciais, mesmo na zona central. Apresenta limitações de infraestrutura e saneamento básico, tendo como principal conflito ambiental a contaminação das águas do arroio Inhacundá-Caraí Passo, devido o lançamento de esgotos. Outros impactos do sistema urbano nas características naturais e na fisiologia canalizações e a geração de resíduos sólidos.

## 9 | UNIDADE CERROS DE SÃO FRANCISCO

Esta unidade contempla os morrotes de arenito que ocorrem associados às áreas de litologias fluviais de alta coesão com afloramento de rochas e, em alguns casos com topo de vulcânica. Estes morrotes representam uma topografia típica da região, com topos planos e encostas íngremes com vertentes retilíneas e vegetação mais abundante nas escarpas. Nesta unidade os solos são rasos, classificados como Neossolos Litólicos. Processos erosivos são identificados, com muita frequência, na base dos morrotes de arenito, nas zonas de contato com a colina. Encontram-se dispersos por diversos fragmentos ao longo

do município, principalmente associados às colinas de arenito, ocupando 37,24 km<sup>2</sup>, o que representa 1,48% da área total do município.

A vegetação característica dos morrotes de arenito contempla diversas espécies, com destaque para a criúva (*Agarista eucalyptoides*), o jasmim-catavento (*Tabernaemontana catharinensis*), o curupi (*Sapium haematospermum*) e a tuna (*Cereus hildmannianus*). No topo, a vegetação rasteira adaptou-se as condições locais de baixa umidade e solos rasos.

## 10 | UNIDADE COLINAS DO BAIXO JAGUARI

Essa unidade se localiza no médio e baixo curso de afluentes do rio Jaguari no município de SFA, desde o arroio Piquiri até o Jaguari-mirim, na porção SE do município, ocupando uma área de 295,36 km<sup>2</sup>, o que representa 11,77% da área total. Formada por um relevo de colinas, substrato é de arenitos finos, micáceos e solos com espessura de 60 cm a 1m com horizonte textural, sendo classificados como Argissolos.

O uso predominante é de campos com pecuária bovina associado a lavouras de soja/trigo. As condições de relevo e solos favorecem o uso agropecuário, mas são fundamentais técnicas conservacionistas, pois os solos são suscetíveis a erosão.

## 11 | UNIDADE DOS VALES FLUVIAIS

Nesta unidade ocorrem os depósitos recentes, localizados ao longo dos canais dos rios e arroios, em áreas planas que desenvolvem solos mal drenados chamados de hidromórficos. A principal atividade desenvolvida é o cultivo de arroz, que se associa à disponibilidade hídrica e potencialidade do solo. Grandes áreas alagadas, onde antes havia banhados, foram drenadas para o plantio de arroz.

A maior suscetibilidade desta unidade está associada aos banhados e à mata ciliar, que vem sendo retirada nas últimas décadas, dando lugar para o desenvolvimento da agricultura. A vegetação arbórea mantém-se, dentro das áreas de proteção exigidas pela legislação ambiental, apenas em algumas faixas no canal principal dos Rios Ibicuí e Jaguari, constituindo uma mata ciliar em forma de faixas, onde as espécies mais características são o Sarandi (*Sebastiania schottiana*), o coqueiro-gerivá (*Syagrus romanzoffiana*), o branquilha (*Sebastiania commersoniana*), a pitangueira (*Eugenia uniflora*), o camboatá-branco (*Matayba elaeagnoides*) e a aroeira-cinzenta (*Schinus lentiscifolius*).



Unidade Planalto Leste - Serra dos Canários - colinas de altitude em solos bem desenvolvidos.

Fonte: Os autores



Unidade Planalto Oeste- Serra dos Canários - colinas de altitude sobre solo raso em rochas vulcânicas.

Fonte: Os autores



Unidade Rebordo do Planalto - Associação de morros e morrotes.

Fonte: Autores. Data: 2018.



Unidade de colinas vulcânicas com uso de pastagens plantadas para a pecuária.

Fonte: Autores. Data: 2018.



Unidade colinas arenosas - solos arenosos com butiá-anão (*Butia lallemantii*) que representa importante espécie endêmica.

Fonte: Autores. Data: 2018.



Unidade Campos de Areia - Areal com *Eucalyptus* sp. ao redor.

Fonte: Autores. Data: 2018.



Unidade de Silvicultura - plantações de eucaliptos em colinas arenosas  
Fonte: Autores. Data: 2018.



Unidade Urbano - Fotografia mostrando a Rua 13 de Janeiro (RS241).  
Fonte: Autores. Data: 2018.



Unidade Urbano - Igreja São Francisco de Assis, na rua João Moreira - Centro.

Fonte: Autores. Data: 2018.



Unidade Urbano - Fotografia da parte central da cidade na esquina das ruas João Moreira e 13 de janeiro (RS 241) no ano de 1940.

Fonte: <http://www.saofranciscodeassis.rs.gov.br>



Unidade Urbano - Fotografia mostrando a Prefeitura Municipal na esquina das ruas Ipiranga e João Moreira.

Fonte: Autores. Data: 2018.



Unidade Cerros de São Francisco - Morrote isolado de arenito resistente ao intemperismo e erosão.

Fonte: Autores. Data: 2018.



Unidade colinas do baixo Jaguarí - uso agrícola em relevo suave e solos bem desenvolvidos

Fonte: Autores. Data: 2018.

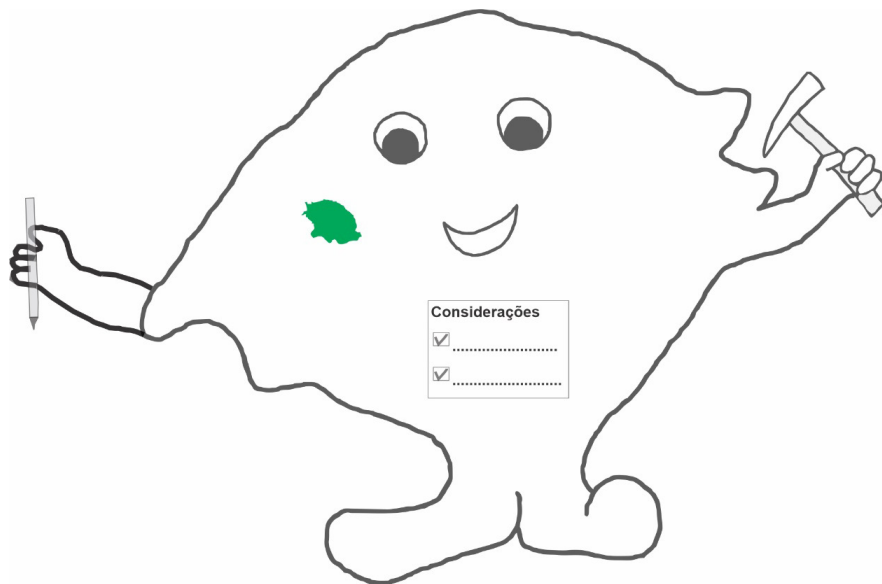


Unidade dos Vales Fluviais - Fotografia da várzea do rio Ibicuí ao sul do município com lavoura e criação de bovinos.

Fonte: Autores. Data: 2018.



## CONSIDERAÇÕES FINAIS



A preocupação ambiental crescente na atualidade, bem como nos últimos anos, indica, cada vez mais, a necessidade de estudos e análises sobre a presença e o uso dos recursos disponibilizados pela natureza, a fim de estabelecer-se estratégias e planejamentos do uso dos mesmos.

A cartografia utilizada nos levantamentos Geoambientais dos elementos do meio ambiente é uma das principais ferramentas utilizadas no planejamento e gestão do espaço, pois contém informações referentes a relevo, hidrografia, uso e ocupação, que são informações indispensáveis na gestão do território.

Desta forma, o trabalho preenche uma lacuna existente na cartografia no que concerne à representação de informações sobre o município, através de levantamentos de aspectos sociais, econômicos e naturais.

O Atlas do município de São Francisco de Assis representa uma ferramenta para conhecer e compreender as diferentes paisagens do território municipal com características resultantes de fatores naturais ou humanos e das suas correlações. Portanto, com essa edição do Atlas, temos a convicção de que as inúmeras instituições, cujas ações contribuem para o desenvolvimento do município, e que, portanto, se baseiam no conhecimento da realidade como Prefeitura, Universidades, Conselho de desenvolvimento, entre outros contarão com um importante apoio às suas atividades.

Os resultados nos motivam a desenvolver outros Atlas Municipais, dando sequência a novos projetos que atendam a demandas dos municípios e permitem avançar nos trabalhos acadêmicos de pesquisa e extensão.

## REFERÊNCIAS

DE NARDIN, D. **Zoneamento geoambiental no oeste do Rio Grande do Sul: um estudo em bacias hidrográficas**. Dissertação de Mestrado. Porto Alegre: UFRGS, 2009.

DIRETORIA DE SERVIÇO GEOGRÁFICO. **BDGEx - Banco de Dados Geográfico do Exército Brasileiro**. Disponível em: <<http://www.geoportal.eb.mil.br/mediador/index.php?modulo=login&acao=entrar#>>. Acesso em: 9 abr. 2016.

GOOGLE. **Google Earth Pro - Imagens**. Disponível em: <<https://www.google.com/help/maps/education/>>. Acesso em: 9 abr. 2016.

GUERRA, A. T.; GUERRA, A. J. T. **Novo dicionário geológico-geomorfológico**. Bertrand Brasil, 1997.

HAMBLIN, W. K.; CHRISTIANSEN, E. H. **The Earth's dynamic systems**. 4. ed. Minneapolis: Burgees Publish Co, 1985.

HASENACK, H.; WEBER, E. (ORG.) **Base cartográfica vetorial contínua do Rio Grande do Sul - Escala 1:50.000**. Porto Alegre: UFRGS Centro de Ecologia, 2010. Disponível em: <<https://www.ufrgs.br/labgeo/index.php/dados-espaciais/250-base-cartografica-vetorial-continua-do-rio-grande-do-sul-escala-1-50-000>>. Acesso em: 7 abr. 2015

HERRMANN, M. L. P. Compartimentação Geoambiental da Faixa Central do Litoral Catarinense. V Simpósio de Nacional de Geomorfologia e I Encontro Sul-Americano de Geomorfologia. **Anais...** Santa Maria: 2004

INSTITUTO BRASILEIRO DE GEOGRAFIA E ESTATÍSTICA (IBGE). **Atlas do Censo Demográfico**. Rio de Janeiro: IBGE, 2010.

INSTITUTO BRASILEIRO DE GEOGRAFIA E ESTATÍSTICA (IBGE). **Censo Demográfico 2010**. Disponível em: <<http://www.ibge.gov.br/home/estatistica/populacao/censo2010/>>. Acesso em: 7 abr. 2016.

INSTITUTO BRASILEIRO DE GEOGRAFIA E ESTATÍSTICA (IBGE). **Produção Agropecuária Municipal - 2014**. Disponível em: <<http://www.ibge.gov.br/home/estatistica/economia/ppm/2014/>>. Acesso em: 7 abr. 2015.

INSTITUTO BRASILEIRO DE GEOGRAFIA E ESTATÍSTICA (IBGE). **Projeto RADAMBRASIL. Levantamento de recursos naturais (Folha SH.22 Porto Alegre e parte das Folhas SH.21 Uruguaiana e SI.22 Lagoa Mirim)**. 1. ed. Rio de Janeiro: IBGE, 2003.

INSTITUTO BRASILEIRO DE GEOGRAFIA E ESTATÍSTICA (IBGE). **Malhas Digitais: Municípios 2010**. Disponível em: <[http://downloads.ibge.gov.br/downloads\\_geociencias.htm](http://downloads.ibge.gov.br/downloads_geociencias.htm)>. Acesso em: 10 jun. 2016.

KRETSCH, J. L. Shuttle radar topography mission overview. Proceedings - Applied Imagery Pattern Recognition Workshop. **Anais...** Institute of Electrical and Electronics Engineers Inc., 2000

LANDSAT PROJECT SCIENCE OFFICE AT NASA'S GODDARD SPACE FLIGHT CENTER. **Landsat 7 Science Data Users Handbook Landsat Project Science Office**. USGS: 2018.

LAVINA, E. The Passa Dois Group. 7th International Gondwana Symposium. **Anais...** São Paulo: Instituto de Geociências, 1988.

- MACIEL, V. **Pesquisa sobre a história do município de São Francisco de Assis**. São Francisco de Assis: [s.n.].
- MARTINELLI, M. O atlas do Estado de São Paulo: uma reflexão metodológica. **Confins**, n. 7, 28 out. 2009.
- MENEZES, D. J. et al. Zoneamento geoambiental do município de São Pedro do Sul – RS. **Geografias**, v. 7, n. 2, p. 68–80, 2011.
- MILANI, E. **Evolução tectono-estratigráfica da Bacia do Paraná e seu relacionamento com a geodinâmica fanerozoica do Gondwana Sul-ocidental**. [s.l.] Universidade Federal do Rio Grande do Sul, 1997.
- PESAVENTO, S. J. **História do Rio Grande do Sul**. Porto Alegre, Mercado Aberto, 1982. (Série Revisão).
- PREFEITURA DE SÃO FRANCISCO DE ASSIS. **Prefeitura de São Francisco de Assis**. Disponível em: <<http://www.saofranciscodeassis.rs.gov.br/>>. Acesso em: 7 abr. 2016.
- ROBAINA, L.E.S.; TRENTIN, R.; ALVES, F.S.; SCCOTI, A. A. V. **Série Atlas Municipais: Atlas Geoambiental de Manoel Viana/RS**. 1. ed. Bagé: EDIURCAMP, 2014.
- ROBAINA, L. E. DE S. et al. Compartimentação geomorfológica da bacia hidrográfica do Ibicuí, Rio Grande do Sul, Brasil: proposta de classificação. **Revista Brasileira de Geomorfologia**, v. 11, n. 2, p. 11–23, 2010.
- ROSSATO, M. S. **Os climas do Rio Grande do Sul: variabilidade, tendências e tipologia**. Tese de Doutorado. Porto Alegre: UFRGS, 2011.
- SALGADO-LABOURIAU, M. **História ecológica da Terra**. São Paulo: Ed. Edgard Blücher, 1994.
- SEMA - Secretaria do Ambiente e Desenvolvimento Sustentável. **Bacias Hidrográficas do RS**. Disponível em: <<http://www.sema.rs.gov.br/bacias-hidrograficas>>. Acesso em: 9 abr. 2015.
- SEPLAG - Secretaria de Planejamento e Governança. **Atlas Socioeconômico do Rio Grande do Sul**. Disponível em: <<http://www.atlassocioeconomico.rs.gov.br/inicial>>. Acesso em: 7 abr. 2016.
- STRECK, E. V. et al. **Solos do Rio Grande do Sul**. 2. ed. Porto Alegre: Emater/RS, 2008.
- SUERTEGARAY, D. M. A.; GUASSELLI, L. A.; VERDUM, R. **Atlas da arenização: Sudoeste do Rio Grande do Sul**. Porto Alegre: Secretaria da Coordenação e Planejamento do Rio Grande do Sul, 2001.
- TEIXEIRA, W. et al. **Decifrando a Terra**. Companhia Editora Nacional, 2009.
- TRENTIN, R. **Mapeamento geomorfológico e caracterização geoambiental da bacia hidrográfica do Rio Itua - oeste do Rio Grande do Sul - Brasil**. Tese de Doutorado. Curitiba: Universidade Federal do Paraná, 2011.
- VAIL, P. R.; MITCHUM, R. M.; THOMPSON III, JR., S. “Seismic Stratigraphy and Global Changes of Sea Level, Part 3: Relative Changes of Sea Level from Coastal Onlap”, IN: PAYTON, C. E. **Seismic Stratigraphy – Applications to Hydrocarbon Exploration**, 1977
- VERDUM, R. **Approche géographique des “déserts” dans les communes de São Francisco de Assis et Manuel Viana, Etat du Rio Grande do Sul, Brésil**. Tese (Doutorado) – UFR de Géographie et Aménagement, Université de Toulouse Le Mirail, Toulouse, 1997.



## MENSAGEM INICIAL

Essa parte do Atlas de São Francisco de Assis foi pensada, para servir de apoio as suas aulas. Todas nossas sugestões podem ser adaptadas de acordo com sua realidade, e constituem-se em GEOdicas para complementarem o livro didático e aproximar a Geografia da realidade dos alunos.

As atividades propostas nessa seção, foram pensadas para desenvolver com os alunos as competências e habilidades necessárias para o entendimento, interpretação e elaboração dos mapas, configurando um processo de alfabetização e letramento cartográfico. Sendo assim, salientamos que essa compreensão dos produtos cartográficos é inerente a idade do aluno, bem como o conhecimento espacial que este possui acerca do espaço geográfico do município.

Em um primeiro momento serão apresentadas atividades para auxiliar o aluno a se tornar um leitor crítico<sup>1</sup> de mapas. Para isso, o aluno deve ter a compreensão de que os elementos selecionados para a elaboração do mapa podem ser representados em símbolos, quando aparentam ser como é no espaço real, ou então totalmente abstratos como quando são desenhados pontos, linhas e polígonos. Ainda nesse sentido, destacamos que o aluno deve entender que o mapa é uma generalização do espaço real, e que a partir deste produto é possível ir além da localização, estabelecendo análises, correlações e sínteses entre os dados representados.

Em um segundo momento, iremos apresentar atividades que corroboram para fazer do aluno um mapeador consciente<sup>1</sup>, ou seja, aquele que é capaz de participar da elaboração do produto cartográfico, porém com menos rigor na representação, podendo usar sua criatividade e percepção individual.

## ATIVIDADE 1: BATALHA LATITUDINAL

Professor (a) de Geografia, essa parte é dedicada a explicação da atividade proposta, que consiste em uma adaptação do jogo batalha naval. Chamaremos aqui de “batalha latitudinal”.

**Assuntos que podem ser trabalhados utilizando essa atividade:** coordenadas geográficas, clima e vegetação.

**Materiais:** Os materiais que devem ser utilizados para essa atividade estão abaixo representados. Cada grupo que irá participar deve ter um tabuleiro (Figura 2) impresso e 10 exemplos de uso da terra, sendo 5 para cada time que irá jogar (imprimir 2 vezes a figura 1).

---

<sup>1</sup> Baseado em SIMIELLI, M. E. R. Cartografia no ensino fundamental e médio. In: CARLOS, Ana Fani Alessandri (org.). **A Geografia na sala de aula**. São Paulo: Contexto, 1999.

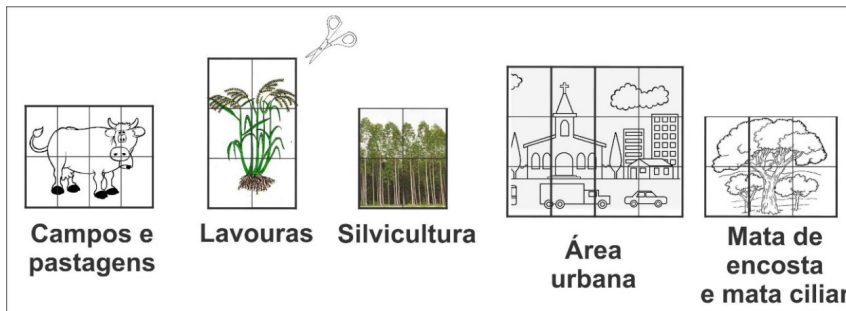


Figura 1: Figuras para serem inseridas no jogo de batalha naval.

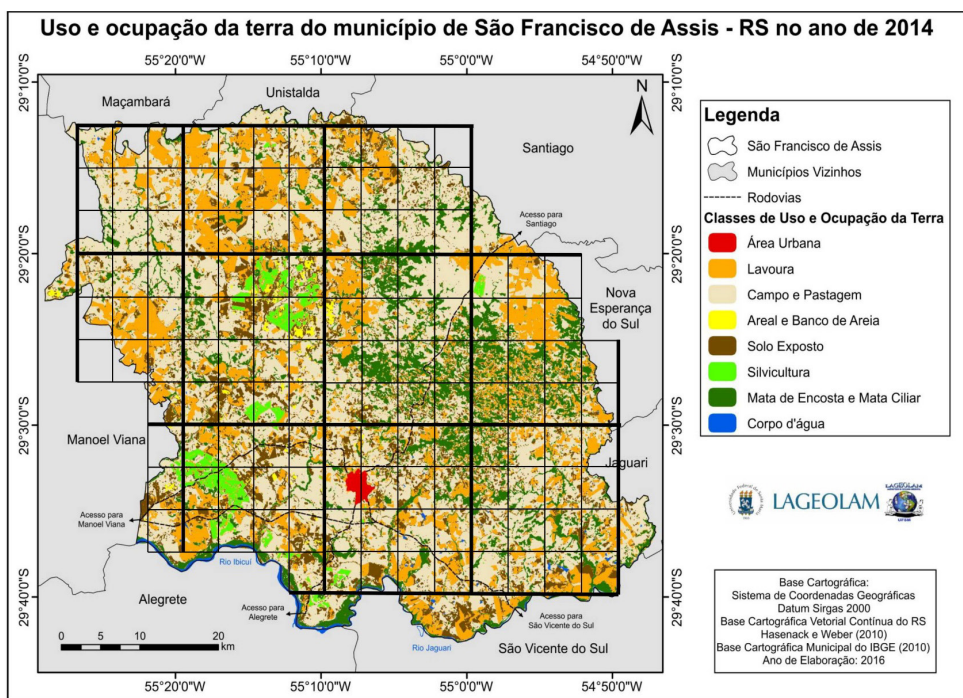


Figura 2: Tabuleiro do jogo de batalha latitudinal

**Procedimentos para o professor (a):** Cada uma das figuras que representam os diferentes usos do solo do município de São Francisco de Assis (Figura 2) deverá ocupar um polígono com coordenadas geográficas conhecidas. Na medida, que os alunos escondem os “usos do solo” no tabuleiro (Figura 1), o grupo adversário deve adivinhar, citando a localização de cada polígono, onde estão as figuras.

Ainda recomendamos que com os mapas globais de vegetação e clima, o (a) professor (a) busque explicar, na escala do município, quais são as características físicas de São Francisco de Assis e porque estas ocorrem. Por exemplo, como as áreas de campos de associam a vegetação do sul do País e como o clima explica sua existência?

**Procedimentos para o aluno:** Você deve formar grupos para participar do jogo batalha latitudinal. Cada grupo irá receber um mapa tabuleiro e 5 figuras que representam o uso e ocupação da terra no município. Assim, como no jogo batalha naval, você deve esconder suas figuras no tabuleiro e o outro grupo deve adivinhar onde estão estes atores, indicando os quadrados utilizando os valores de latitude e longitude e orientação. Atenção: as figuras devem ser escondidas de acordo com o uso da terra, por exemplo, a vaca deve ser inserida em área de campos.

Vence quem descobrir as figuras no tabuleiro adversário primeiro.

**Avaliação:** Pode ser feita por meio de um debate. Abaixo temos algumas sugestões para nortear a discussão.

Será que antigamente havia mais áreas com florestas?

O que é plantado nas áreas de areais de São Francisco de Assis?

O clima influencia na plantação da cultura de arroz?

Qual o tipo de clima de São Francisco de Assis?

## ATIVIDADE PRÁTICA 2 – MAPAS MENTAIS

**Assuntos que podem ser trabalhados utilizando essa atividade:** base econômica do Brasil e RS

**Materiais:** Folhas tamanho A4, lápis de cor ou canetas coloridas.

**Procedimentos para o(a) professor(a):** Ao produzir mapas mentais o aluno exercita o poder de abstração e necessita escolher o que irá ser representado. Dessa forma, o aluno irá entender que os mapas apresentados ao longo do Atlas, sofreram um processo de generalização e representam somente algumas informações do espaço real.

É importante discutir com os alunos os símbolos que foram utilizados no mapa mental e buscar as legendas de todos os produtos cartográficos do Atlas, buscando entender o que são e onde estão as informações do mapa.

No que se refere aos mapas do Atlas, nessa atividade é possível discutir quais são as bases econômicas do município, aquelas mais representadas nos mapas mentais e qual o emprego dos pais, por exemplo.

**Procedimentos para o aluno:** Você tem algum parente, amigo ou sua família mora fora da parte urbana da cidade?

Quando você foi fazer uma visita ou voltava para casa, foi possível observar várias paisagens diferentes: florestas, pastagens, lavouras, casas?

Agora, tente reproduzir em uma folha A4 todo o caminho que você percorreu nessa visita e procure fazer uma legenda indicando o que foi visto.

Vá até o mapa de uso e ocupação do solo no Atlas (pág. 25), e encontre as áreas que foram desenhadas por ti, e veja se as mesmas informações estão mapeadas.

**Avaliação:** Pode ser feito no quadro um grande mapa mental do município, onde os alunos desenham porções que são de maior conhecimento deles. A legenda para os objetos que serão representados deve ser construída por todo grupo de estudantes.

Questionamentos para os alunos: Qual a base econômica do município? Em área, qual cultura predomina?

Foi difícil representar tudo em um mapa? É necessário escolher e esconder algumas coisas?

### ATIVIDADE PRÁTICA 3 – MAQUETE

**Assuntos que podem ser trabalhados utilizando essa atividade:** formas de relevo e bacias hidrográficas

**Materiais:** 3 folhas de isopor ou E.V.A. tamanho A4, barbante azul, material reciclável diverso para construir as áreas de cidade e tipos de uso da terra do município.

**Procedimentos para o(a) professor(a):** Professor essa atividade é voltada para a transposição do mapa em 2 dimensões para uma maquete, representação em 3 dimensões. A figura 3 mostra maiores detalhes da elaboração.

Além de contribuir para o aluno entender como o espaço vivido (3D) está representado em um mapa (2D), o estudante irá trabalhar com localização, análise e correlação dos mapas do atlas.

GEODICA: A partir dos mapas de altitude e do uso e ocupação do solo, fazer com que os alunos reflitam o porquê dessa configuração: lavouras mecanizadas podem ser implantadas em áreas de maior declive?; florestas estão próximas aos rios?; como o relevo atua no caminho que a água percorre?

Além disso, é possível trabalhar com o conceito de bacias hidrográficas, mostrando o caminho da água na maquete.

A partir da maquete procure imprimir as fotografias da página 91 do Atlas e localizá-las na maquete.

**Procedimentos para os alunos:** Essa atividade consiste em fazer uma maquete do município de São Francisco de Assis. O objetivo é que todos os alunos da sala construam a maquete a partir do esboço abaixo. Cortem o isopor exatamente nas marcas indicadas e depois sobreponha as camadas.

A partir da maquete construída, observe o mapa de altitude no Atlas e pinte de acordo com a legenda apresentada. Logo em seguida, vá até o mapa de uso e ocupação do solo e localize as áreas de campos, floresta, área urbana, silviculturas e lavouras utilizando materiais diversos (caixinhas de papelão, folhas de árvores, espuma...)

**Avaliação:** a elaboração da maquete levando em conta detalhes como a legenda e a localização das fotografias da página 91 do Atlas podem ser avaliadas, bem como as análises e correlações feitas pelos alunos.



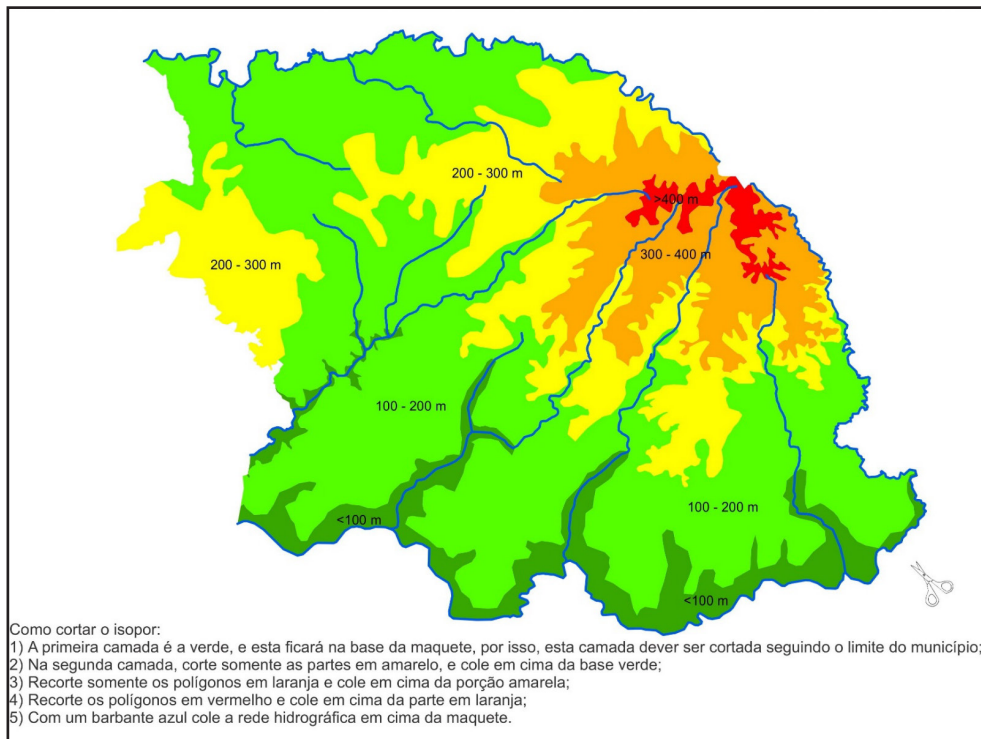


Figura 3: Manual para confecção da maquete.

## ATIVIDADE 4: JOGO DAS ESCALAS

**Assuntos que podem ser trabalhados utilizando essa atividade:** escala e uso da terra do município

**Materiais:** computador com Google Earth instalado, caderno e lápis para fazer o cálculo de escala.

**Procedimentos para os(a) professores(a):** Professor, essa atividade tem como objetivo trabalhar com a questão da escala. Pode ser feita de maneira interdisciplinar com o professor de Matemática.

O(a) aluno(a) deverá fazer uma interpretação as imagens do Google Earth (abaixo apresentadas – Figura 3) e encontrar pontos conhecidos para fazer a redução. Podem ser trabalhados locais que fazem parte da vivência do aluno e posteriormente todos os mapas do atlas podem ser analisados, a fim de descobrir quais foram as informações que não aparecem no mapa, em decorrência da escala.

Usar o tutorial para uso do Google Earth fornecido na página 111.



Figura 3: Exemplo da atividade com a praça Independência

Fonte: Retirado de Google Earth Pro

**Procedimentos para os alunos:** Você deve começar escolhendo um lugar de São Francisco de Assis que é importante para ti. A partir disso, utilizando o Google Earth, observe como este se torna “maior ou menor” segundo o *zoom* do mouse.

Isso ocorre em função da escala adotada.

Juntamente com o(a) professor(a) de Matemática e Geografia calcule a redução do elemento selecionado. A medida real do objeto pode ser descoberta, consulte o guia para uso do Google Earth, disponível na página 111.

Te liga, que cada centímetro do mapa corresponde a **x** metros do objeto na vida real.

**Avaliação:** avaliar o correto cálculo da escala em três diferentes representações.

## ATIVIDADE 5: JOGO GEOMORFOLÓGICO

**Assuntos que podem ser trabalhados utilizando essa atividade:** escala, uso da terra do município solos, geologia e intemperismo.

**Materiais:** Material impresso da figura 4, um cubo e objetos para identificarem cada grupo dentro do tabuleiro.

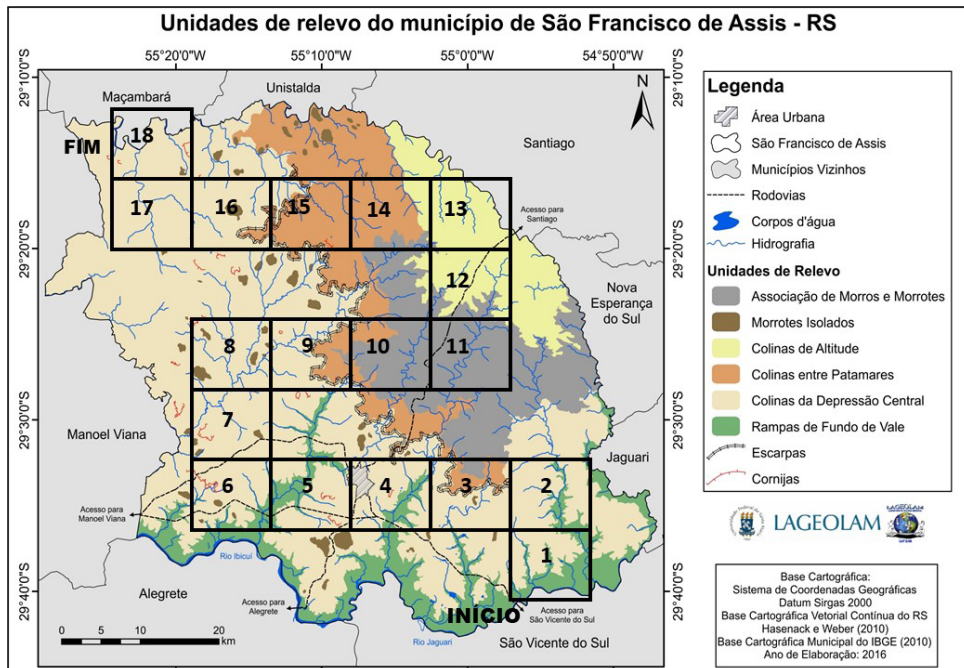


Figura 4: Jogo geomorfológico

**Procedimentos para o(a) professor(a):** Professor (a), essa atividade é voltada para o entendimento de aspectos de geologia, solos, erosão e formas de relevo.

O(a) professor(a) irá jogar com os alunos um jogo de tabuleiro geomorfológico. A dinâmica consiste em jogar o dado e percorrer o número de casas que foi sorteado. Por exemplo, na casa 3 haverá uma informação: “Dessa vez você vai passar por uma área com morros, morrotes e escarpas e isso vai lhe deixar mais cansado. Fique uma rodada sem jogar e enquanto procura no Atlas o que são essas feições geomorfológicas”

**Procedimentos para os alunos:** Os alunos devem jogar em dois grupos e ao(a) professor(a) irá atuar como mediadora do jogo.

A cada jogada, o cubo indicará o número de casas a serem percorridas.

As instruções ambientais do ponto indicarão o que aluno deverá fazer em relação ao jogo, e o(a) professor(a) irá ajudar a estabelecer uma discussão sobre a informação apresentada.

### *Informações de cada casa:*

**Casa 1:** Você iniciou o jogo e está em uma área com vários afluentes de um rio principal. Permaneça nessa casa e conte para os colegas o nome deste rio principal.

**Casa 2:** Agora você foi parar em uma área com colinas e muitos campos com pastagens. Aqui você tira de letra, avance uma casa e procure no Atlas o que são

colinas!

**Casa 3:** Dessa vez você vai passar por uma área com morros, morrotes e escarpas e isso vai lhe deixar mais cansado. Fique uma rodada sem jogar enquanto procura no Atlas o que são essas feições geomorfológicas.

**Casa 4:** Você chegou à área urbana! Agora você pode dar uma passada no centro da cidade para pegar algo para comer e beber no caminho. Permaneça nessa casa.

**Casa 5:** Agora que você conseguiu atravessar a área urbana siga seu trajeto pela rodovia e pule para a próxima casa. Falando em rodovias, passeios e viagens... vocês sabem quais são os municípios que fazem divisa com São Francisco de Assis?

**Casa 6:** Nessa rodada você chegou em uma área de silvicultura, que é o plantio de árvores para a extração de madeira. Fique ligado para não se perder e permaneça nessa casa.

**Casa 7:** Nessa casa vá devagar e tente desviar os rios e morrotes no caminho que podem atrasar seu trajeto. Volte uma casa e procure no Atlas o que são Morrotes e conte para os colegas.

**Casa 8:** Você acaba de chegar em uma área com uma parte de lavoura dos agricultores locais, além disso há muitos corpos d'água. Portanto tenha cuidado para continuar seu trajeto, fique uma rodada sem jogar.

**Casa 9:** Agora você vai começar a entrar na área mais alta do seu município, portanto vá devagar e permaneça nessa casa para não se cansar muito para o que está por vir...

**Casa 10:** Espero que não tenha cansado, pois você terá uma longa caminhada sobre morros e morrotes. Então pegue o Atlas e relembre o que são morros e morrotes.

**Casa 11:** Você chegou a uma área de campos e pastagens. Procure no Atlas se esta atividade econômica é a mais importante do seu município. Enquanto procura, fique uma rodada sem jogar.

**Casa 12:** As colinas são áreas atingidas por eventos erosivos acelerados e apresentam feições como areais e voçorocas além de uma vegetação campestre. Você sabe qual o principal uso do solo nas áreas de areais? Procure no Atlas.

**Casa 13:** Nessa casa há a predominância de colinas, observe que são áreas com inclinações suaves. Veja no Atlas qual é a declividade desse local e volte uma casa.

**Casa 14:** As colinas entre patamares apresentam características morfológicas e de uso do solo semelhante às colinas, porém estão localizadas sobre um patamar marcado por uma linha de escarpa formada por rochas mais resistentes à sul e pelo Rebordo do Planalto ao norte. Fique uma rodada sem jogar enquanto descobre o que é patamar e Rebordo do Planalto, no Atlas. Depois conte para os colegas.

**Casa 15:** Você está em uma área de escarpas, observe essas porções de rochas resistentes que se mantém por mais tempo na paisagem que apresentam uma forma de meia-lua. Aproveite para tirar muitas fotos.

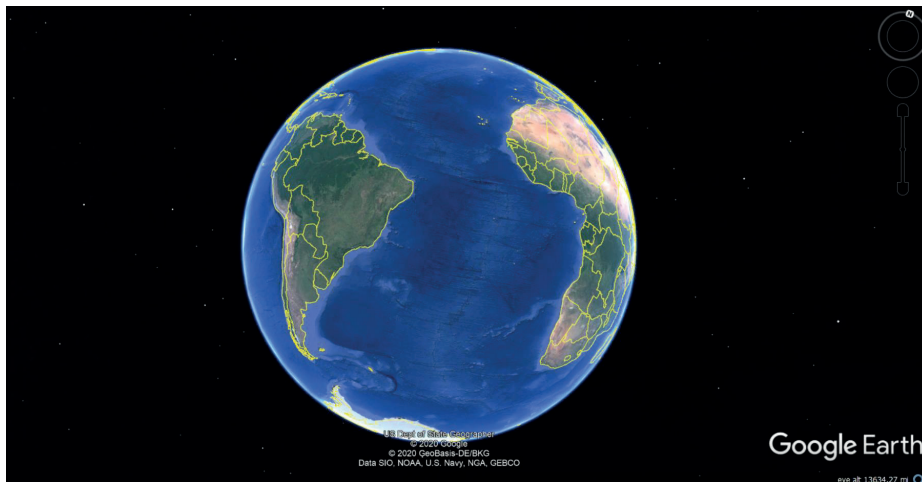
**Casa 16:** Os morrotes isolados são formas de relevo muito comuns nesse município, essas estruturas se caracterizam por se manterem elevadas na paisagem, com uma amplitude altimétrica que pode chegar a quantos metros? Pegue o Atlas e peça ajuda de seu colega para pesquisar.

**Casa 17:** Deve estar cansado, a caminhada foi longa e com muitos aprendizados, vá para a próxima casa.

**Casa 18:** Parabéns, você chegou ao final do jogo. Mas você tem mais uma tarefa! Comente com seus colegas quais áreas do município você conhece e se conseguiu identificar no jogo onde estas áreas estão localizadas.

**Avaliação:** pode ser baseada em perguntas e discussões durante o jogo.

# TUTORIAL PARA USO DO GOOGLE EARTH



## BUSCAR E INSTALAR O GOOGLE EARTH

google earth - Pesquisa Google

google.com/search?q=google+earth&oeq=googl&aq=chrome.0.69:59:2:69:57:35:39:04.5119:0&sourceid=chrome&ie=UTF-8

Google

google earth

Todas Maps Notícias Imagens Vídeos Mais Configurações Ferramentas

Aproximadamente 1.800.000.000 resultados (0,57 segundos)

www.google.com > intl > pt-BR > earth > [Google Earth](#)

Use o globo detalhado do **Google Earth** inclinando o mapa para ver uma imagem perfeita em 3D ou mergulhando em uma experiência em 360° no Street View.

**Google Earth – Apps no ...**  
E agora você também pode conferir as Histórias e mapas ...  
Mais resultados de google.com >

**Versões do Google Earth**  
Com o Google Earth para Chrome, voe para qualquer lugar em ...

www.google.com.br > intl > pt-PT > earth > **Google Earth**

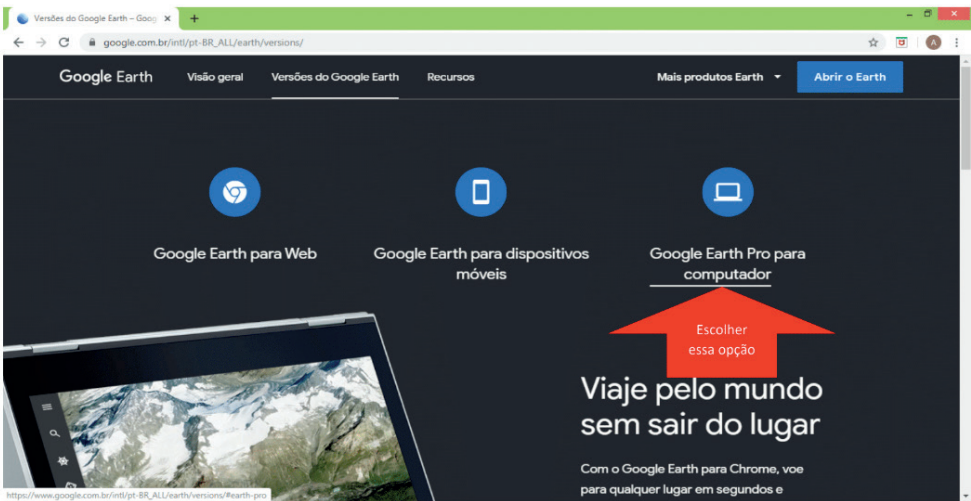
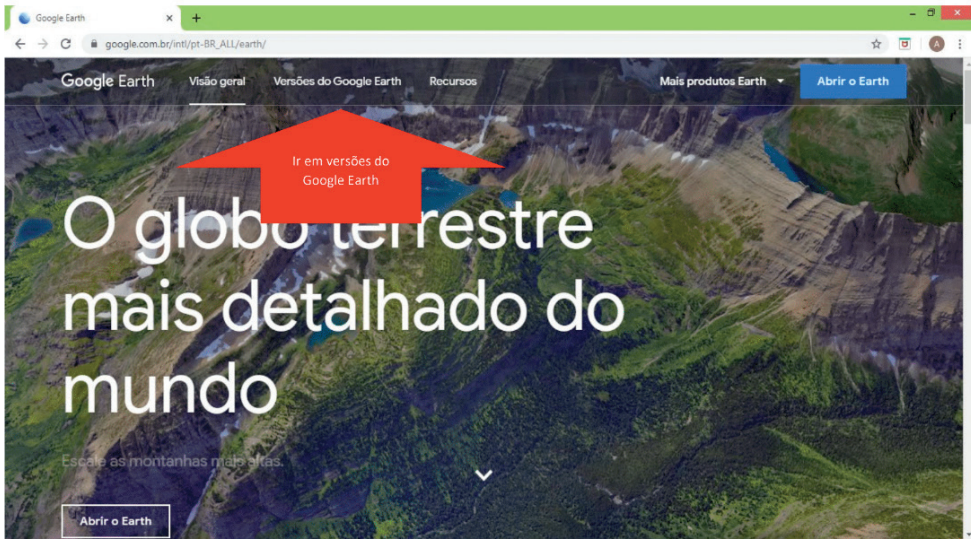
Utilize o globo detalhado do **Google Earth** ao inclinar o mapa para guardar uma vista 3D perfeita ou mergulhe no Street View para uma experiência 360.

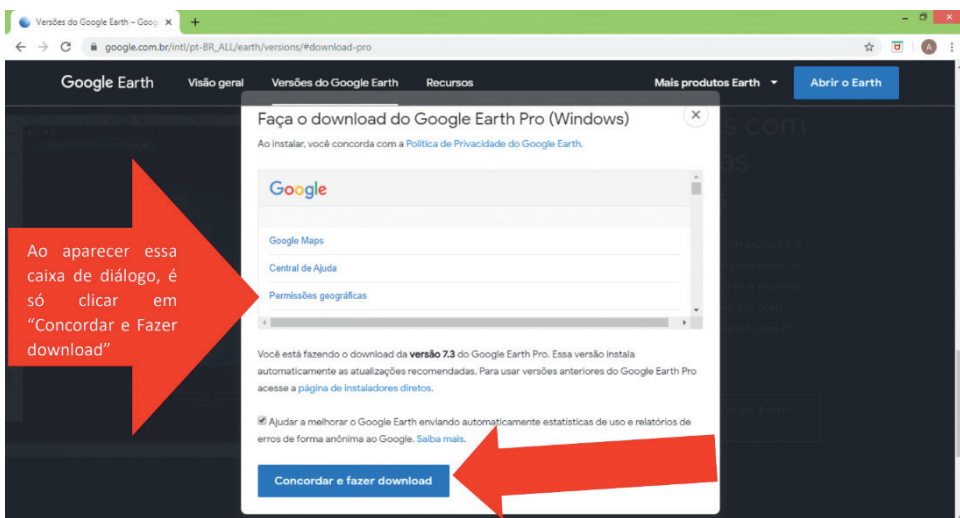
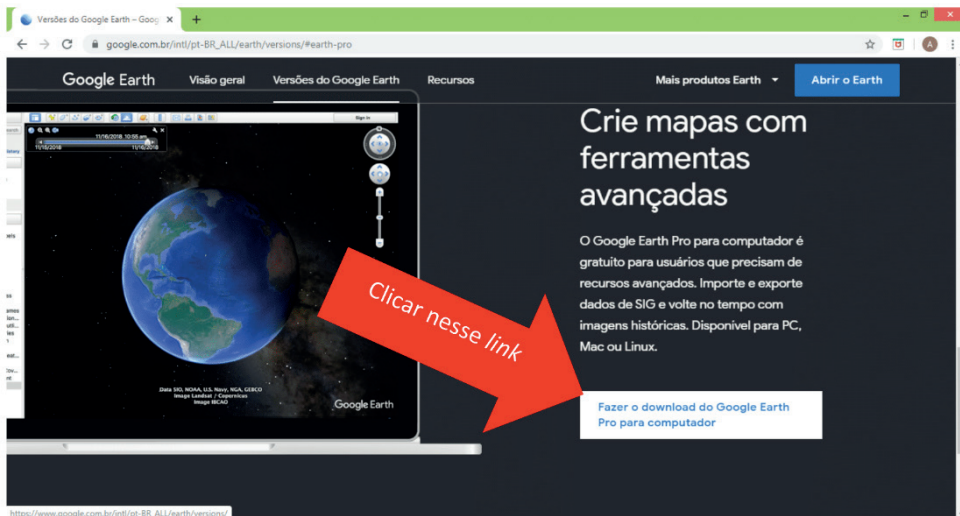
www.google.com.br > earth > download > gep > agree > **Google Earth**

https://www.google.com/intl/pt-BR/earth/

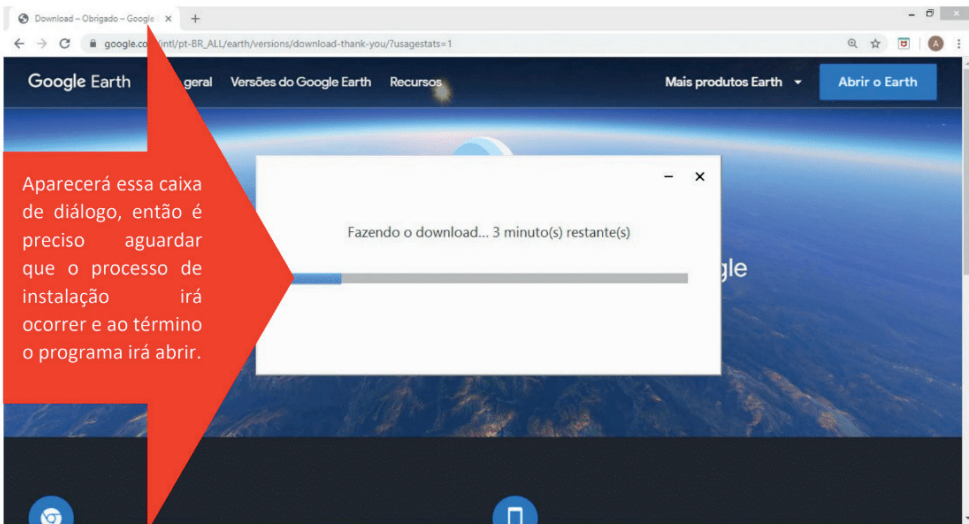
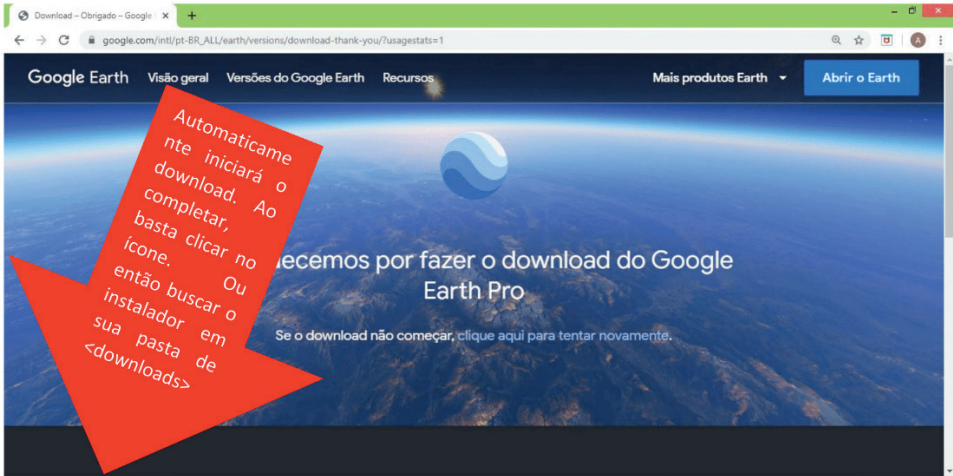
**Google Earth**  
Software baixável

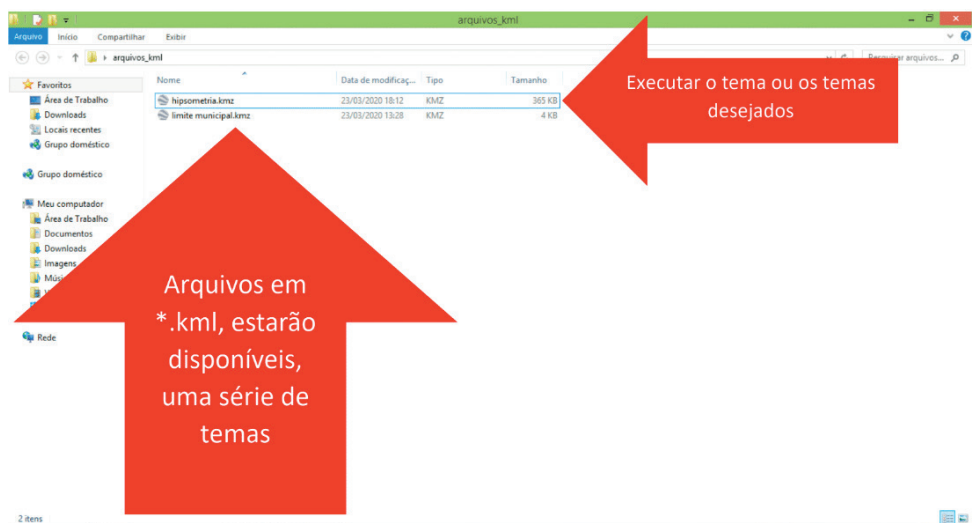
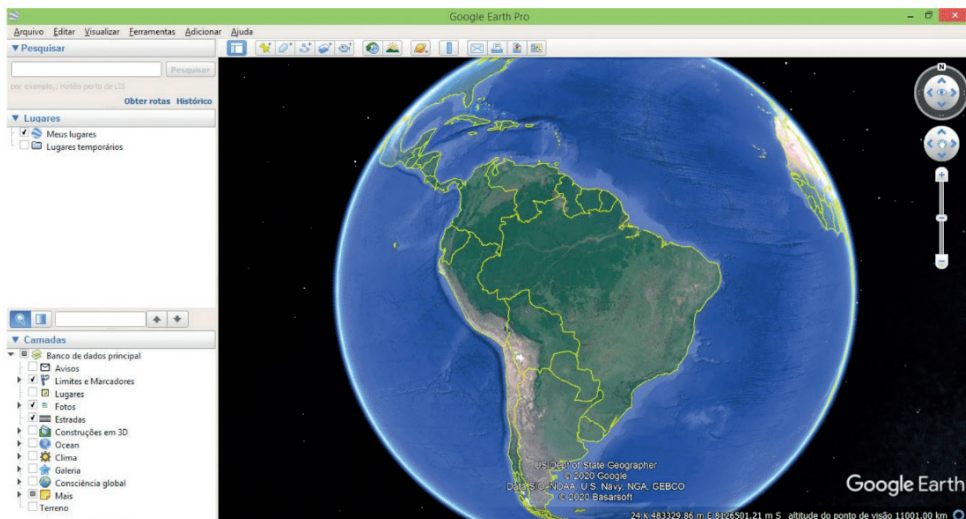
Google Earth é um programa de computador desenvolvido e distribuído pela empresa estadunidense do Google cuja função é apresentar um modelo tridimensional do globo terrestre, construído a partir de mosaico de imagens de satélite obtidas de fontes diversas, imagens aéreas e GIS 3D.

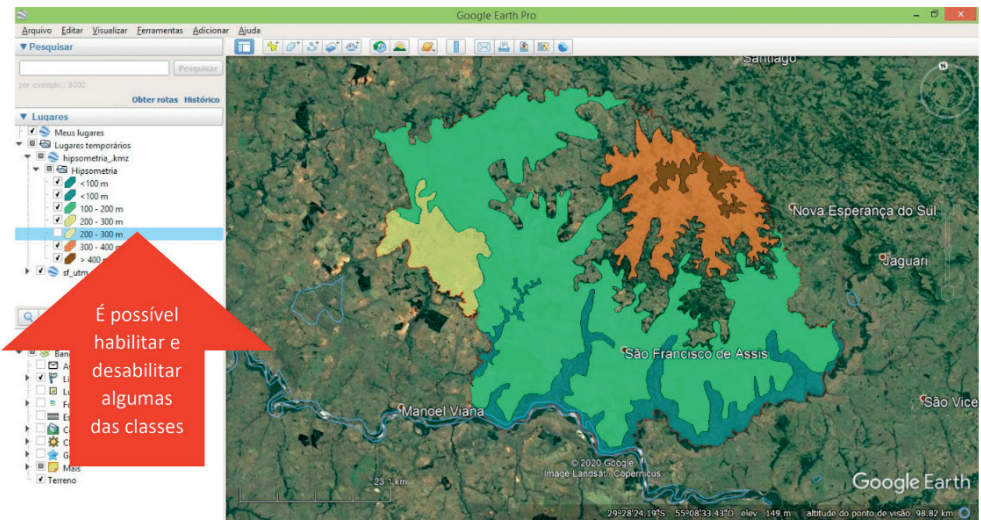
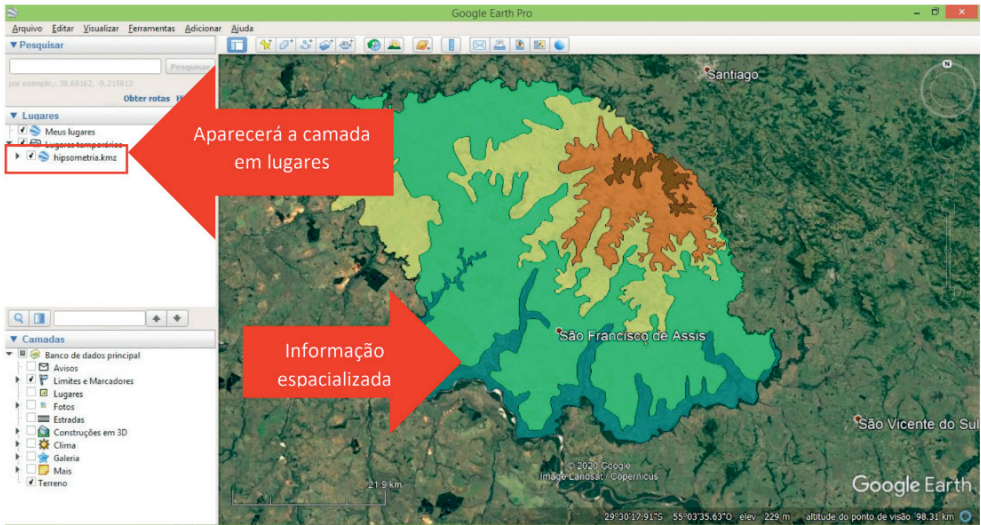


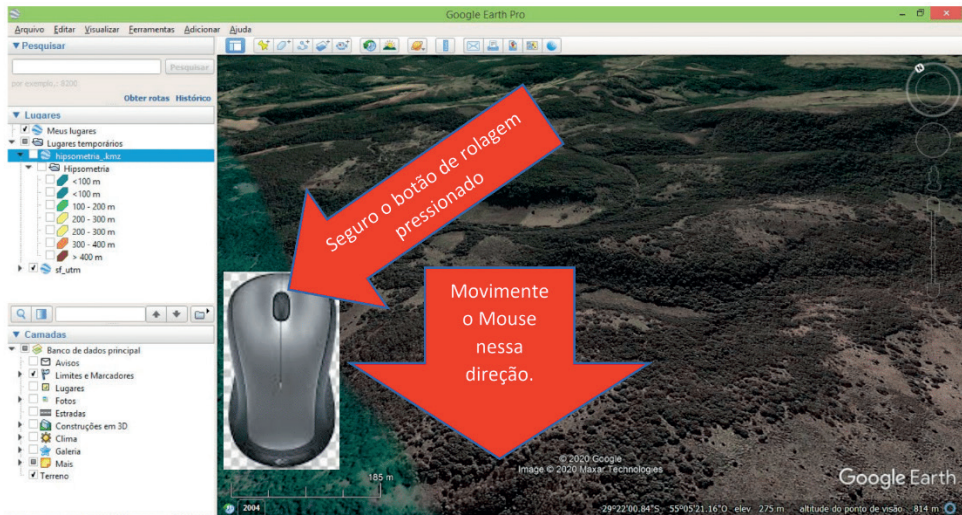


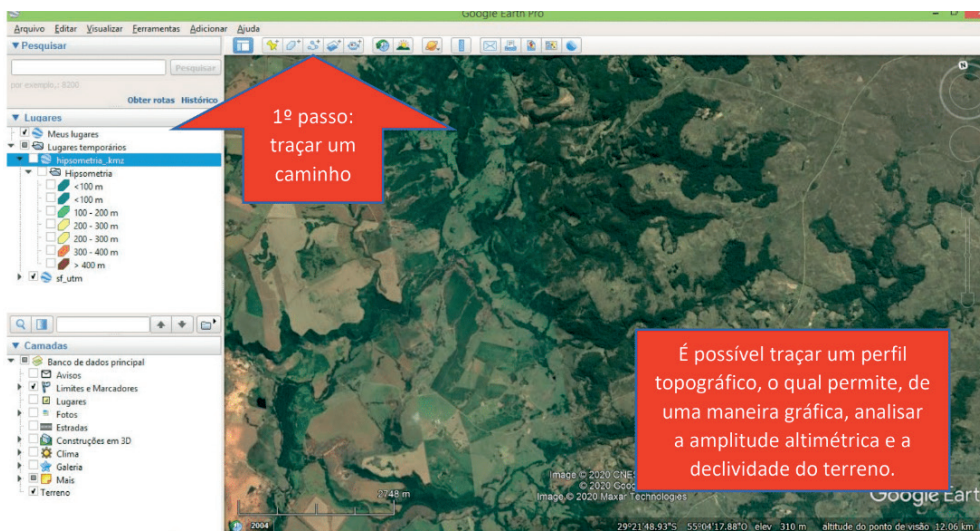
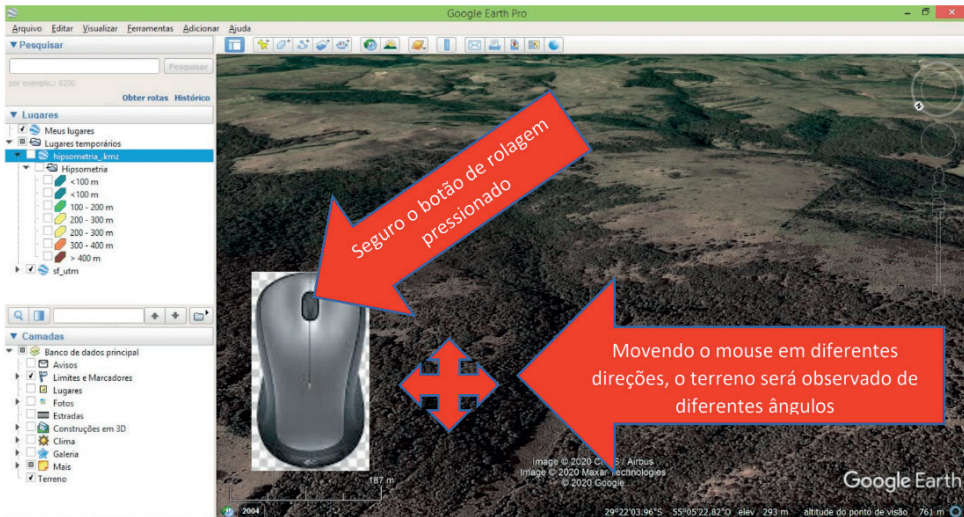


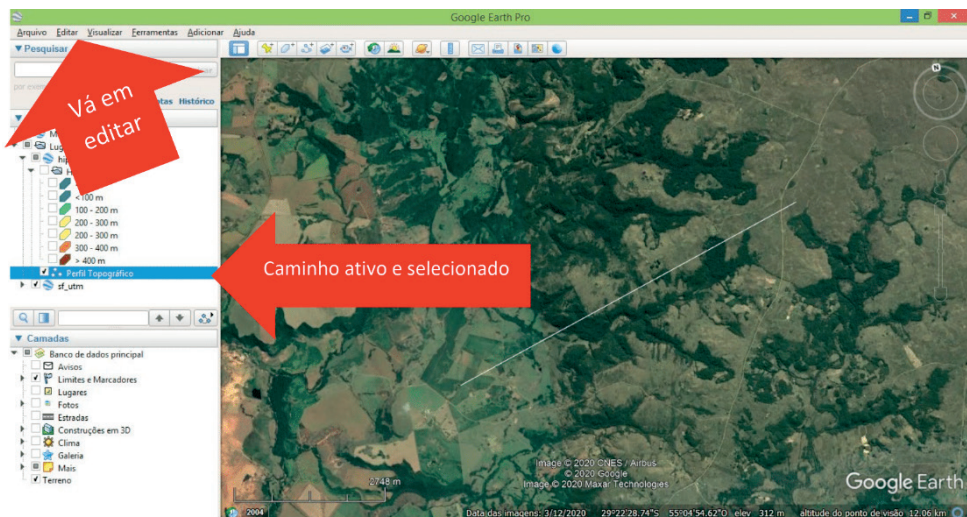
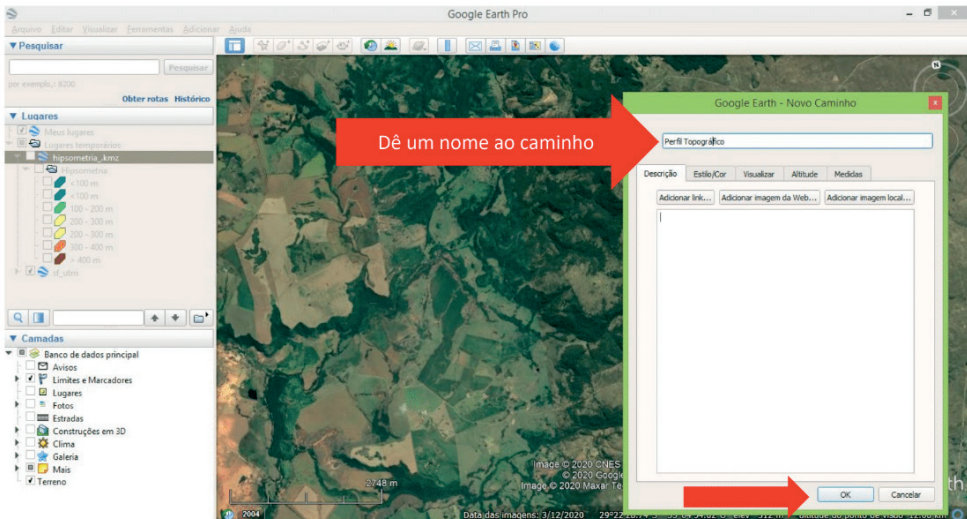


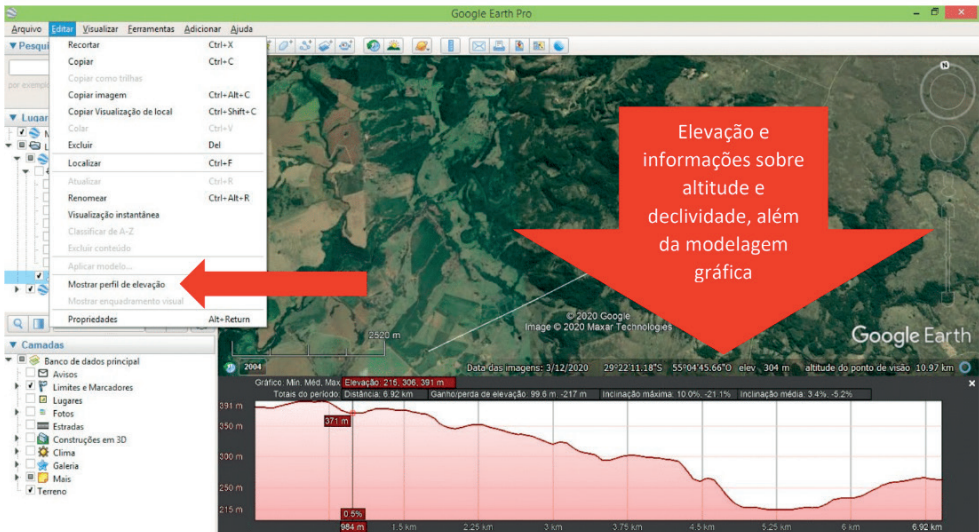












## **SOBRE OS AUTORES**

**LUÍS EDUARDO DE SOUZA ROBAINA** – Possui Graduação em Geologia pela Universidade do Vale do Rio dos Sinos (1984), Mestrado (1990) e Doutorado em Geociências (1999) pela Universidade Federal do Rio Grande do Sul e Pós-Doutorado na Universidade do Porto, Portugal (2008). Atualmente, é Professor/Pesquisador colaborador do Programa de Pós-Graduação em Geografia da Universidade Federal do Rio Grande do Sul e Professor Associado da Universidade Federal de Santa Maria, do curso de Geografia e do Programa de Pós-Graduação em Geografia e Geociências. E-mail: lesrobaina@yahoo.com.br. Lattes: <http://lattes.cnpq.br/6075564636607843>.

**ROMARIO TRENTIN** – Possui Graduação em Geografia Licenciatura pela Universidade Federal de Santa Maria (2004), Mestrado em Geografia pela Universidade Federal de Santa Maria (2007) e Doutorado em Geografia pela Universidade Federal do Paraná (2011). Atualmente, é Professor Adjunto da Universidade Federal de Santa Maria. Tem experiência na área de Geociências, com ênfase em Geotecnologias, atuando principalmente nos seguintes temas: Bacia Hidrográfica, Arenização, Geomorfologia, Uso e Ocupação da Terra e Caracterização Geoambiental. E-mail: romario.trentin@gmail.com. Lattes: <http://lattes.cnpq.br/2287005710639329>.

**SANDRO SIDNEI VARGAS DE CRISTO** – Possui Graduação em Geografia Bacharelado pela Universidade Federal de Santa Maria-UFSM (1999), Especialização em Interpretação de Imagens Orbitais e Suborbitais pela Universidade Federal de Santa Maria-UFSM (2001), Mestrado em Geografia pela Universidade Federal de Santa Catarina-UFSC (2002) e Doutorado em Geografia pela Universidade Federal do Rio Grande do Sul-UFRGS (2013). Atualmente é professor Adjunto II do Curso de Geografia do Campus de Porto Nacional da Universidade Federal do Tocantins-UFT. Professor do Programa de Pós-graduação/ Mestrado em Geografia do Campus de Porto Nacional da Universidade Federal do Tocantins-UFT. Pós-doutor pelo Programa de Pós-graduação em Geografia da Universidade Federal de Santa Maria-UFSM. Tem experiência na área de Geociências, com ênfase em Geoprocessamento, Sensoriamento Remoto e Meio Ambiente, atuando nos temas: Ensino de Geografia; Riscos e Análise Ambiental; Análise de Bacias Hidrográficas; Gestão de Unidades de Conservação da Natureza; Plano de Manejo em Unidades de Conservação da Natureza, Geoprocessamento e Sensoriamento Remoto. E-mail: sidneicristo@mail.uft.edu.br. Lattes: <http://lattes.cnpq.br/6004596653256447>.

**IGOR DA SILVA KNIERIN** – Licenciado em Geografia pela Universidade Federal de Santa Maria (2015), Mestrado (2018) em Geografia pelo Programa de Pós-Graduação em Geografia da UFSM. Atualmente é doutorando do Programa de Pós-Graduação em Geografia da UFSM, Linha de Pesquisa: Dinâmicas da Natureza e Qualidade Ambiental do Cone Sul e professor de Geografia de anos finais do ensino fundamental na rede



municipal de ensino de Sapiranga - RS. Integra o grupo de pesquisa LAGEOLAM/UFSM - Laboratório de Geologia Ambiental e atua na área de Geografia, nos seguintes temas: ensino de geografia, bacias hidrográficas, processos de erosão dos solos, mapeamento geoambiental e áreas de risco geomorfológico. E-mail: igorknieri@gmail.com. Lattes: <http://lattes.cnpq.br/8754329428167707>.

**ANDERSON AUGUSTO VOLPATO SCCOTI** – Bacharel em Geografia, formado na Universidade Federal de Santa Maria. Mestre em Geografia pela UFSM, área de concentração: análise ambiental e dinâmica espacial, linha de pesquisa meio ambiente, paisagem e qualidade ambiental. Doutor em geografia pelo Programa de Pós-Graduação em Geografia da Universidade Federal do Rio Grande do Sul, área de concentração: análise ambiental. Tem experiência em: SIGs (Sistemas de Informações Geográficas) como ArcGis, Envi, Spring; GPS (Sistemas de Posicionamento Global) e/ou GNSS (Sistema de Navegação por Satélite); CADs como o Auto Cad; e programas editores de imagens como Corel Draw e PhotoShop. Trabalha com geociências e cartografia temática voltada há mapeamentos pedológicos, geológicos, geomorfológicos, geoambientais e identificação de áreas com riscos geomorfológicos desde 2010. Professor do departamento de Geociências da Universidade Federal de Santa Maria. E-mail: [ascoti2@gmail.com](mailto:ascoti2@gmail.com). Lattes: <http://lattes.cnpq.br/0291564161481967>.

**CARINA PETSCH** – Possui graduação em Geografia (Bacharelado) pela Universidade Estadual de Maringá (2011), mestrado em Geografia pela Universidade Federal do Rio Grande do Sul (2014) e doutorado em Geografia pela Universidade Federal do Rio Grande do Sul (2018). Em 2017 participou do Programa de Doutorado Sanduíche no Exterior da CAPES, desenvolvendo seu projeto na Universidade Friedrich Alexander (FAU), na área de Sensoriamento Remoto. Atuou como professora colaboradora da UNIOESTE, campus Francisco Beltrão, lecionando nas disciplinas de Cartografia Geral e Geografia do Brasil para o curso de Geografia, no período de 05/2018 a 03/2019. Tem experiência na área de Geociências, com ênfase em Geografia Física, atuando principalmente nos seguintes temas: Antártica, monitoramento de geleiras, Ensino Polar, Geomorfologia glacial, Sensoriamento Remoto e Cartografia. Atua como pesquisadora no Laboratório de Geologia Ambiental (LAGEOLAM) da UFSM e Centro Polar e Climático (CPC) da UFRGS. Atualmente é professora adjunta da Universidade Federal de Santa Maria (UFSM) atuando na área de Geografia Física, Ensino e Cartografia. E-mail: [carinapetsch@gmail.com](mailto:carinapetsch@gmail.com). Lattes: <http://lattes.cnpq.br/7698486004905745>.

**FRANCIELE DELEVATI BEN** – Acadêmica do Curso de Geografia Licenciatura na Universidade Federal de Santa Maria e bolsista FIEX do Laboratório de Geologia Ambiental / LAGEOLAM/UFSM, participando do projeto Estudo do Lugar a partir do Atlas Geoambiental dos Municípios drenados pela Bacia do Rio Ibicuí. Participante do projeto de Pesquisa de Estudos Geoambientais: Processos Superficiais e os riscos de perdas e danos para

as populações, (LAGEOLAM/UFSM). Atua como Educadora no Curso Pré-Universitário Popular Alternativa pelo Programa de Extensão Universitária da Universidade Federal de Santa Maria (UFSM). E-mail: francielidelevattiben@gmail.com. Lattes: <http://lattes.cnpq.br/3425530894018035>.

**GIORGE GABRIEL SCHNORR** – Bolsista de Iniciação Científica do Laboratório de Geologia Ambiental. Graduando em Geografia Licenciatura na Universidade Federal de Santa Maria (UFSM). E-mail: [giorgeschnorr@gmail.com](mailto:giorgeschnorr@gmail.com). Lattes: <http://lattes.cnpq.br/6024800382837780>.

# Série Atlas Municipais: Atlas Geoambiental de São Francisco de Assis





 [www.atenaeditora.com.br](http://www.atenaeditora.com.br)

 [contato@atenaeditora.com.br](mailto:contato@atenaeditora.com.br)

 @atenaeditora

 [www.facebook.com/atenaeditora.com.br](https://www.facebook.com/atenaeditora.com.br)

# Série Atlas Municipais: Atlas Geoambiental de São Francisco de Assis

-  [www.atenaeditora.com.br](http://www.atenaeditora.com.br)
-  [contato@atenaeditora.com.br](mailto:contato@atenaeditora.com.br)
-  [@atenaeditora](https://www.instagram.com/atenaeditora)
-  [www.facebook.com/atenaeditora.com.br](https://www.facebook.com/atenaeditora.com.br)